



แบบจำลองที่จอดรถอัตโนมัติแบบโรตารีโดยใช้ไมโครคอนโทรลเลอร์ควบคุม
AUTOMATED PARKING ROTARY MODEL USING MICROCONTROLLER

นายกิตติวาท พุทธิมณี
นายณัฐพล พรายวัน
นายปิติกัทร ต้นเข็มจარი

โครงการวิศวกรรมนี้ เป็นส่วนหนึ่งของการศึกษาตามหลักสูตรวิศวกรรมศาสตรบัณฑิต
สาขาวิชาวิศวกรรมไฟฟ้า
คณะวิศวกรรมศาสตร์ มหาวิทยาลัยศรีนครินทรวิโรฒ
ปีการศึกษา 2559

แบบจำลองที่จอดรถอัตโนมัติแบบโรโตรีโดยใช้ไมโครคอนโทรลเลอร์ควบคุม
AUTOMATED PARKING ROTARY MODEL USING MICROCONTROLLER

นายกิตติวาท พุทธิมณี
นายณัฐพล พรายวัน
นายปิติภัทร ต้นเข็มจारी

โครงงานวิศวกรรมนี้ เป็นส่วนหนึ่งของการศึกษาตามหลักสูตรวิศวกรรมศาสตรบัณฑิต
สาขาวิชาวิศวกรรมไฟฟ้า
คณะวิศวกรรมศาสตร์ มหาวิทยาลัยศรีนครินทรวิโรฒ
ปีการศึกษา 2559
ลิขสิทธิ์เป็นของคณะวิศวกรรมศาสตร์ มหาวิทยาลัยศรีนครินทรวิโรฒ

โครงการวิศวกรรม

เรื่อง

แบบจำลองที่จอดรถอัตโนมัติแบบโรตารีโดยใช้ไมโครคอนโทรลเลอร์ควบคุม

ของ

นายกิตติวาท พุทธิมณี

นายณัฐพล พรายวัน

นายปิติภัทร ต้นเข็มจारी

ได้รับอนุมัติจากคณะวิศวกรรมศาสตร์ให้นับเป็นส่วนหนึ่งของการศึกษาตามหลักสูตร

วิศวกรรมศาสตรบัณฑิต สาขาวิชาวิศวกรรมไฟฟ้า

ของมหาวิทยาลัยศรีนครินทรวิโรฒ

.....คณบดีคณะวิศวกรรมศาสตร์

(รองศาสตราจารย์ ดร.เวศิน ปิยรัตน์)

คณะกรรมการสอบโครงการวิศวกรรม

.....ประธานกรรมการ

(ผู้ช่วยศาสตราจารย์ ดร.ปฐมทัศน์ จิระเดชะ)

.....กรรมการ

(อาจารย์ ดร.ธนาธิป สุ่มอิม)

.....กรรมการ

(อาจารย์ ดร.คมกฤษ ประเสริฐวงษ์)

แบบจำลองที่จอดรถอัตโนมัติแบบโรตารีโดยใช้ไมโครคอนโทรลเลอร์ควบคุม ปีการศึกษา 2559

โดย

นายกิตติวาท พุทธิมณี

นายณัฐพล พรายวัน

นายปิติกัทร ต้นเข็มจारी

อาจารย์ที่ปรึกษา

อาจารย์ ดร.คมกฤษ ประเสริฐวงศ์

บทคัดย่อ

โครงการวิศวกรรมฉบับนี้ เป็นรูปแบบการจำลองการทำงานที่จอดรถอัตโนมัติแบบโรตารี (rotary parking system) โดยใช้ไมโครคอนโทรลเลอร์ในการควบคุมการทำงานของที่จอดรถแบบอัตโนมัติ ซึ่งแบบจำลองนี้สามารถบรรจุรถได้ทั้งหมด 6 คัน โดยใช้ NFC (Near Field Communication) ในการระบุรหัสผู้ใช้งาน โดยใช้การเขียนโปรแกรมลงบนไมโครคอนโทรลเลอร์ จะทำหน้าที่ประมวลผลการทำงาน โดยการควบคุมตำแหน่งของกระเช้า จะรับค่าจากเซนเซอร์นำไปประมวลผลในการควบคุมตำแหน่งกระเช้า โดยใช้มอเตอร์ดีซีเกียร์ ในการเคลื่อนที่ตำแหน่งกระเช้า จึงเกิดเป็นแนวความคิดที่จะมาประยุกต์ใช้ในพื้นที่ที่จำกัด การทำงานทั้งทางด้านควบคุม และการบังคับนั้นจะใช้ไมโครคอนโทรลเลอร์เป็นตัวควบคุมการทำงาน ซึ่งจะรับข้อมูลรหัสผู้ใช้จาก NFC และไปสั่งการดีซีมอเตอร์เกียร์ในการเคลื่อนที่ของกระเช้า และระบุตำแหน่งของกระเช้าโดยการรับค่าจากเซนเซอร์ ซึ่งข้อมูลจะไปแสดงผลบนหน้าจอ LCD

คำสำคัญ: การควบคุมแบบพีดีบีเบิลยูเอ็ม ระบบควบคุมการเคลื่อนที่แบบเพิ่ม ระบบควบคุมกำลังบิด ระบบชี้เฉพาะอัตโนมัติ ระบบแฮนด์ดาวนโพลิ่ง แรงเคลื่อนเหนี่ยวนำป้อนกลับ

AUTOMATED PARKING ROTARY MODEL
USING MICROCONTROLLER
Academic Year 2016

By

Mr. Kittiwart Puttimanee
Mr. Nattaphon Paywan
Mr. Pitipat Tankhamjaree

Advisor

Mr. Komkrit Prasertwong

Abstract

The Project is a present the rotary car parking model which controlled by Arduino microcontroller. The model can parking maximum six cars. The RFID module with Near Field Communication (NFC) is used to specify the User ID. The DC motor with gear used to drive the car parking system. The optical sensor is used to detect position of the basket. When the car is incoming, the nearest empty basket will come receive the car and the driver will get the User ID. This User ID will be used to identify where the car parking which display on the LCD screen. The optical sensor detects the basket and sends the pulse signal to microcontroller to count the pulse signal to identify the position of the car.

Keywords: Pulse Width Modulation, Incremental Motion Control System,
Automatic Identification, Hands Down Polling System, Back Electromotive Force

กิตติกรรมประกาศ

โครงการวิศวกรรมศาสตร์นี้ จะสำเร็จลุล่วงลงได้ทางคณะผู้จัดทำต้องขอขอบพระคุณ อาจารย์ ดร. คมกฤษ ประเสริฐวงศ์ ซึ่งเป็นอาจารย์ที่ปรึกษาโครงการวิศวกรรมที่ให้คำปรึกษาและคำแนะนำต่างๆ จนทำให้โครงการวิศวกรรมสำเร็จลุล่วงไปด้วยดีและขอบพระคุณอาจารย์ประจำภาควิชาวิศวกรรมไฟฟ้า คณะวิศวกรรมศาสตร์ มหาวิทยาลัยศรีนครินทรวิโรฒ ทุกท่านที่ให้ความรู้และข้อเสนอแนะ รวมทั้งเป็นกรรมการในการตรวจสอบและตัดสินในโครงการวิศวกรรมนี้ ทำให้โครงการวิศวกรรมนี้มีคุณภาพและสมบูรณ์ได้ รวมทั้งเจ้าหน้าที่ทุกท่านในภาควิชาวิศวกรรมไฟฟ้า ที่ได้ให้ความสะดวกแก่คณะผู้จัดทำ

ขอขอบพระคุณ บิดา มารดา และอาจารย์ที่ให้คำอบรมสั่งสอนให้ความรู้ตลอดจนการสนับสนุน คณะผู้จัดทำสามารถจัดทำโครงการวิศวกรรมนี้ได้และขอบคุณทุกคนที่ให้กำลังใจเสมอมา

คณะผู้จัดทำโครงการ

สารบัญ

	หน้า
บทคัดย่อภาษาไทย	ก
บทคัดย่อภาษาอังกฤษ	ข
กิตติกรรมประกาศ	ค
สารบัญ	ง
สารบัญตาราง	ช
สารบัญรูป	ซ
รายการสัญลักษณ์	ฅ
ประมวลคำย่อ	ญ
บทที่ 1 บทนำ	1
1.1 ที่มาและความสำคัญ	1
1.2 วัตถุประสงค์ของโครงการ	1
1.3 ขอบเขตโครงการวิศวกรรม	2
1.4 ประโยชน์ที่คาดว่าจะได้รับ	2
บทที่ 2 ทฤษฎีที่เกี่ยวข้อง	3
2.1 รูปแบบของระบบจอตารถอัตโนมัติ	3
2.2 มอเตอร์กระแสตรง	8
2.3 ชุดไทร์มอเตอร์	15
2.4 เฟืองและโซ่	16
2.5 เฟืองทด	17
2.6 การตรวจจับแสง	18
2.7 ไมโครคอนโทรลเลอร์	21
2.8 เทคโนโลยีอาร์เอฟไอดี (RFID Technology)	28

สารบัญ (ต่อ)

	หน้า
บทที่ 3 ขั้นตอนการดำเนินงาน	31
3.1 แผนการดำเนินงาน	31
3.2 การออกแบบชุดจำลองระบบจอตลอดอัตโนมัติ	32
3.3 ขั้นตอนการดำเนินงาน	39
3.4 วิธีการทดสอบ	39
บทที่ 4 ผลการวิเคราะห์	41
4.1 การทดสอบมอเตอร์และชุดขับเคลื่อน	41
4.2 การทดสอบความเร็วในการนำรถเข้าและนำรถออก โดยใช้ Microcontroller	42
4.3 การทดสอบเซนเซอร์	43
4.4 การทดสอบเวลาของการนำรถเข้าและออก	43
4.5 ผลการทดสอบกระแสและแรงดันของชุดรีเลย์ที่เคลื่อนที่ในแนวตั้ง	47
4.6 การทดสอบความคลาดเคลื่อน	48
4.7 การทดสอบอื่นๆ	50
บทที่ 5 สรุปผลการวิเคราะห์และข้อเสนอแนะ	51
5.1 คำนำ	51
5.2 สรุป	51
5.3 ปัญหาและข้อเสนอแนะ	51
เอกสารอ้างอิง	52
ภาคผนวก	53
ประวัติย่อனிสีผู้ทำโครงการ	81

สารบัญตาราง

ตารางที่	หน้า
3.1 แผนการดำเนินงานของโครงการ	31
4.1 เวลาเฉลี่ยการนำรถเข้าจอดแบบทางเดียวโดยใช้ Microcontroller	42
4.2 เวลานำรถเข้าจอด (จุดเริ่มต้นที่กระเช้าที่ 1 เสมอ)	44
4.3 เวลาเฉลี่ยของการเข้าจอดรถต่อ 1 กระเช้า	45
4.4 เวลานำรถออก (จุดเริ่มต้นที่กระเช้าที่ 1 เสมอ)	45
4.5 เวลาเฉลี่ยของการนำรถออกต่อ 1 กระเช้า	46
4.6 ทดสอบวัดค่ากระแสและแรงดันของชุดรับรถที่เคลื่อนที่ในแนวตั้ง	47
4.7 การทดสอบความคลาดเคลื่อนของการนำรถเข้าแบบสุ่ม	48
4.8 การทดสอบความคลาดเคลื่อนของการนำรถออกแบบสุ่ม	49
4.9 การทดสอบการทำงานอื่นๆของระบบ	50

สารบัญรูป

รูปที่	หน้า
2.1 รูปแบบของระบบจอตกรถอัตโนมัติ	3
2.2 Dependent System	4
2.3 Sloping Out System	4
2.4 Elevator System หรือแบบ Lift	5
2.5 Moving Elevator System	5
2.6 Rotary System	6
2.7 Tower System	6
2.8 Horizontal Puzzle System	7
2.9 Independent Puzzle System	7
2.10 วงจรภายในของมอเตอร์กระแสตรง	8
2.11 แสดงอินพุตและเอาต์พุตของโมเดลทางคณิตศาสตร์ของมอเตอร์	10
2.12 ระบบควบคุมความเร็ว ที่ประกอบด้วยลูปรูการควบคุมป้อนกลับ เพียงลูปเดียวเหมาะสำหรับอุปกรณ์สว่านไฟฟ้าเคลื่อนที่	10
2.13 ระบบควบคุมตำแหน่ง ประกอบด้วยลูปรูการควบคุมตำแหน่ง ป้อนกลับ และ ลูปรูควบคุมความเร็วป้อนกลับ	11
2.14 วงจรควบคุมความเร็วของมอเตอร์กระแสตรง แบบใช้ตัวต้านทานอนุกรมและกราฟแสดงคุณสมบัติ	12
2.15 การควบคุมความเร็วโดยเปลี่ยนค่าแรงดัน	13
2.16 แสดงสัญญาณ PWM ซึ่งแสดงค่า duty cycles ที่ต่างกัน	14
2.17 การกลับทางหมุนมอเตอร์	15
2.18 วงจรขับมอเตอร์พื้นฐาน แบบดาถึงตัน	15
2.19 ชูตไดร์มอเตอร์ L298N	16
2.20 เฟืองและโซ่	17
2.21 เฟืองทด	17
2.22 เซนเซอร์แสง	18
2.23 ลักษณะเซนเซอร์แบบลำแสงสะท้อนกลับ	20

สารบัญรูป (ต่อ)

รูปที่	หน้า
2.24 ลักษณะเซนเซอร์แบบตรวจจับโดยตรง	21
2.25 Arduino board	23
2.26 ซีพียู ATMEGA328P ขนาด 28 ขา	25
2.27 เปรียบเทียบการจัดการหน่วยความจำของสถาปัตยกรรมแบบ Von-Neumann และ Harvard	26
2.28 แสดงขา ของ Arduino Board	27
3.1 การออกแบบการทำงานชุดจำลองระบบจอตระถอัตโนมัติแบบ	32
3.2 แผนการดำเนินงานทั้งหมด	33
3.3 การทำงานทั้งหมด	34
3.4 มอเตอร์เกียร์ที่เลือกใช้	37
3.5 track trace module infrared tracking probe 5000 tracking tracing sensor black and white line detection	38
3.6 RFID module RC522	38
4.1 วงจรมอเตอร์	41
4.2 วงจรการควบคุมที่จอตระถอัตโนมัติโดยใช้ Microcontroller	42
4.3 การทดสอบการตรวจจับกระแสเข้าของเซนเซอร์	43
4.4 การทดสอบแรงดันและคาบเวลาของกระแสเข้าที่ 3 ไปกระแสเข้าที่ 4	44
4.5 การทดสอบวัดค่ากระแสและแรงดัน	47

รายการสัญลักษณ์

สัญลักษณ์	คำอธิบาย	หน่วย
E	แรงเคลื่อนไฟฟ้า	โวลต์
F	แรง	นิวตัน
g	ความโน้มถ่วงพื้นผิว	เมตรต่อวินาทีกำลังสอง
I	กระแสไฟฟ้า	แอมแปร์
m	มวล	กรัม
N	ความเร็วรอบ	รอบต่อนาที
P	กำลังไฟฟ้า	วัตต์
R	ความต้านทานทางไฟฟ้า	โอห์ม
r	ขนาดของรัศมี	เมตร
T	แรงบิด	นิวตัน-เมตร
V	แรงดันไฟฟ้า	โวลต์

ประมวลคำย่อ

คำย่อ	คำอธิบาย
C++	C Programming Language
DC	Direct Current
EEPROM	Electrical Erasable Programmable Read Only Memory
I/O	Input / Output
LCD	Liquid Crystal Display
LED	Light Emitting Diode
NFC	Near Field Communication
PWM	Pulse Width Modulation
RFID	Radio Frequency Identification
RISC	Reduced Instruction Set Computer
RPM	Revolutions Per Minute
SRAM	Static RAM

บทที่ 1

บทนำ

1.1 ความเป็นมาของโครงการ

ในปัจจุบันความต้องการในการใช้ลานจอดรถยนต์ในที่สาธารณะหรือสถานที่ที่มีคนพลุกพล่าน มีความต้องการอย่างมาก ซึ่งเป็นที่ทราบกันดีว่าปัญหาเหล่านั้นเกิดจากจำนวนรถรถยนต์ที่เพิ่มมากขึ้นเรื่อยๆ ซึ่งปัจจุบันจำนวนรถเพิ่มขึ้นเป็นจำนวนมาก ในขณะที่จอดรถมีพื้นที่เท่าเดิม ปัญหาที่เกิดขึ้นในปัจจุบันส่วนหนึ่งมาจาก การที่รถจอดที่ไม่เป็นระเบียบ เช่น จอดรถในบริเวณที่ห้ามจอด จอดรถซ้อนคันกัน เป็นต้น ซึ่งการที่จำนวนรถมีมากขึ้นเพราะ การซื้อขายรถในปัจจุบันมีราคาถูก และรถบางคันไม่มีที่จอดที่แน่นอน

ในกรุงเทพมหานครมีประชากรจำนวนมาก จึงทำให้ที่จอดรถไม่เพียงพอต่อจำนวนรถที่มีอยู่ในกรุงเทพฯ ในปัจจุบันกรุงเทพมหานครมีบริการที่จอดรถแบบลานปกติซึ่งเป็นที่ราบและกว้างซึ่งจะต้องใช้พื้นที่จำนวนมากและจอดรถได้ไม่กี่คัน และเป็นแบบอาคารที่ไว้สำหรับจอดรถ ซึ่งหากเป็นอาคารใหญ่และจะต้องมีทางให้รถวิ่งที่ขนาดกว้างเพียงพอเพื่อให้รถยนต์ถอยเข้าออก และมี Ramp ทางลาดยกระดับที่ต้องกว้างเพื่อให้รถเข้าโค้งได้พอดี ซึ่งพื้นที่ส่วนนี้ใช้พื้นที่จำนวนมาก ซึ่งพื้นที่เศรษฐกิจสำคัญในกรุงเทพมหานคร ที่มีราคาสูงเพราะฉะนั้นจะต้องใช้พื้นที่ขนาดเล็กให้มีประโยชน์สูงสุด

จากสาเหตุดังกล่าวกลุ่มกระผมจึงเล็งเห็นประโยชน์ของที่จอดรถอัตโนมัติ ที่จะมีประโยชน์ในอนาคตอันใกล้ จึงมีแนวคิดที่จะสร้างแบบจำลองที่จอดรถอัตโนมัติแบบ Rotary โดยใช้ไมโครคอนโทรลเลอร์เป็นตัวควบคุมการทำงาน เพื่อเป็นแบบจำลองที่อาจจะนำไปสร้างจริง เพื่อในพื้นที่ที่มีประชากรหนาแน่นมีที่จอดรถที่เพียงพอสะดวกสบาย และมีที่จอดรถที่เป็นหลักแหล่งแน่นอน ไม่ต้องจอดรถริมถนนซึ่งเป็นส่วนหนึ่งของปัญหาจราจรติดขัด และปัญหาเกี่ยวกับข้อกฎหมายจราจรเกี่ยวกับที่จอดรถ

1.2 วัตถุประสงค์

1.2.1 เพื่อออกแบบและสร้างแบบจำลองที่จอดรถอัตโนมัติแบบหมุนเป็นวงรี ที่ใช้ Microprocessor ชนิด Arduino UNO R3 เป็นตัวควบคุมระบบการทำงาน

1.2.2 เพื่อศึกษาการเขียนโปรแกรมที่ใช้ควบคุมไมโครคอนโทรลเลอร์ ในการสั่งการทำงานของระบบที่จอดรถอัตโนมัติแบบหมุนเป็นวงรี

1.2.3 เพื่อศึกษาการควบคุมมอเตอร์กระแสตรงโดยใช้ไมโครคอนโทรลเลอร์

1.2.4 เพื่อศึกษาการควบคุมการทำงานของระบบเชื่อมต่อระยะสั้น (NFC)

1.3 ขอบเขตโครงการวิศวกรรม

1.3.1 ออกแบบระบบควบคุมการนำรถเข้าออกของที่จอดรถอัตโนมัติแบบหมุนเป็นวงรี โดยใช้ไมโครคอนโทรลเลอร์ Arduino UNO R3 เป็นตัวควบคุมการทำงาน

1.3.2 แบบจำลองที่จอดรถอัตโนมัติแบบหมุนเป็นวงรี มีจำนวนกระเช้าจอดรถ 6 กระเช้า

1.3.3 เป็นแบบจำลองการเรียกและเก็บรถทีละ 1 คัน

1.3.4 กระเช้าในแบบจำลองจะเคลื่อนที่ในทิศทางเดียวเท่านั้น

1.3.5 ระบบสามารถจะตรวจจับตำแหน่งกระเช้าโดยใช้เซนเซอร์แสง 1 ตัว ที่ติดตั้งอยู่ที่ตำแหน่งกระเช้านำรถเข้าและออก โดยระยะห่างเท่ากับ 2 เซนติเมตร

1.3.6 ในจอ LCD สามารถแสดงสถานะการจอดรถในแต่ละกระเช้า โดยสถานะ 1 จะมีรถจอดอยู่ และ สถานะ 0 จะไม่มีรถจอดอยู่

1.4 ประโยชน์ที่จะได้รับ

1.4.1 สามารถสร้างโปรแกรมที่ใช้จำลองการควบคุมระบบจัดเก็บรถอัตโนมัติได้

1.4.2 ได้ทราบถึงการทำงานของระบบควบคุมที่จอดรถอัตโนมัติแบบหมุนเป็นวงรี

1.4.3 ได้ชุดทดสอบคุณสมบัติการทำงานของที่จอดรถอัตโนมัติแบบหมุนเป็นวงรี ที่มี Microprocessor เป็นระบบควบคุม

1.4.4 แบบจำลองสามารถนำไปประยุกต์ใช้งานในด้านอุตสาหกรรมได้

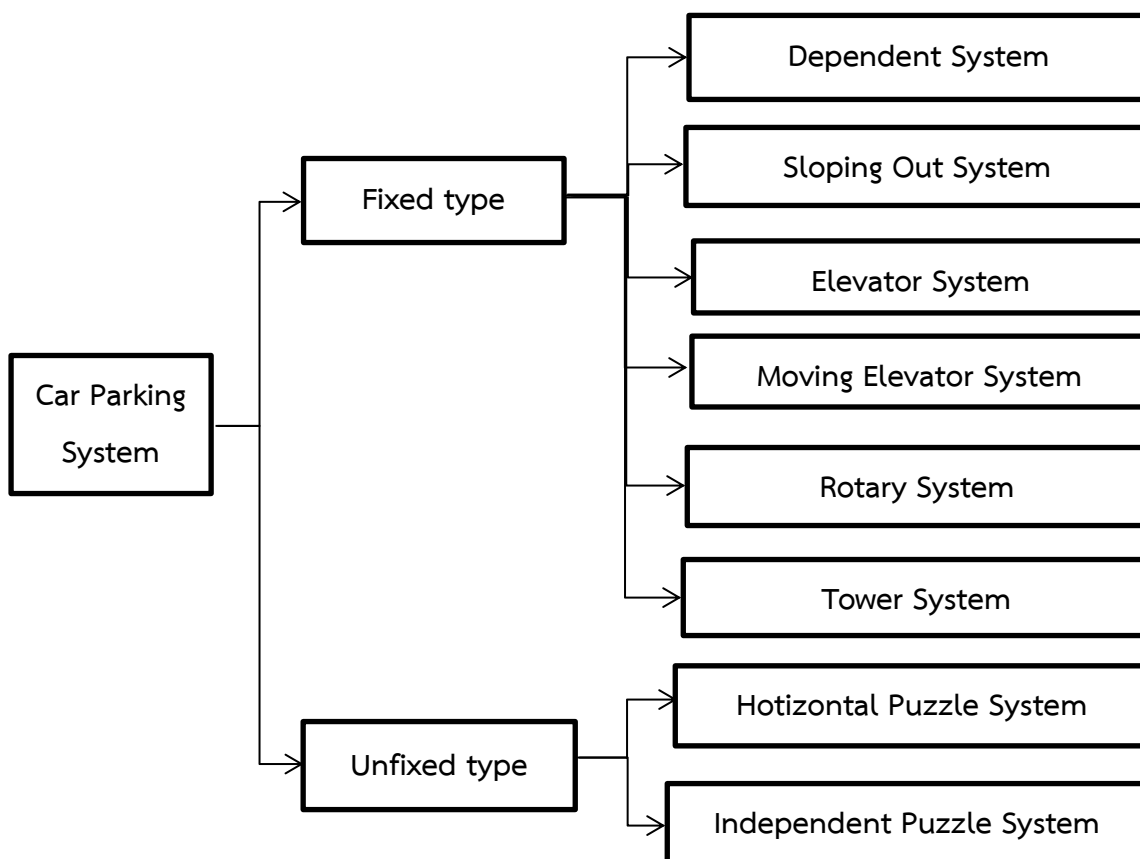
1.4.5 ทำให้เกิดความสะดวกรวดสบายในการจอดรถมากยิ่งขึ้น

บทที่ 2

ทฤษฎีและผลงานวิจัยที่เกี่ยวข้อง

2.1 รูปแบบของระบบจอดรถอัตโนมัติ

ปัจจุบันระบบจอดรถอัตโนมัติมีการแข่งขันและพัฒนาขึ้นเรื่อยๆ จึงทำให้เกิดรูปแบบที่แตกต่างกันออกไปตามแต่ความต้องการของผู้ออกแบบ เพื่อตอบสนองความต้องการที่แตกต่างกันออกไป ไม่ว่าจะเป็นพื้นที่ ความสะดวกรวดเร็ว ความปลอดภัย ทำให้มีรูปแบบที่จอดรถออกมามากมาย จึงได้ทำการสรุปและได้แบ่งประเภทของระบบจอดรถอัตโนมัติออกเป็น 2 ประเภทใหญ่ๆได้คือ แบบตายตัว (Fixed Type) และ แบบไม่ตายตัว (Unfixed Type) ดังรูปที่ 2.1



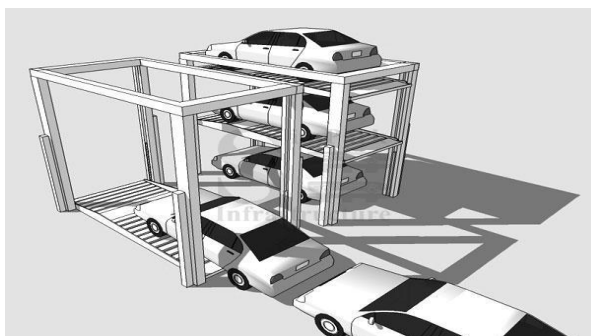
รูปที่ 2.1 รูปแบบของระบบจอดรถอัตโนมัติ

2.1.1 แบบตายตัว (Fixed Type)

เป็นแบบที่มีความนิยมและความซับซ้อนไม่มาก โดยวิธีการนำรถไปวางตำแหน่งที่ว่างและระบบภายในไม่ทำให้รถที่จอดอยู่เดิมเปลี่ยนตำแหน่ง แบ่งเป็นรูปแบบโครงสร้างได้ดังต่อไปนี้

2.1.1.1 Dependent System

เป็นแบบที่ง่ายที่สุดโดยมีหลักการง่ายๆ คือนำรถเข้ามาจอดแล้วยกกรงขึ้นไปไว้ด้านบน มีข้อเสีย เมื่อจอดรถเต็มแล้ว คันที่อยู่ด้านบนจะไม่สามารถนำรถออกมาได้ ต้องให้รถด้านล่างออกมาก่อนจึงจะออกมาได้

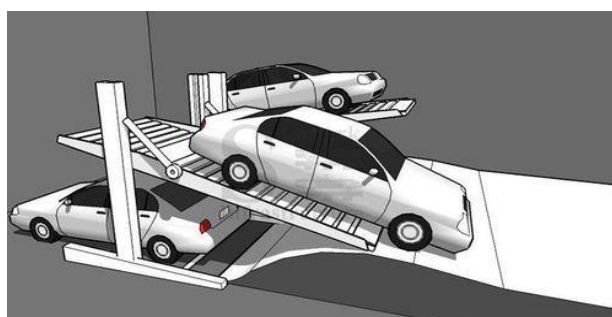


รูปที่ 2.2 Dependent System

ที่มา: <http://simparkinfrasturcture.com/inc/wp-content/productpics/Dependent-jack-system2.jpg>

2.1.1.2 Sloping Out System

มีความคล้ายคลึงกับแบบแรกแต่ดัดแปลงพื้นที่ให้เป็นทางลาดเพื่อที่เมื่อรถคันชั้นบนหรือชั้นล่างจะออกจะสามารถออกได้โดยไม่ต้องอาศัยกัน

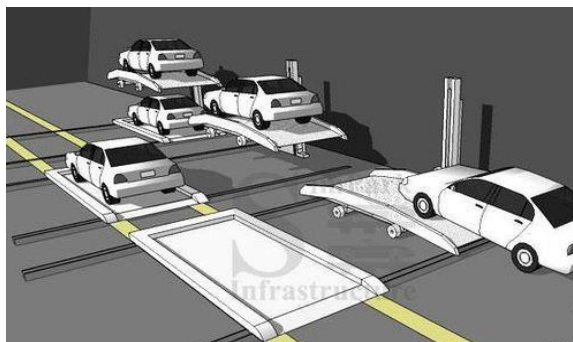


รูปที่ 2.3 Sloping Out System

ที่มา: <http://simparkinfrasturcture.com/inc/wp-content/productpics/Sloping-out-System.jpg>

2.1.1.3 Elevator System หรือแบบ Lift

แบบนี้มีความคล่องตัวสูงใช้พื้นที่ในการก่อสร้างน้อยเมื่อต้องการที่จอดรถมากๆ จะทำโดยการสร้างให้สูงๆ หรือลงใต้ดินหลายๆ ชั้นนิยมมากในตึกสำนักงานขนาดกลาง

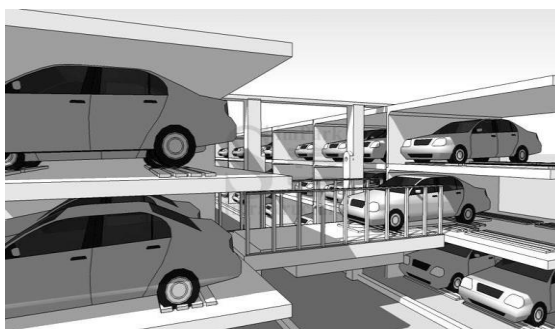


รูปที่ 2.4 Elevator System หรือแบบ Lift

ที่มา: <http://simparkinfrasturcture.com/inc/wp-content/productpics/Lift-and-slideout-system.jpg>

2.1.1.4 Moving Elevator System

จะคล้ายกับ Elevator System ต่างกันตรงที่ตัวพารถสามารถเคลื่อนที่ไปในแนวลึกได้จึงทำให้แบบนี้สามารถจอดรถได้จำนวนมากและยังมีความซับซ้อนไม่มาก

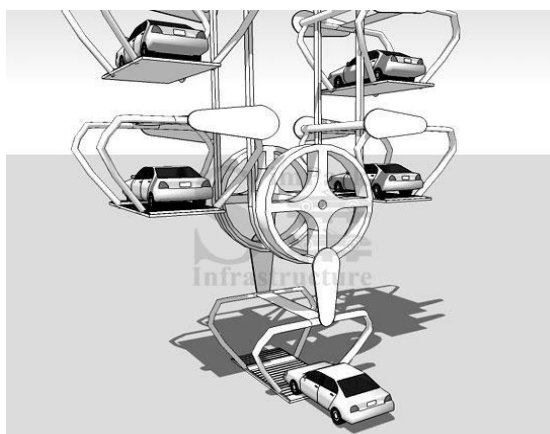


รูปที่ 2.5 Moving Elevator System

ที่มา: <http://simparkinfrasturcture.com/inc/wp-content/productpics/Moving-elevator-system.jpg>

2.1.1.5 Rotary System

ทำงานเหมือนชิงช้าสวรรค์ทำให้รถเข้าไปอยู่ในตัวกระเช้าแล้วหมุนไปขึ้นไว้ด้านบน เมื่อต้องการนำรถออกก็จะหมุนมายังจุดรับรถ

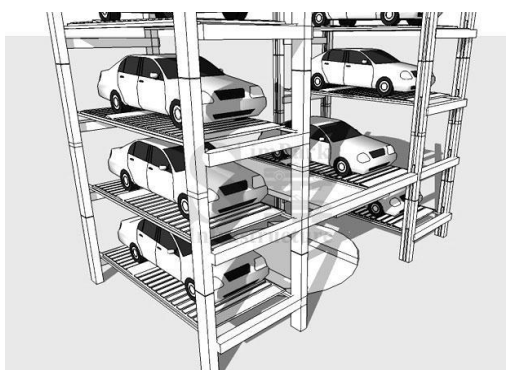


รูปที่ 2.6 Rotary System

ที่มา: <http://simparkinfrasturcture.com/inc/wp-content/productpics/Rotary-system.jpg>

2.1.1.6 Tower System

สำหรับพื้นที่ที่เป็นจัตุรัส โดยสร้างตึกเป็นรูปทรงกระบอกแล้วมีแกนกลางเป็นตัวพา
รถไปจอดยังตำแหน่งที่ต้องการ เมื่อต้องการนำรถออกก็ให้ตัวพา รถไปรับรถยังตำแหน่งที่รถจอด



รูปที่ 2.7 Tower System

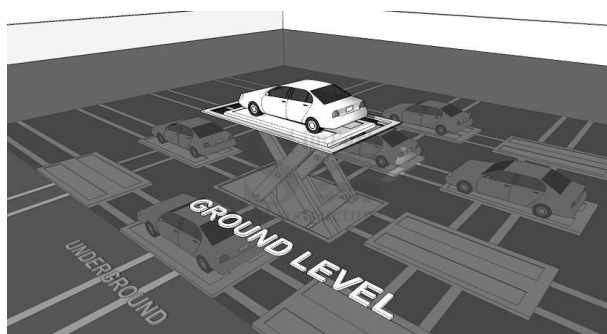
ที่มา: <http://simparkinfrasturcture.com/inc/wp-content/productpics/Tower-parking-system2.jpg>

2.1.2 แบบไม่ตายตัว (Unfixed Type)

เป็นแบบที่ใช้พื้นที่ได้คุ้มค่าที่สุดมีความซับซ้อน แต่ละตำแหน่งที่รถจอดสามารถเคลื่อนที่
เปลี่ยนตำแหน่งได้ทุกทิศทาง โดยรถที่นำเข้ามาจอดจะไม่อยู่ตำแหน่งเดิมตลอดเพราะต้องสลับกันไปมา
เหมือนเกมส์เรียงภาพ แบ่งประเภทโครงสร้างได้ดังต่อไปนี้

2.1.2.1 Horizontal Puzzle System

เป็นเคลื่อนย้ายตามแนวนอนเมื่อรถเข้ามาจอดระบบจะมีพาเลทมารับแล้วนำไปยังตำแหน่งที่ว่าง เมื่อนำรถออกระบบจะสลับเปลี่ยนไปมาเพื่อหาช่องที่รถจะออกทุกตำแหน่งสามารถเคลื่อนที่ได้อย่างอิสระ

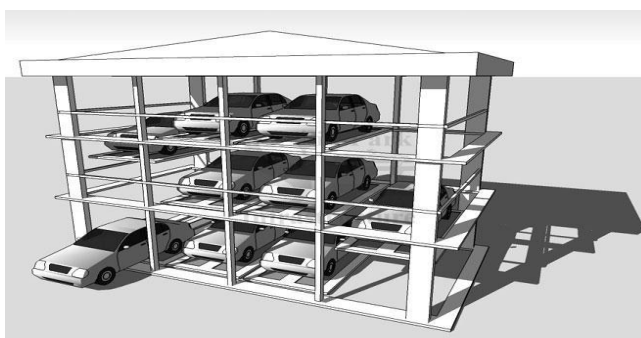


รูปที่ 2.8 Horizontal Puzzle System

ที่มา: <http://simparkinfrasturcture.com/inc/wp-content/productpics/Horizontal-puzzle-system.jpg>

2.1.2.2 Independent Puzzle System

เป็นแบบเคลื่อนย้ายตามแนวตั้งทุกตำแหน่งสามารถเคลื่อนที่ได้อย่างอิสระเช่นกัน



รูปที่ 2.9 Independent Puzzle System

ที่มา: <http://simparkinfrasturcture.com/inc/wp-content/productpics/Independent-puzzle-system.jpg>

2.2 มอเตอร์กระแสตรง

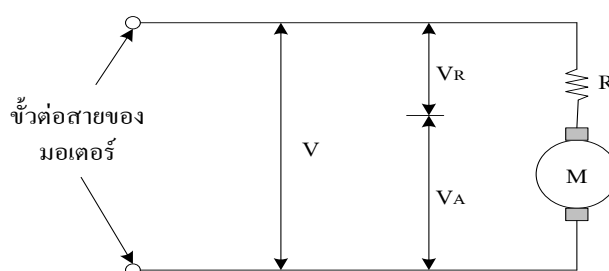
2.2.1 หลักการทำงานของมอเตอร์กระแสตรง

เมื่อมีการผ่านกระแสไฟฟ้าเข้าไปยังขดลวดในสนามแม่เหล็กจะทำให้เกิดแรงแม่เหล็กซึ่งมีสัดส่วนของแรงขึ้นกับกระแสแรงของสนามแม่เหล็ก โดยแรงจะเกิดขึ้นเป็นมุมฉากกับกระแสและสนามแม่เหล็ก ขณะที่ทิศทางของแรงกลับตรงกันข้ามกัน ถ้าหากกระแสของสนามแม่เหล็กไหลย้อนกลับจะทำให้เกิดการเปลี่ยนแปลงของกระแส และ สนามแม่เหล็กเป็นผลทำให้ทิศทางของแรงเปลี่ยนไป ด้วยคุณสมบัตินี้ทำให้มอเตอร์กระแสตรงกลับทิศทางหมุนได้

สนามแม่เหล็กของมอเตอร์ส่วนหนึ่งเกิดขึ้นจากแม่เหล็กถาวรซึ่งจะถูกยึดติดกับแผ่นเหล็กหรือ เหล็กกล้า โดยปกติส่วนนี้จะเป็นส่วนที่ยึดอยู่กับที่ และ ขดลวดเหนี่ยวนำจะพันอยู่กับส่วนที่เป็นแกนหมุนของมอเตอร์

2.2.2 คุณสมบัติของมอเตอร์กระแสตรง

ในการอธิบายคุณสมบัติของมอเตอร์กระแสตรงให้ละเอียดนั้นต้องพิจารณาแรงดันที่ป้อนและความต้านทานของโรเตอร์ด้วย วงจรภายในของมอเตอร์เขียนได้ดังรูปที่ 2.10



รูปที่ 2.10 วงจรภายในของมอเตอร์กระแสตรง

ที่มา: <http://www.rmutphysics.com/charud/scibook/electromagnetic1/magnetic/pic/problem/3-41.gif>

โดยสมมติให้หุ่นโรเตอร์ไม่มีความต้านทานอยู่เลย อนุกรมกับความต้านทานซึ่งในที่นี้ก็คือความต้านทานของขดลวดนั่นเอง แรงดันที่ขั้วต่อสายของมอเตอร์ก็คือผลบวกระหว่างแรงดันที่หุ่นโรเตอร์ (V_A) และ แรงดันตกคร่อมความต้านทานขดลวด (V_R)

แรงดัน V_A ถูกเรียกว่า แรงเคลื่อนเหนี่ยวนำป้อนกลับ (BACK EMF) ซึ่งเกิดขึ้นในโรเตอร์ขณะที่หมุนแรงดันที่เกิดขึ้นนี้เป็นไปตามกฎของการเหนี่ยวนำแม่เหล็กไฟฟ้าจากการเคลื่อนที่ของตัวนำในสนามแม่เหล็ก สัมพันธ์กับแรงเคลื่อนเหนี่ยวนำแม่เหล็ก และ ความเร็วในการเคลื่อนที่ของตัวนำ แรงดันที่เกิดขึ้นจะมีขั้วตรงกันข้ามกับแรงดันที่ป้อนให้กับมอเตอร์ และ แปรผันตรงกับความเร็วในการหมุน ผลบวก

ของแรงดันที่พุนโรเตอร์ (V_A) และแรงดันตกคร่อมขดลวด (V_R) ต้องเท่ากับแรงดันที่ป้อนให้กับมอเตอร์ (V)

$$V = V_A + V_B \quad (V) \quad (2.1)$$

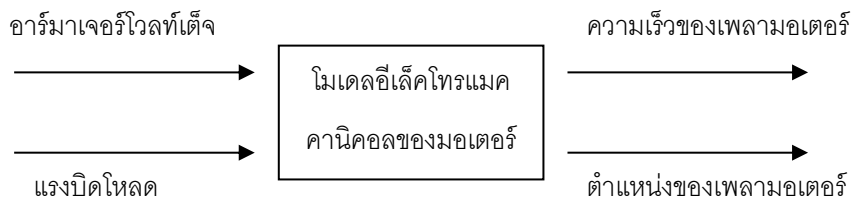
เมื่อพิจารณาตั้งแต่มอเตอร์หยุดนิ่ง ความเร็วมีค่าเป็นศูนย์ ดังนั้น $V_A = 0$, $V_R = V$ กระแสที่ไหลในมอเตอร์หาได้จาก

$$I = \frac{V_R}{R} \quad (A) \quad (2.2)$$

เมื่อมอเตอร์เริ่มหมุนจะมีความเร็ว และ V_A เพิ่มขึ้นเป็นเส้นตรงตามความเร็ว V_R ซึ่งมีค่าเท่ากับ ความแตกต่างระหว่าง V_A และ V จะเริ่มลดลงกระแส I ก็จะเริ่มลดลงเช่นกันขณะที่มอเตอร์ยังมีความเร็วอยู่ ความเร็วจะเพิ่มขึ้น แรงบิดจะลดลงจนกว่าจะถึงจุดซึ่งแรงบิดของมอเตอร์รับภาระโหลดได้สมดุลพอดี ขณะที่มอเตอร์ไม่มีโหลด และ หมุนอย่างอิสระจะมีเพียงค่าความถี่ของแบร์ริง และ แรงต้านอากาศทำให้ V_A เกือบเท่ากับค่า V

2.2.3 โมเดลคณิตศาสตร์ของดีซีมอเตอร์

ดีซีมอเตอร์ที่ใช้ร่วมกับดีซีแอมพลิไฟร์ทั้งในระบบการบังคับตำแหน่งและการบังคับความเร็ว มักจะได้รับการประยุกต์ใช้เป็นส่วนประกอบสร้างกำลังงานในระบบการนำร่องและระบบบังคับต่างๆ และเนื่องจากวิทยาการเกี่ยวกับสารแม่เหล็กและการขยายด้วยโซลิสเตททำให้ดีซีมอเตอร์แบบแม่เหล็กถาวรได้รับความนิยมใช้เป็นส่วนประกอบการขับเคลื่อนในระบบการบังคับแบบปิดลูปต่างๆ มากขึ้น การออกแบบและการชดเชยระบบดังกล่าวได้อย่างเหมาะสมจะต้องใช้โมเดลทางคณิตศาสตร์ของส่วนประกอบทั้งหมดในระบบ



รูปที่ 2.11 แสดงอินพุตและเอาต์พุตของโมเดลทางคณิตศาสตร์ของมอเตอร์

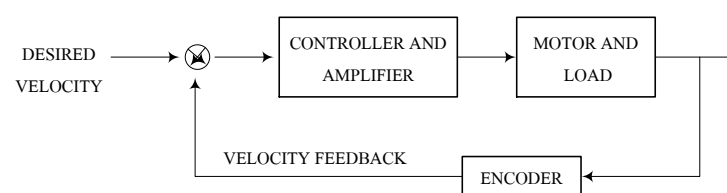
ที่มา: <http://www.rmutphysics.com/charud/scibook/electromagnetic1/magnetic/pic/>

[problem/3-41.gif](http://www.rmutphysics.com/charud/scibook/electromagnetic1/magnetic/pic/problem/3-41.gif)

2.2.4 หลักการควบคุมความเร็ว และ ตำแหน่ง

รูปที่ 2.12 คือ บล็อกไดอะแกรมของระบบควบคุมความเร็วในระบบกลไกแบบเซอร์โววีเน็ มอเตอร์ถูกเรียกว่า มอเตอร์แบบเซอร์โว (servo motor) เครื่องวัดรอบในลูปแบบป้อนกลับจะวัดความเร็วของมอเตอร์แบบเซอร์โว และ ส่งป้อนกลับมาในรูปของสัญญาณไฟฟ้า (แรงดัน หรือ กรพะแส) ซึ่ง แปรตามความเร็วเพลาของมอเตอร์ ในที่นี้ลูปป้อนกลับจะทำให้ความเร็วเอาต์พุตของมอเตอร์มีค่าคงที่มากขึ้น

ระบบแบบ closed loop ถูกใช้รวมอยู่ในระบบเครื่องมือ เครื่องจักร หรือ ส่วนกำลังเพื่อชดเชยความแตกต่างของโหลดหรือวัสดุที่ถูกตัดหรือถูกเจาะ วัสดุเนื้อแข็งจะหน่วงความเร็วของส่วน หรือ เครื่องมือที่ใช้ในการตัด และ ส่วนจะมีความเร็วเพิ่มขึ้นในวัสดุเนื้ออ่อน



รูปที่ 2.12 ระบบควบคุมความเร็ว ที่ประกอบด้วยลูปการควบคุมป้อนกลับเพียงลูปเดียวเหมาะสำหรับอุปกรณ์ส่วนไฟฟ้าเคลื่อนที่

ที่มา: <http://www.rmutphysics.com/charud/scibook/electromagnetic1/magnetic/pic/>

[problem/3-41.gif](http://www.rmutphysics.com/charud/scibook/electromagnetic1/magnetic/pic/problem/3-41.gif)

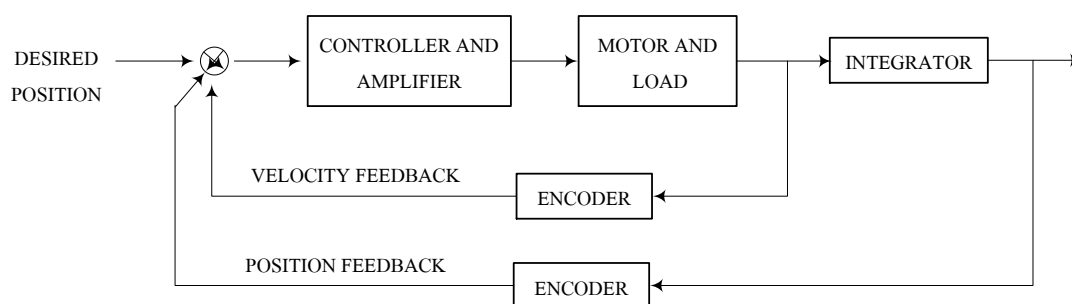
ในลูปป้อนกลับความเร็วของมอเตอร์ ที่ประกอบด้วยเครื่องวัดความเร็ว ความเร็วของเครื่องมือจะยังคงมีค่าคงที่ เนื่องจากเมื่อเครื่องมือที่ใช้ในการตัดมีความเร็วลดลง สัญญาณป้อนกลับจะ

ควบคุมมอเตอร์ให้เพิ่มความเร็วขึ้น ในขณะที่เดียวกัน เมื่อเครื่องมีอัตราเร่งที่เกินกว่าที่อนุญาต จะป้องกันไม่ให้มอเตอร์เร่งความเร็วเกินขนาด

อย่างไรก็ตาม ถ้าการประยุกต์ใช้งานมีความต้องการ วงจรควบคุมเพิ่มเติมสามารถถูกเพิ่มเข้ามาเพื่อให้มอเตอร์มีความเร็วค่อย ๆ เพิ่มขึ้น และ ค่อย ๆ ลดลงจนกระทั่งหยุด กราฟของความเร็วเขียนได้เป็นรูปของสามเหลี่ยมที่ประกอบด้วยส่วนที่ลาดขึ้น และ ส่วนที่ลาดลง หรือ อาจเป็นรูปแทรปซอยด์ (Trapezoid) ซึ่งแบ่งเป็น 3 ส่วนคือ ส่วนเพิ่มความเร็วขึ้น (Ramp up) ส่วนความเร็วคงที่ในช่วงเวลาหนึ่ง และ ส่วนความเร็วลดลง

รูปที่ 2.13 คือ บล็อกไดอะแกรมของระบบควบคุมตำแหน่งนอกจากเครื่องวัดความเร็วในลูปป้อนกลับความเร็วแล้ว ระบบกลไกแบบเซอร์โวนี้จะมีลูปป้อนกลับการกำหนดตำแหน่ง

ตัวเซนเซอร์ในการตรวจจับตำแหน่ง และ ความเร็ว จะรู้ว่าเมื่อใดที่เพลลาของมอเตอร์เซอร์โวอยู่ในตำแหน่งที่ต้องการโดยการนับสัญญาณพัลส์ และ เปรียบเทียบพัลส์กับสัญญาณอินพุท ก่อนที่จะหยุดเพลลาเมื่อนับได้เท่ากัน ซึ่งก็คือ บล็อกที่ชื่อตัวอินทิเกรต (Integrator) ในรูปที่ 5 โดยทั่วไป จะเป็นวงจรวงจรอิเล็กทรอนิกส์ควบคุมตำแหน่งของเพลลา ตัวเซนเซอร์ความเร็วในลูปป้อนกลับของระบบควบคุมตำแหน่ง ช่วยทำให้ระบบเกิดเสถียรภาพขึ้น



รูปที่ 2.13 ระบบควบคุมตำแหน่ง ประกอบด้วยลูปการควบคุมตำแหน่งป้อนกลับ และ ลูปควบคุมความเร็วป้อนกลับ

ที่มา: <http://www.rmutphysics.com/charud/scibook/electromagnetic1/magnetic/pic/problem/3-41.gif>

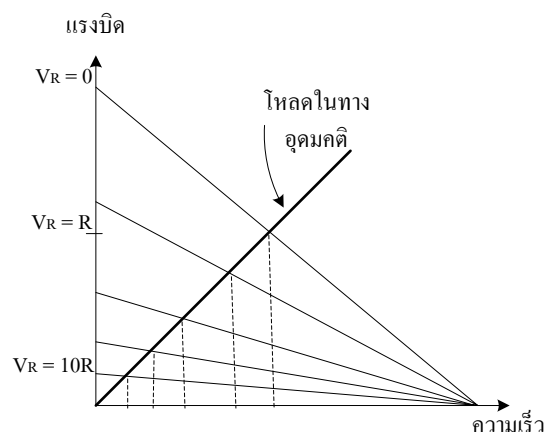
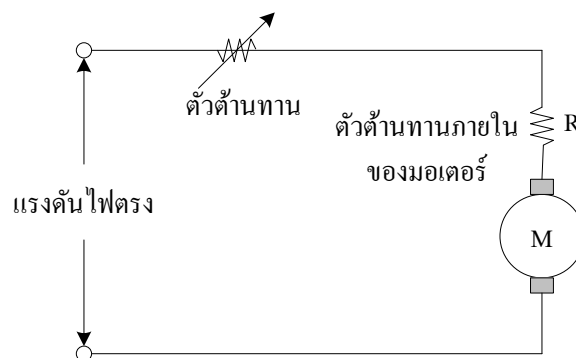
ในระบบควบคุมกำลังบิด (Torque control system) กำลังบิดของมอเตอร์เซอร์โวจะถูกรักษาให้มีค่าคงที่ เนื่องจากแรงบิดของมอเตอร์แปรตามกระแสของมอเตอร์ ดังนั้น กระแสที่ป้อนให้กับมอเตอร์ เพื่อรักษาค่าแรงบิดให้คงที่เอาไว้ วิธีนี้สามารถทำได้ด้วยวงจรที่ทำการเปรียบเทียบกระแสเอาท์พุทของมอเตอร์กับกระแสอินพุทของมอเตอร์ และ ขยายผลต่างเพื่อใช้เป็นวงจรวงจรควบคุมแรงบิดป้อนกลับ (Torque control feedback circuit)

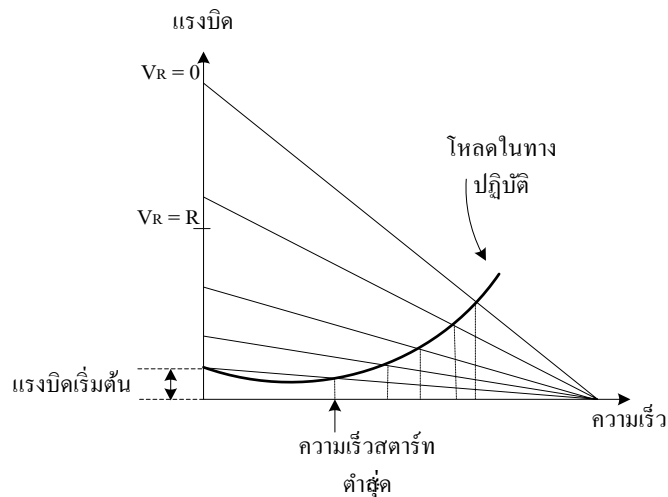
ระบบควบคุมการเคลื่อนที่แบบเพิ่ม (Incremental motion control system) ทำหน้าที่สับเปลี่ยนโหมดควบคุมจากโหมดหนึ่งไปเป็นอีกโหมดหนึ่ง เพื่อให้เกิดสมรรถนะการใช้งานที่ต้องการ ตัวอย่างเช่น การควบคุมความเร็วและตำแหน่ง ทำหน้าที่ควบคุมให้ได้ความเร็วที่ต้องการ แต่ก็สามารถปรับเปลี่ยนเป็นการควบคุมตำแหน่ง เพื่อหยุดเพลาให้ได้ถูกต้องแม่นยำขึ้น

2.2.5 การควบคุมความเร็วของมอเตอร์ขั้นพื้นฐาน

2.2.5.1 การควบคุมด้วยตัวต้านทานที่ปรับค่าได้

เป็นรูปแบบพื้นฐานที่สุดของการควบคุมมอเตอร์คือ ใช้ตัวต้านทานปรับค่าได้อักรวมกับมอเตอร์ โดยตัวต้านทานที่ปรับค่าได้จะเป็นตัวกำหนดความเร็วในการหมุนของมอเตอร์ การบังคับแบบนี้ไม่มีประสิทธิภาพเพราะกำลังไฟสูญเสียไปในตัวความต้านทาน มักนิยมใช้กับมอเตอร์ตัวเล็กๆ การบังคับแบบนี้ให้คุณสมบัติการสตาร์ทดี(ให้แรงบิดสูงที่ความเร็วต่ำ) แต่จะให้ความเร็วสูงมากเมื่อมอเตอร์อยู่ในภาวะที่มีโหลดน้อยๆ ดังนั้นการบังคับแบบนี้มีประโยชน์เฉพาะภาวะที่แรงต้านคงที่ เช่น การบังคับความเร็วของเครื่องจักรเย็บผ้า เป็นต้น



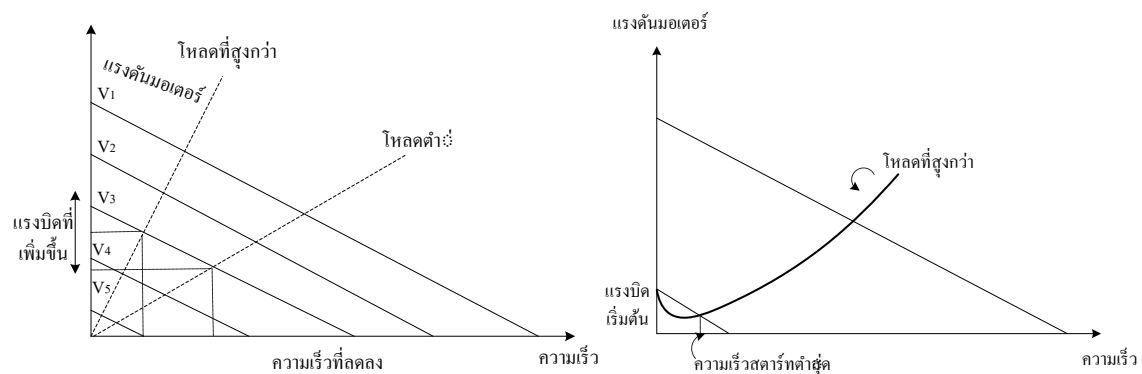


รูปที่ 2.14 วงจรควบคุมความเร็วของมอเตอร์กระแสตรงแบบใช้ตัวต้านทานอนุกรมและกราฟแสดงคุณสมบัติ

ที่มา: <http://www.rmutphysics.com/charud/scibook/electromagnetic1/magnetic/pic/problem/3-41.gif>

2.5.5.2 การควบคุมด้วยวิธีเปลี่ยนค่าแรงดัน

วิธีการนี้ดีกว่าวิธีการแรกแต่จะซับซ้อนกว่าต้องใช้อุปกรณ์อิเล็กทรอนิกส์ที่อัตราขยายกำลังสูง และ มอเตอร์จะถูกป้อนด้วยแรงดันที่เปลี่ยนแปลงค่าได้ จากแหล่งจ่ายที่มีอิมพีแดนซ์ต่ำ ข้อดีของการควบคุมวิธีนี้คือ ถ้าความเร็วลดลงจากผลของแรงบิด แรงดันที่ป้อนให้กับมอเตอร์จะเพิ่มขึ้นเพื่อรักษาระดับความเร็ว ส่วนข้อเสียจากการควบคุมวิธีนี้คือ เมื่อมอเตอร์มีความเร็วต่ำแรงดันที่ป้อนให้กับมอเตอร์จะมีค่าต่ำเช่นกัน



รูปที่ 2.15 การควบคุมความเร็วโดยเปลี่ยนค่าแรงดัน

ที่มา: <http://www.rmutphysics.com/charud/scibook/electromagnetic1/magnetic/pic/problem/3-41.gif>

2.5.5.3 การควบคุมด้วยตัวต้านทานที่ปรับค่าได้

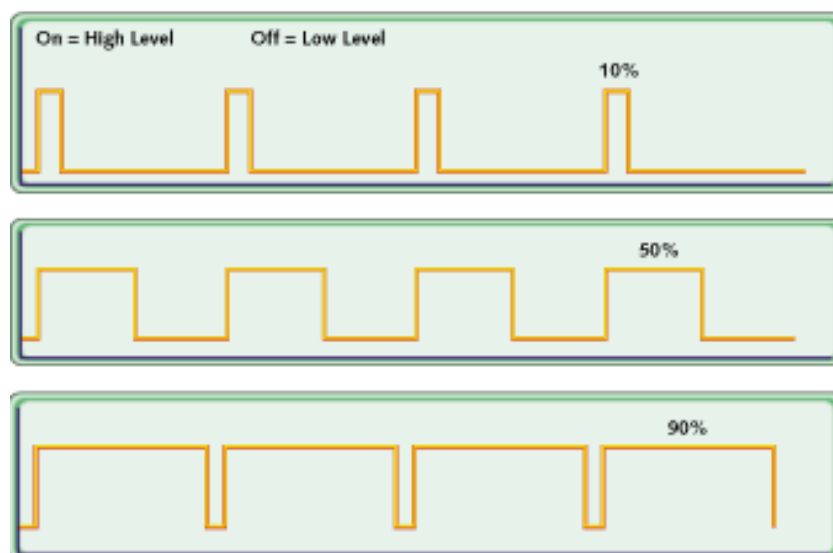
การควบคุมแบบนี้สามารถขับดีซีมอเตอร์ได้ความเร็ว 10 : 1 และให้การเรีคูเลทที่ดีกว่ากระแสถูกปล่อยให้ฟิลต์คิงที่ ผลของคุณสมบัติ ความเร็วและแรงบิดได้รับการปรับปรุงดีขึ้นกว่าการบังคับด้วยความต้านทานที่ปรับค่าได้ และให้การเรีคูเลทความเร็วคงที่ได้ดีขึ้นตลอดช่วงความเร็วที่กว้างกว่า

2.5.5.4 การควบคุมแบบ PWM (Pulse Width Modulation)

Pulse width modulation (PWM) คือ เทคนิคสำหรับควบคุมวงจรทางด้านฮาร์ดแวร์ โดยใช้สัญญาณเอาต์พุตแบบดิจิทัลของไมโครโปรเซสเซอร์ควบคุมการทำงานของสัญญาณ PWM ดังรูปที่ 2.16 แสดงสัญญาณ PWM ที่แตกต่างกัน 3 สัญญาณ

- โดย 10a แสดงสัญญาณ PWM ที่ 10% duty cycle คือ สัญญาณในการอนจะเป็น 10% ของคาบสัญญาณ และ จะออฟเป็น 90% ของคาบสัญญาณ
- โดย 10b แสดงสัญญาณ PWM ที่ 50% duty cycle คือ สัญญาณในการอนจะเป็น 10% ของคาบสัญญาณ และ จะออฟเป็น 50% ของคาบสัญญาณ
- โดย 10c แสดงสัญญาณ PWM ที่ 90% duty cycle คือ สัญญาณในการอนจะเป็น 10% ของคาบสัญญาณ และ จะออฟเป็น 10% ของคาบสัญญาณ

เช่น ถ้า Power Supply มี 9V และ duty cycle เป็น 10% จะได้เอาต์พุต 0.9V

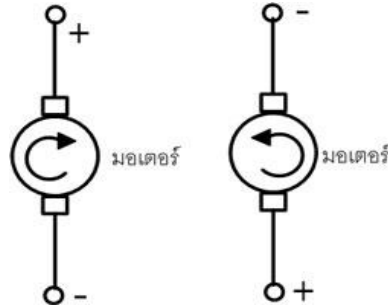


รูปที่ 2.16 แสดงสัญญาณ PWM ซึ่งแสดงค่า duty cycles ที่ต่าง ๆ กัน

ที่มา: http://tutorial.cytron.com.my/wp-content/uploads/2012/01/PWM-signals-of-varying-duty-cycles_thumb1.gif

2.3 ชุดไตรมอเตอร์

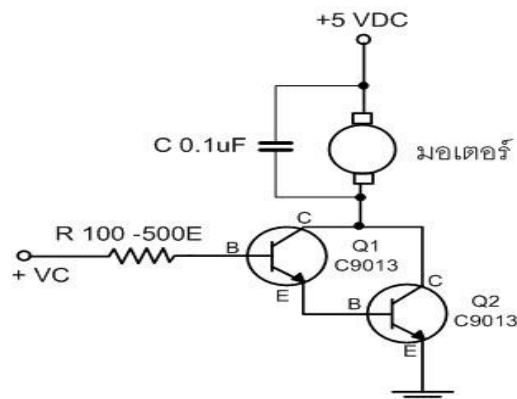
ในการกลับทางหมุนมอเตอร์นั้นจะสามารถทำได้โดยการสลับขั้วของแหล่งจ่ายเพียงเท่านั้น มอเตอร์ก็จะหมุนกลับทาง



รูปที่ 2.17 การกลับทางหมุนมอเตอร์

ที่มา: http://www.semi-shop.com/knowledge/103/103_01.jpg

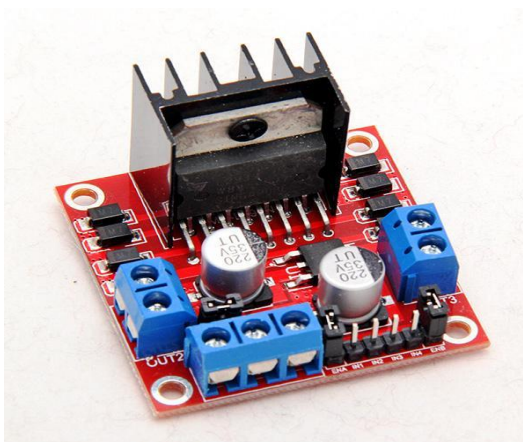
วงจรขับมอเตอร์พื้นฐาน เป็นวงจรที่ใช้ในการขับมอเตอร์นั้นมีหลายวงจรด้วยกัน ตั้งแต่วงจรพื้นฐานทั่วไป ไปถึงกลับทางหมุน และควบคุมความเร็วได้ โดยวงจรพื้นฐานนี้จะใช้ทรานซิสเตอร์เป็นตัวขับ



รูปที่ 2.18 วงจรขับมอเตอร์พื้นฐาน แบบคาบิลิตัน

ที่มา: http://www.semi-shop.com/knowledge/102/102_06.jpg

วงจรขับกลับทางหมุนสำหรับมอเตอร์กระแสตรง ซึ่งขึ้นอยู่กับวิธีการจ่ายแรงดันขั้วบวกหรือลบ สำหรับในที่นี้เลือกใช้ L298N ต้องใช้แหล่งจ่าย DC ในช่วง 9 ถึง +12 V กระแสไหลสูงสุดอยู่ที่ 2 แอมป์ สำหรับ L298N เป็นชุดขับมอเตอร์ชนิด H-Bridge ซึ่งส่วนใหญ่จะถูกนำไปใช้ในการควบคุมทิศทาง และความเร็วของมอเตอร์ ซึ่งสามารถควบคุมมอเตอร์ได้ทั้งหมด 2 Channel



รูปที่ 2.19 ชุดไดร์มอเตอร์ L298N

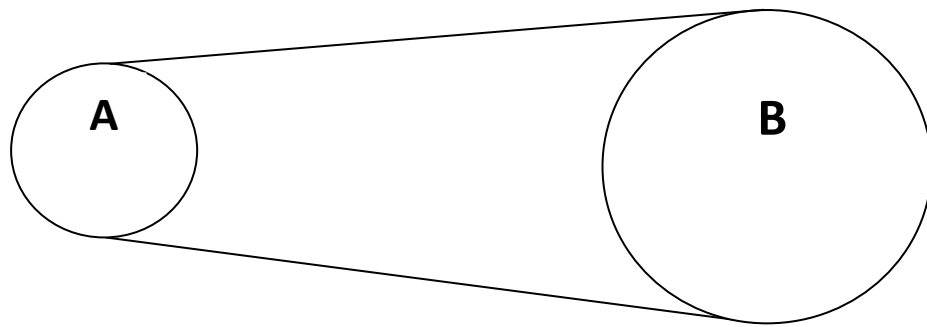
ที่มา: <https://electrosome.com/wp-content/uploads/2014/10/L298N-Motor-Driver-Module.jpg>

ในการต่อกับ Arduino นั้น ขา IN1,IN2,IN3 และ IN4 นั้น สามารถต่อกับพอร์ต Digital ใดๆก็ได้ เนื่องจาก 4 ขานี้ จะใช้ในการควบคุมสัญญาณลอจิกบอกทิศทางให้กับมอเตอร์ ส่วน ENA และ ENB นั้น จำเป็นที่จะต้องต่อกับพอร์ต Digital ที่รองรับ PWM เนื่องจากจะต้องใช้สัญญาณ PWM ในการควบคุมความเร็วของมอเตอร์

2.4 เฟืองและโซ่

เฟืองและโซ่มีความแข็งแรงและมีความแน่นอนในการควบคุมเวลาในการเคลื่อนที่ตามเส้นทางที่ต้องการหรือเมื่อจะเปลี่ยนทิศทางการเคลื่อนที่ ซึ่งระบบเฟืองและโซ่จะพบได้ในจักรยาน จักรยานยนต์ และรถยนต์ เพราะเฟืองจะถูกยึดกับโซ่ให้เคลื่อนที่ไปด้วยกัน โครงสร้างของเฟืองและโซ่ทำจากโลหะที่มีความแข็งแรงและในการผลิตเฟืองถ้าทำไม่ได้มาตรฐานก็จะทำให้โซ่ทำงานได้ไม่ดี

ในการเปลี่ยนความเร็วระหว่างเฟือง 2 ตัวจะขึ้นอยู่กับจำนวนของฟันเฟืองแต่ละตัว เมื่อเฟืองตัวที่ 1 มีกำลังเต็มที่ในการหมุนมันจะดึงโซ่โดยใช้ฟันเฟือง และโซ่ก็จะดึงเฟืองอีกตัวหนึ่งตามจำนวนซี่ฟันเฟือง ในตัวอย่าง จะเป็นการอธิบายกำลังของเฟือง เฟือง A มีฟันเฟือง 10 ซี่ ที่ต่อกับเฟือง B มีจำนวน 40 ซี่ เมื่อเฟือง A เคลื่อนที่ไป 10 ซี่ฟันเฟืองจะทำให้โซ่เคลื่อนที่ไป 10 ซี่และเฟือง B ที่มี 40 ซี่ฟันเฟืองจะเคลื่อนที่ไปได้ $\frac{1}{4}$ ของวงกลม ความเร็วจะลดลง 0.25 และกำลังขับจะเพิ่มเป็น 4 เท่า



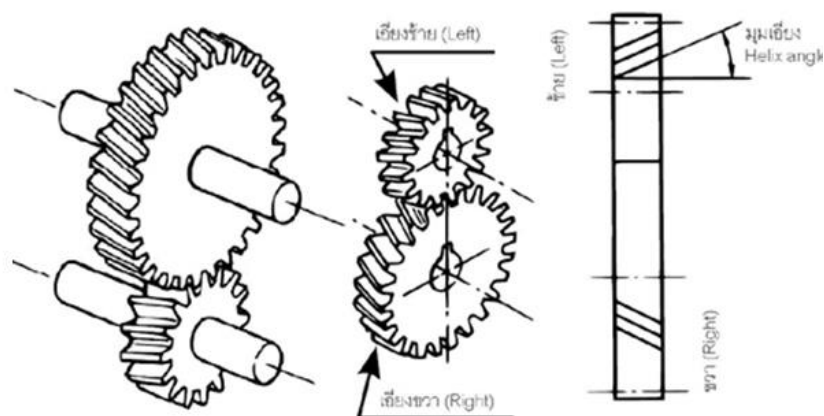
รูปที่ 2.20 เฟืองและโซ่

ที่มา: http://i01.i.aliimg.com/img/pb/002/081/043/1043081002_871.jpg

ปัญหาที่พบจากเฟืองและโซ่ ถ้าต้องการให้ความเร็วลดลง จะต้องมิโซ่พวงกลุ่มเฟืองเข้าด้วยกัน และจะทำให้เกิดความเร็วลดลงและไม่มีประสิทธิภาพ ไม่มีขั้นตอนการลดเพียงขั้นตอนเดียวในอัตราส่วน 5 ต่อ 1 ที่จะขัดขวางการทำงานของระบบ

2.5 เฟืองทด

เฟืองทดพบได้ในระบบขับเคลื่อนรถยนต์ นาฬิกาโบราณ และระบบการป้อนกระดาษของเครื่องพิมพ์ เฟืองทดมีการทำงานบนหลักการเดียวกับเฟืองและโซ่ แต่ไม่มีโซ่ เนื่องจากเฟืองทดต้องการความทนทานแทนที่จะใช้โซ่ขนาดใหญ่ถ่ายแรงที่ไม่เป็นเส้นตรง วิธีการยัดของเฟืองโดยตรงแสดงได้ดังรูป



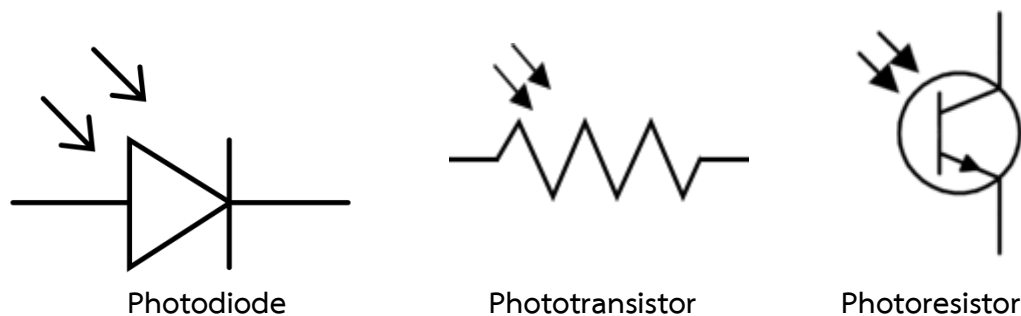
รูปที่ 2.21 เฟืองทด

ที่มา: https://sites.google.com/site/krrmwithikarphlitt/_/rsrc/1468857859658/neuxhasara/bth-thi-7-kar-phlit-feuxng/12.png

นอกจากนี้ ถ้ามีร้านอุปกรณ์ที่น่าเชื่อถือ หรือชุดเลโก้ที่ดี ควรจะซื้อเฟืองทดสำเร็จรูป ความจริงแล้ว ชนิดอัตราส่วนที่ต้องการจากรายการที่พอดีกับเฟืองทดและพอดีกับแกนของมอเตอร์ซึ่งจะขายเป็นชุด โดยเรียกว่าเฟืองหัวมอเตอร์

2.6 การตรวจจับแสง

แสงเป็นสิ่งจำเป็นของหลอดใน silicon และถูกนำไปใช้โดยตรงใน Photovoltaic (Solar Cell) ซึ่งจะมีผลที่ได้จะขึ้นอยู่กับ การตอบสนองของแสง (เหมือนแสงจากแบตเตอรี่) หรือในทางอ้อมจะตรวจสอบเหมือน Photodiode หรือ Phototransistor แสงเปลี่ยนความต้านทานของโลหะใน Photoresistor จากความต้านทานสูง (100 K – 1 M) ในความมืดไปยังความต้านทานต่ำในแสงสว่าง เซนเซอร์แสงจะปรากฏในรูป



รูปที่ 2.22 เซนเซอร์แสง

ที่มา: <http://www.technologystudent.com/images5/ldrmtr1.gif>

2.6.1 เซนเซอร์ชนิดใช้แสง (Optical Sensor)

ในงานบางลักษณะที่ต้องการการตรวจจับชิ้นงานที่มีระยะห่างจากตัวเซนเซอร์ค่อนข้างมาก ซึ่งอาจมีค่าเป็นเมตร ควรใช้เซนเซอร์ชนิดใช้แสงเป็นตัวตรวจจับ ส่วนเซนเซอร์แบบเหนี่ยวนำและชนิดเก็บประจุไม่สามารถใช้ได้ เพราะมีระยะการตรวจจับสูงสุดประมาณ 50 มิลลิเมตรหรืออย่างมากไม่เกิน 100 มิลลิเมตร หากต้องการระยะตรวจจับมากกว่านี้ก็จะทำให้มีขนาดที่ใหญ่ เพื่อให้สามารถแม่เหล็กและสนามไฟฟ้ามีค่าสูงขึ้นซึ่งอาจจะมีผลกระทบกับระบบอื่นๆได้ นอกจากนี้เซนเซอร์แบบใช้แสงจะมีคุณลักษณะเด่นในเรื่องของระยะการตรวจจับที่ไกลแล้ว ยังมีข้อดีอีกหลายอย่าง คือ สามารถตรวจจับวัตถุได้เกือบทุกประเภท ความเร็วในการตรวจจับสูง มีรุ่นที่สามารถแยกความแตกต่างของสีได้ นอกจากนี้ยังสามารถตรวจจับวัตถุในบริเวณที่เซนเซอร์แบบทั่วไปไม่สามารถใช้งานได้ เช่น บริเวณที่มีเนื้อที่ติดตั้งจำกัด บริเวณที่มีอุณหภูมิสูง ชิ้นงานที่มีขนาดเล็กๆได้

2.6.2 ชนิดของตัวรับแสงและส่งแสง

เซนเซอร์ชนิดใช้แสงประกอบด้วยส่วนที่สำคัญอยู่ 2 ส่วนด้วยกันคือตัวส่งแสงและตัวรับแสง ลักษณะของการตรวจจับนั้นเกิดขึ้นจากการที่ลำแสงตัวส่งส่งไปสะท้อนกับวัตถุ หรือถูกขวางกั้นด้วยวัตถุ และมีผลให้ตัวรับแสงรู้สภาวะที่เกิดขึ้น โดยจะเปลี่ยนแปลงสภาวะของสัญญาณเอาต์พุตเพื่อนำไปใช้ ตัวรับแสงจะใช้อุปกรณ์ที่เรียกว่า โฟโตไดโอด (Photo Diode) หรือ โฟโตทรานซิสเตอร์ (Photo Transistor) ทำหน้าที่เป็นตัวรับแสง และแปลงเปลี่ยนสัญญาณทางไฟฟ้า ซึ่งตัวกำเนิดแสง มีหลายประเภทด้วยกัน คือ

2.6.2.1 หลอดแบบมีไส้

เป็นเซนเซอร์รุ่นเก่าที่เคยใช้กัน มีข้อเสียตรงที่ขาดง่ายและมีขนาดค่อนข้างใหญ่ใช้พลังงานมาก ปัจจุบันก็ยังพอมือใช้อยู่ โดยใช้กับงานเฉพาะอย่าง

2.6.2.2 หลอด LED (Light Emitting Diode)

เป็นอุปกรณ์ที่มีขนาดเล็ก มีความทนทานสูงนิยมใช้กันมากในเซนเซอร์รุ่นใหม่

2.6.2.3 LED แบบแสงอินฟราเรด (Infrared)

จะเป็นแสงอินฟราเรด ที่มีความยาวคลื่นอยู่ในช่วง 910 ถึง 950 นาโนเมตร มองด้วยตาเปล่าไม่เห็น ให้ความเข้มของแสงสูงจึงส่งไปได้เป็นระยะทางไกลและสามารถส่งทะลุวัตถุบางชนิดได้ แต่ไม่สามารถแยกแยะความแตกต่างของสีได้

2.6.2.4 LED แบบแสงสีแดง

เป็นแสงที่ตามองเห็น มีความยาวคลื่นประมาณ 660 นาโนเมตร ให้ความเข้มของแสงปานกลาง เซนเซอร์ที่ใช้แสงสีแดง จะมีระยะการตรวจจับใกล้ แต่สามารถตรวจจับเครื่องหมาย (mark) สีดำ น้ำเงิน หรือ เขียว บนพื้นสีขาวได้

2.6.2.5 LED แบบแสงสีเขียว

เป็นแสงที่ตามองเห็น มีความยาวคลื่นประมาณ 560 นาโนเมตร ให้ความเข้มของแสงต่ำ เซนเซอร์ใช้แสงสีเขียว จะมีระยะการตรวจจับใกล้ แต่สามารถตรวจจับเครื่องหมาย (mark) สีแดง บนพื้นสีขาวได้

2.6.2.6 LED แบบแสงเลเซอร์ (Light Amplification by Stimulated Emission of Radiation)

เป็นแสงที่ถูกขยายโดยการกระตุ้นให้แผ่รังสีออก โดยปกติแล้วแสงที่เราเห็นทั่วไป ไม่ว่าจะเป็นแสงจากหลอดไฟ แสงจากดวงอาทิตย์ จะเป็นแสงที่กระจายออกมารอบจุดกำเนิด มีหลายความถี่หรือหลายสี แต่เลเซอร์จะมีคุณสมบัติให้แสงสีเดียว มีสีเดียวและเฟสเดียว จึงทำให้แสงเลเซอร์เป็นแสงที่มีความเข้มสูง จะมีความถี่คลื่นอยู่ระหว่าง 0.01 มิลลิเมตร หรืออยู่ในความถี่ช่วงประมาณ 10^{13} ถึง 10^{15} เฮิรตซ์ ปกติทั่วไปแล้วจะเป็นลำแสงสีแดง

2.6.3 เทคนิคในการรับส่งแสง

2.6.3.1 วิธีการรับส่งแบบทั่วไป

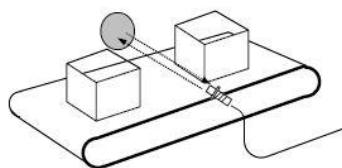
เป็นวิธีที่ตัวส่งแสงส่งลำแสงไปอย่างต่อเนื่องเป็นปกติ เหมือนกับแสงตามธรรมชาติ วิธีนี้ ระยะเวลาการตรวจจับจะไม่ไกลนักและอาจจะถูกแสงจากภายนอกรบกวนได้ง่าย

2.6.3.2 วิธีการรับส่งแบบพัลส์

เป็นวิธีที่ตัวส่งแสง จะส่งลำแสงเป็นจังหวะที่สม่ำเสมอด้วยอัตราความถี่ที่สูง และที่ส่วนของตัวรับก็จะถูกออกแบบมาสำหรับรับสัญญาณแสงนี้โดยเฉพาะ ด้วยวิธีนี้จะทำให้ระยะเวลาการตรวจจับทำได้ไกลและต้านทานต่อแสงรบกวนจากภายนอก

2.6.3.3 เซนเซอร์แบบลำแสงสะท้อน (Retro-Reflective Sensor)

เซนเซอร์ประเภทนี้จะรวมตัวส่งและตัวรับสัญญาณแสงไว้ในตัวเดียวกัน และใช้แผ่นสะท้อนแสง (reflector) สะท้อนแสงกลับ

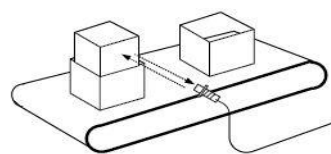


รูปที่ 2.23 ลักษณะเซนเซอร์แบบลำแสงสะท้อนกลับ

ที่มา: <http://www.foodnetworksolution.com/uploaded/Measurement%20book/2.8.JPG>

2.6.3.4 เซนเซอร์แบบตรวจจับโดยตรง (Diffuse-Reflective Sensor)

เซนเซอร์ประเภทนี้ ตัวส่งและตัวรับสัญญาณแสงจะอยู่ภายในตัวเดียวกัน แล้วใช้วัตถุหรือชิ้นงานที่เป็นตัวสะท้อนกลับ



รูปที่ 2.24 ลักษณะเซนเซอร์แบบตรวจจับโดยตรง

ที่มา: <http://www.foodnetworksolution.com/uploaded/Measurement%20book/2.8.JPG>

ดังที่ทราบเซนเซอร์แบบนี้ ระยะเวลาที่ใช้ในการตรวจจับจะขึ้นอยู่กับตัวคุณสมบัติของตัวชิ้นงาน และตารางต่อไปนี้จะเป็นอย่างของตัวคุณสมบัติประกอบแฟลคเตอร์ของเซนเซอร์แบบตรวจจับโดยตรงในการตรวจจับชิ้นงานประเภทต่างๆ

2.7 ไมโครคอนโทรลเลอร์

ไมโครคอนโทรลเลอร์(Microcontroller) มาจากคำ 2 คำ คำหนึ่งคือ ไมโคร(Micro) หมายถึงขนาดเล็ก และคำว่า คอนโทรลเลอร์(controller) หมายถึงตัวควบคุมหรืออุปกรณ์ควบคุม ดังนั้นไมโครคอนโทรลเลอร์ จึงหมายถึงอุปกรณ์ควบคุมขนาดเล็ก แต่ในตัวอุปกรณ์ควบคุมขนาดเล็กนี้ได้บรรจุความสามารถที่คล้ายคลึงกับระบบคอมพิวเตอร์ โดยมีโครงสร้างใกล้เคียงกับคอมพิวเตอร์ คือ ภายในประกอบด้วยหน่วยรับข้อมูลและโปรแกรม หน่วยประมวลผล หน่วยความจำ หน่วยแสดงผล ซึ่งส่วนประกอบเหล่านี้มีความสมบูรณ์ในตัวของมันเอง ทำให้มีขนาดเล็ก และสามารถเขียนโปรแกรมควบคุมการทำงานของอุปกรณ์ต่างๆ ที่เชื่อมต่อกับตัวมัน ง่ายต่อการนำไปประยุกต์ใช้งาน

Arduino เป็นโครงการพัฒนาไมโครคอนโทรลเลอร์ของตระกูล AVR แบบ Open Source(ของฟรี) โดยนิยมใช้ AVR ในตระกูล ATMEGA88 ATMEGA168 ATMEGA328 โดยมีตัวถังแบบ DIP ทำให้ง่ายต่อการพัฒนา Arduino คือเครื่องมือที่จะทำให้คอมพิวเตอร์สามารถรับสัญญาณจากภายนอกและส่งสัญญาณไปควบคุมอุปกรณ์ภายนอกได้อย่างมีประสิทธิภาพมากกว่าใช้เครื่องพีซีตั้งโต๊ะตัวบอร์ดออกแบบจากไมโครคอมพิวเตอร์ชิพเดียว และมีโปรแกรมพัฒนาสำหรับเขียนโปรแกรมให้บอร์ดทำงาน Arduino สามารถประยุกต์ทำเครื่องใช้อัจฉริยะ รับสัญญาณจากสวิทช์ หรือ เซนเซอร์และควบคุม หลอดไฟมอเตอร์ หรืออุปกรณ์อื่นๆ โปรแกรม Arduino เป็นได้ทั้งแบบทำงานอิสระ หรือทำงานติดต่อกับโปรแกรมที่ทำงานบนเครื่องพีซี ตัวบอร์ดสามารถประกอบขึ้นใช้เอง หรือจะซื้อสำเร็จที่มีขาย ส่วนโปรแกรมพัฒนา Arduino สามารถดาวน์โหลดได้ฟรี

- ราคา Arduino บอร์ดไม่แพงเมื่อเทียบกับบอร์ดอื่น บอร์ด Arduino ที่ราคาถูกที่สุดสามารถทำใช้เองได้หรือซื้อสำเร็จด้วยเงินไม่เกิน 30 \$

- ทำงานได้หลายแพลตฟอร์ม โปรแกรมพัฒนา Arduino ทำงานได้ทั้งบนวินโดวส์ Macintosh OSX และบนลินุกซ์ ในขณะที่บอร์ดอื่นทำงานได้เฉพาะวินโดวส์

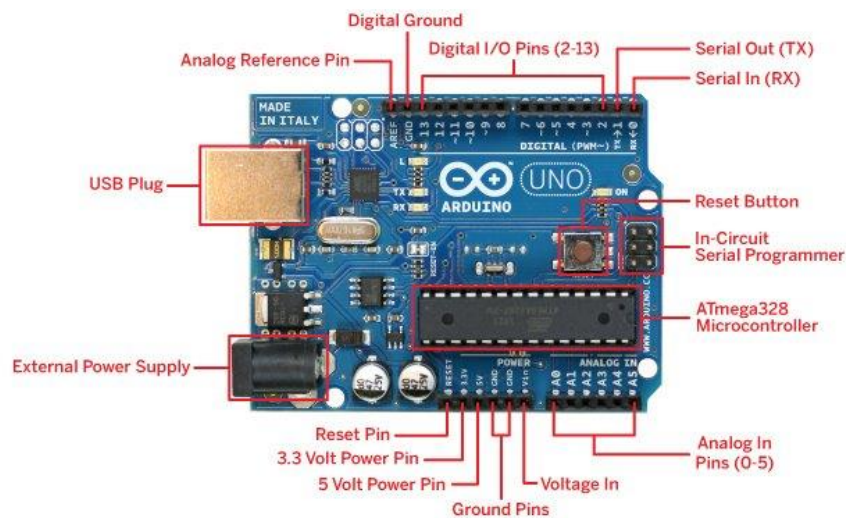
- ใช้งานง่าย มีโปรแกรมพัฒนาที่ไม่ซับซ้อน โปรแกรม Arduino ใช้งานง่ายสำหรับมือใหม่ และมีความสามารถครบตามความต้องการของนักพัฒนามืออาชีพ

- เปิดเผยแพร่โค้ดและนำไปพัฒนาต่อยอดได้ โปรแกรม Arduino ดีพิมพ์แบบเปิดเผยซอร์สโค้ด และสามารถเพิ่มเติมความสามารถผ่าน C++ library ถ้าคุณต้องการศึกษาให้ลึกซึ้ง คุณสามารถเข้าไปเล่น AVR C ซึ่งเป็นต้นฉบับของ Arduino, และความสามารถเพิ่มเติม AVR C โค้ดได้โดยตรงถ้าคุณต้องการ

- เปิดเผยแพร่ และนำไปพัฒนาขยาย hardware ได้ Arduino ใช้ไมโครคอนโทรลเลอร์ของ Atmel เบอร์ ATMEGA8 และ ATMEGA168 วงจรขับของบอร์ดดีพิมพ์แบบเปิดเผยวงจรภายใต้ Creative Commons License คุณสามารถนำไปดัดแปลงต่อขยายและเพิ่มประสิทธิภาพ เพื่อศึกษาการทำงานของมันได้ฟรี

2.7.1 คุณสมบัติของบอร์ดโดยทั่วไป

- Atmega ตระกูล mx8 (168 หรือ 328)รับที่ความเร็ว 16.00 MHz
- บนบอร์ดจะมีสอง LED ใช้แสดง power และ ที่ pin 13 สำหรับทดสอบ และอีกสอง LED ที่แสดงผล TX RX
- Pin บนบอร์ดเป็นแบบ มาตรฐานตามบอร์ดของ Arduino ประกอบไปด้วย
 - Digital 0 thru 13
 - Analog 0 thru 5
 - A Ref, 5V Ground Vin and Reset
 - 6-pin standard ICSP header
 - Auto-reset capability



รูปที่ 2.25 Arduino board

ที่มา: <https://j.lnwfile.com/z0wxio.jpg>

Arduino เป็น platform ของ I/O บอร์ดอย่างง่ายที่มี I/O ขั้นพื้นฐานที่พอเพียงกับการใช้งานและการเรียนรู้โดยตัวบอร์ดจะมาพร้อมกับชุดคำสั่งที่ใช้ควบคุม port I/O ไม่ว่าจะเป็น port digital port analog PWM และ Serial port ซึ่ง Arduino นั้นเป็นเครื่องมือที่จะทำให้คอมพิวเตอร์สามารถรับสัญญาณจากภายนอกและส่งสัญญาณไปควบคุมอุปกรณ์ภายนอกได้อย่างมีประสิทธิภาพมากกว่าใช้เครื่องพีซีตั้งโต๊ะตัวบอร์ดออกแบบจากไมโครคอมพิวเตอร์ชิพเดียวและมีโปรแกรมพัฒนาสำหรับเขียนโปรแกรมให้บอร์ดทำงาน Arduino สามารถประยุกต์ทำเครื่องใช้อัจฉริยะรับสัญญาณจากสวิทช์หรือเซนเซอร์ และควบคุมหลอดไฟ มอเตอร์ หรือ อุปกรณ์อื่นๆโปรเจค Arduino เป็นได้ทั้งแบบทำงานอิสระ

หรือทำงานติดต่อกับโปรแกรมที่ทำงานบนเครื่องพีซีตัวบอร์ดสามารถประกอบขึ้นใช้เองหรือจะซื้อสำเร็จที่มีขายส่วนโปรแกรมพัฒนา Arduino สามารถดาวน์โหลดได้ฟรี

Arduino เป็นภาษาอิตาลีซึ่งใช้เป็นชื่อของโครงการพัฒนาไมโครคอนโทรลเลอร์ตระกูล AVR แบบ Open Source ที่ได้รับการปรับปรุงมาจากโครงการพัฒนา Open Source ของ AVR อีกโครงการหนึ่งที่ชื่อว่า “Wiring” แต่เรื่องจากโครงการของ “Wiring” เลือกใช้ AVR เบอร์ ATmega128 ซึ่งเป็นไมโครคอนโทรลเลอร์ที่มีจำนวนของหน่วยความจำและ I/O ค่อนข้างมากและที่สำคัญ Atmega128 เป็นชิปที่มีตัวถังแบบ SMD จึงทำให้เป็นอุปสรรคสำหรับผู้เริ่มต้นในการสร้างบอร์ดและต่อวงจรขึ้นมาใช้งานกันเองและบอร์ดจะมีขนาดค่อนข้างใหญ่ซึ่งอาจดูว่าเกินความจำเป็นสำหรับผู้เริ่มต้นจึงไม่ค่อยได้รับความนิยมเท่าที่ควรแต่หลังจากที่ทีมงาน Arduino พัฒนา Source Code ของ “Wiring” มาพัฒนาปรับปรุงใหม่โดยให้สามารถใช้งานกับไมโครคอนโทรลเลอร์ขนาดเล็กเช่น Mega8 Mega168 Mega328 ได้จึงทำให้ระบบวงจรของบอร์ดมีขนาดเล็กลงกว่า “Wiring” มากและยังใช้อุปกรณ์น้อยขึ้นทำให้ง่ายต่อการต่อวงจรใช้งานกันเองและยังประหยัดต้นทุนในการสร้างบอร์ดไปได้มากด้วยเหตุนี้เองที่ทำให้ “Arduino” ได้รับความนิยมจากผู้ใช้งานทั่วโลกเป็นอย่างมากในระยะเวลาอันรวดเร็ว

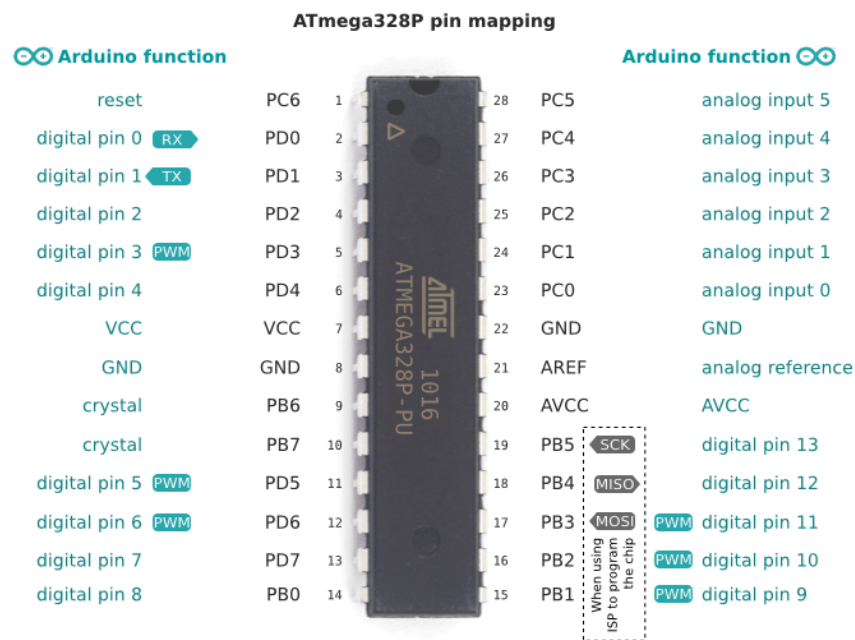
Arduino มีจุดเด่นในเรื่องของความง่ายต่อการเรียนรู้และใช้งานเนื่องจากการออกแบบคำสั่งต่างๆขึ้นมาสนับสนุนการใช้งานด้วยรูปแบบที่ง่ายไม่ซับซ้อนในตลาดไมโครคอนโทรลเลอร์มีตัวเลือกมากมายเช่น Parallaxe Basic Stamp Netmedia’s BX-24 Pidgets MIT’s Handyboard และอีกหลายเจ้าที่มีคุณสมบัติใกล้เคียงกันคือทำโปรเจกต์ให้ใช้งานง่ายและเน้นการใช้งานโปรแกรมไมโครคอนโทรลเลอร์เป็นหลัก

Arduino เป็นบอร์ดไมโครคอนโทรลเลอร์โดยใช้ AVR ขนาดเล็กเป็นตัวประมวลผลและสิ่งงานเหมาะสำหรับนำไปใช้ในการศึกษาเรียนรู้ระบบไมโครคอนโทรลเลอร์และนำไปประยุกต์ใช้งานเกี่ยวกับการควบคุมอุปกรณ์ Input/Output ต่างๆได้มากมายทั้งในแบบที่เป็นการทำงานเดี่ยวอิสระหรือเชื่อมต่อสิ่งงานร่วมกับอุปกรณ์อื่นๆเช่นคอมพิวเตอร์ PC ทั้งนี้ก็เนื่องมาจากว่า Arduino สนับสนุนการเชื่อมต่อกับอุปกรณ์ Input/Output ต่างๆได้มากมายทั้งแบบ Digital และ Analog เช่น การรับค่าจากสวิตช์หรืออุปกรณ์ตรวจจับ (Sensor) แบบต่างๆรวมไปถึงการควบคุมอุปกรณ์ Output ต่างๆตั้งแต่ LED หลอดไฟ มอเตอร์ รีเลย์ โดยระบบฮาร์ดแวร์ของ Arduino สามารถสร้างและประกอบขึ้นใช้งานได้เองในกรณีนี้ผู้ใช้พอมีความรู้ด้านอิเล็กทรอนิกส์อยู่บ้างหรือสามารถซื้อแผงวงจรสำเร็จรูปที่มีการผลิตออกจำหน่ายกันในราคาที่ไม่แพงอีกทั้งยังเผยแพร่ Source Code และตัวอย่างต่างๆให้ผู้นำไปใช้งานหรือพัฒนาต่อยอดได้โดยไม่เสียค่าใช้จ่ายใดๆ

ส่วนภาษาในการเขียนโปรแกรมลงบน Arduino นั้นจะใช้ภาษา C++ ซึ่งเป็นรูปแบบของโปรแกรมภาษาซีประยุกต์แบบหนึ่งที่มีโครงสร้างของตัวภาษาโดยรวมใกล้เคียงกับภาษาซีมาตรฐาน (ANSI-C) อื่นๆเพียงแต่ได้มีการปรับปรุงรูปแบบในการเขียนโปรแกรมบางส่วนที่ผิดเพี้ยนไปจาก ANSI-C

เล็กน้อยเพื่อช่วยลดความยุ่งยากในการเขียนโปรแกรมและให้ผู้เขียนโปรแกรมสามารถเขียนโปรแกรมได้ง่ายและสะดวกมากขึ้นกว่าการเขียนภาษาซีตามแบบมาตรฐานของ ANSI-C โดยตรง

ซึ่งจากการที่ได้ทำการศึกษาค้นคว้าทดลองการใช้งานภาษาซีของ Arduino มาในระยะเวลาหนึ่งพบว่าในความจริงแล้ว Arduino นั้นไม่ใช่ C-Compiler โดยตรงแต่ Arduino จะมีลักษณะการทำงานเช่นเดียวกับ Text Editor เป็นฉากหน้าในการติดต่อสื่อสารกับผู้ใช้เท่านั้นส่วนเบื้องหลังจริงๆนั้น Arduino จะไปเรียกใช้ตัวแปลภาษาซีและ Utility อื่นๆที่ใช้เป็นเครื่องมือพัฒนาโปรแกรมของไมโครคอนโทรลเลอร์ตระกูล AVR อีกทีหนึ่งโดย Arduino จะเลือกใช้ C-Compiler ของ “GNU AVR-GCC Toolchain” ร่วมกับ Library Function ของ “avr-libc” ส่วน Utility ที่ใช้ในการ Upload Code ให้กับ AVR นั้นก็จะใช้ของ “AVRDude” ดังนั้นผู้ที่เขียนภาษาซีของ AVR เป็นอยู่แล้วและต้องการประยุกต์ใช้งาน Arduino ให้ได้ประสิทธิภาพการทำงานมากยิ่งขึ้นไปอีกก็สามารถศึกษาข้อกำหนดและหน้าที่ในการใช้งาน Library และคำสั่งอื่นๆที่บรรจุไว้ใน Library ต่างๆที่มาจากของ “GNU AVR-GCC Toolchain” และ “avr-libc” เพิ่มเติมอีกเพื่อใช้เป็นแนวทางในการปรับปรุงและประยุกต์ใช้งาน Arduino ในรูปแบบที่สลับซับซ้อนมากยิ่งขึ้นไปอีก Chip และ IC ภายใน Arduino Board ที่สำคัญ

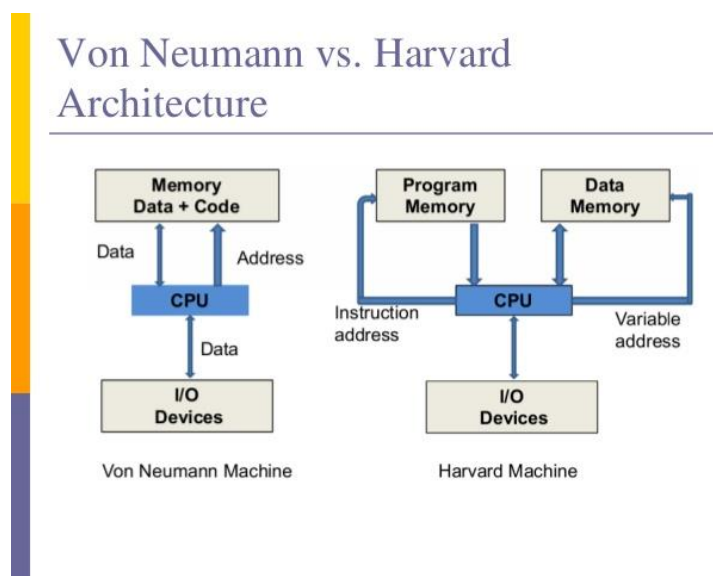


รูปที่ 2.26 ซีพียู ATMEGA328P ขนาด 28 ขา

ที่มา: http://www.openfog.net/images/ATmega328P_A.png

ตัวบอร์ด Arduino ที่ใช้ในโปรเจกต์นี้จะกล่าวถึงสถาปัตยกรรมของ AVR ขนาด 8 บิตโดยในสถาปัตยกรรม AVR ซึ่งออกแบบโดย ATMEL เมื่อปี 1996 เป็นซีพียูแบบ RISC (Reduced Instruction Set Computer) มีสถาปัตยกรรมการต่อหน่วยความจำแบบ Harvard ซึ่งแยกหน่วยความจำโปรแกรม

และหน่วยความจำข้อมูลออกจากกันโดยเด็ดขาดดังแสดงในรูปที่ 2.25 โดยใช้หน่วยความจำแบบแฟลชสำหรับเป็นหน่วยความจำโปรแกรมและใช้หน่วยความจำแบบ SRAM สำหรับหน่วยความจำข้อมูลและนอกจากนี้ยังมีหน่วยความจำแบบ EEPROM ซึ่งสามารถเก็บข้อมูลเอาไว้ได้โดยไม่ต้องมีไฟเลี้ยงอีกด้วย



รูปที่ 2.27 เปรียบเทียบการจัดการหน่วยความจำของสถาปัตยกรรมแบบ Von-Neumann และ Harvard ที่มา: <http://spiropjects.com/webadmin/uploads/von.jpg>

จากรูปที่ 2.26 จะเห็นว่าโปรเซสเซอร์ที่ใช้สถาปัตยกรรมแบบ Harvard จะแยกหน่วยความจำสำหรับเก็บข้อมูลออกจากโปรแกรมอย่างชัดเจนสถาปัตยกรรม AVR และ MCS-51 จะใช้รูปแบบนี้ในการจัดการหน่วยความจำส่วนสถาปัตยกรรมแบบ Von-neumann การตัดสินใจว่าจะเก็บโปรแกรมหรือข้อมูลจะแบ่งเก็บอย่างไรจะทำได้อย่างอิสระโดยขึ้นอยู่กับโปรแกรมเมอร์หรืออาจจะเป็นระบบปฏิบัติการเป็นผู้ดำเนินการให้ลักษณะเด่นของสถาปัตยกรรม AVR คือคำสั่งส่วนใหญ่สามารถทำงานได้เสร็จภายใน 1 clock cycle ตัวซีพียู AVR ขนาด 8 บิตจะแบ่งออกเป็นประเภทการใช้งานได้ 5 กลุ่มได้แก่

- Tiny AVR เป็นซีพียูในรุ่นเล็กซึ่งต้องการความเล็กกะทัดรัดของวงจรโดยเหมาะสมกับระบบควบคุมขนาดเล็กๆที่ต้องการหน่วยความจำและวงจรสนับสนุนไม่มากนักซีพียูในรุ่นนี้จะมีราคาถูกกว่ากลุ่มอื่น

- Mega AVR จะมีชื่ออีกอย่างว่า ATmega โดยมีวงจรสนับสนุนภายในเพิ่มเติมตลอดจนเพิ่มขนาดของหน่วยความจำให้ใช้งานมากกว่าตระกูล Tiny เหมาะกับงานควบคุมทั่วไป

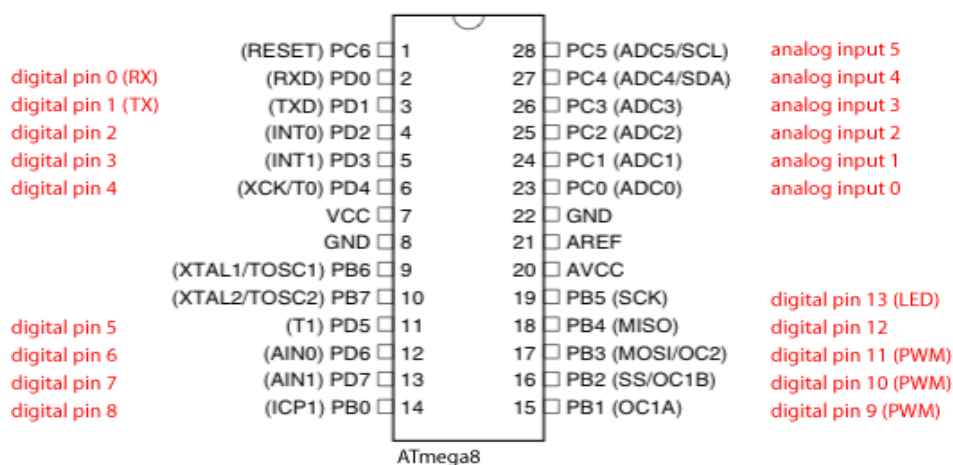
- XMEGA เพิ่มความละเอียดของวงจร A/D จากปกติมีความละเอียด 10 บิตในรุ่นเล็กกว่า เป็น 12 บิตและวงจร DMA controller ซึ่งช่วยลดภาระของซีพียูในการควบคุมการรับส่งข้อมูลระหว่างอุปกรณ์ I/O กับหน่วยความจำ

- FPSLIC (AVR core with FPGA) สำหรับงานที่ต้องการควบคุมที่ต้องการความยืดหยุ่นในขั้นตอนการออกแบบและพัฒนาโดยผู้ออกแบบสามารถออกแบบวงจรในระดับฮาร์ดแวร์เพิ่มเติมด้วยภาษาบรรยายฮาร์ดแวร์ (HDL: Hardware Description Language) เช่นภาษา VHDL หรือภาษา Verilog และให้วงจรที่ออกแบบทำงานร่วมกับซีพียู AVR core

- Application Specific AVR เป็นซีพียูที่ออกแบบมาโดยเพิ่มวงจรควบคุมเฉพาะด้านเข้าไป ซึ่งไม่พบในซีพียูกลุ่มอื่นๆเช่นวงจร USB controller หรือวงจร CAN bus เป็นต้น

Arduino Pin Mapping

www.arduino.cc



รูปที่ 2.28 แสดงขา ของ Arduino Board

ที่มา: <https://www.arduino.cc/en/uploads/Hacking/Arduino-To-Atmega8-Pins.png>

ซีพียู AVR มีให้เลือกใช้งานหลายเบอร์แต่ละเบอร์จะมีขนาดราคาความสามารถและขนาดหน่วยความจำตลอดจนถึงวงจรสนับสนุนภายในที่แตกต่างกันออกไปในโครงการนี้จะเลือกให้ซีพียูรุ่น ATmega328P ซึ่งมีคุณสมบัติดังนี้

- หน่วยความจำโปรแกรมแบบ FLASH ขนาด 32 กิโลไบต์
- หน่วยความจำข้อมูลแบบ SRAM ขนาด 2 กิโลไบต์
- หน่วยความจำข้อมูลแบบ EEPROM ขนาด 1 กิโลไบต์

- สนับสนุนการเชื่อมต่อบน L2C bus
- พอร์ตอินพุตเอาต์พุตจำนวน 23 บิต
- วงจรสื่อสารอนุกรม
- วงจรนับ/จับเวลาขนาด 8 บิต จำนวน 2 ตัว
- ความถี่ใช้งานสูงสุด 20 MHz

2.8 เทคโนโลยีอาร์เอฟไอดี (RFID Technology)

อาร์เอฟไอดี (RFID) นั้นย่อมาจากคำว่า Radio Frequency Identification หรือระบบชี้เฉพาะอัตโนมัติ (Automatic Identification) แบบไร้สาย (Wireless) เป็นระบบบุกเอกลักษณ์ของวัสดุด้วยคลื่นความถี่วิทยุ โดยจุดเด่นของระบบอาร์เอฟไอดีจะอยู่ที่การอ่านข้อมูลแท็ก (Tag) ได้หลายๆแท็กแบบไร้สัมผัส (Contactless) และสามารถที่จะอ่านค่าได้แม้ในสภาพที่ทัศนวิสัยไม่ดี ทนต่อความเปียกชื้น แรงสั่นสะเทือน การกระทบกระแทก และสามารถอ่านค่าได้ด้วยความเร็วสูง โดยข้อมูลจะถูกเก็บไว้ในไมโครชิป (Microchip) ที่อยู่ในแท็ก ในปัจจุบันได้มีการนำเทคโนโลยีอาร์เอฟไอดีไปประยุกต์ใช้งานด้านอื่นๆ นอกจากการนำมาใช้ในระบบบาร์โค้ด (Barcode) แบบเดิม เช่น การใช้งานในบัตรชนิดต่างๆ อย่างเช่น บัตรสำหรับเข้าออกตามหอพัก เป็นต้น หรืออาจจะเป็นแคปซูล (Capsule) ขนาดเล็กฝังอยู่ในตัวสัตว์เพื่อบันทึกประวัติต่างๆ เป็นต้น

ระบบอาร์เอฟไอดีจะมีองค์ประกอบหลักอยู่ 2 ส่วน โดยส่วนแรกคือทรานสปอนเดอร์หรือแท็ก (Transponder / Tag) ที่ใช้ติดกับวัตถุต่างๆที่ต้องการ โดยแท็กจะทำหน้าที่บันทึกข้อมูลเกี่ยวกับวัสดุชิ้นนั้นๆไว้ และส่วนสองคือ เครื่องสำหรับอ่านหรือเขียนข้อมูลภายในแท็กด้วยคลื่นความถี่วิทยุ (Interrogator / Reader) โดยการทำงานของเครื่องอ่านจะทำหน้าที่จ่ายกำลังงานในรูปคลื่นความถี่วิทยุให้กับตัวบัตริ่งผลให้วงจรอิเล็กทรอนิกส์ (Electronics) ภายในสามารถส่งข้อมูลจำเพาะที่แสดงถึงเอกลักษณ์ (Identity) ของแต่ละบัตรกลับมาประมวลผลตัวอ่านได้

2.8.1 แท็ก (Tag)

แท็ก มาจากคำว่าทรานสมิตเตอร์ (Transmitter) ผสมกับคำว่าเรสปอนเดอร์ (Responder) โดยโครงสร้างภายในของแท็กจะประกอบด้วย 2 ส่วนใหญ่ ได้แก่ ขดลวดเล็กซึ่งทำหน้าที่เป็นสายอากาศ (Antenna) และไมโครชิปซึ่งขดลวดขนาดเล็กที่ทำหน้าที่เป็นสายอากาศนั้นจะใช้สำหรับส่งสัญญาณคลื่นความถี่วิทยุและสร้างพลังงานป้อนให้กับส่วนของไมโครชิป ที่ทำหน้าที่ในการเก็บข้อมูลต่างๆของวัตถุนั้นๆ โดยทั่วไปตัวแท็กอาจจะอยู่ในรูปแบบที่เป็นได้ทั้ง กระดาษ แผ่นฟิล์ม พลาสติก ที่มีขนาดและรูปร่างแตกต่างกันออกไป ทั้งนี้ขึ้นอยู่กับวัสดุที่จะนำมาทำแท็กไปติดไว้และมีได้หลายรูปแบบ เช่น ขนาดเท่าบัตรเครดิต เหรียญ กระดุม ฉลากสินค้า แคปซูล เป็นต้น

2.8.1.1 ประเภทของแท็ก

โดยหลักการนั้นสามารถแบ่งประเภทของแท็กที่มีการใช้งานออกเป็น 2 ชนิดใหญ่ๆ โดยแต่ละชนิดจะมีความแตกต่างกันในแง่ของการใช้งาน ราคา โครงสร้างและหลักการทำงาน ซึ่งสามารถแบ่งแยกออกได้ดังนี้

- แท็กชนิดของแอคทีฟ (active Tag) แท็กชนิดนี้จะต้องอาศัยแหล่งไฟจากแบตเตอรี่ (Battery) ภายนอกเพื่อจ่ายพลังงานให้วงจรภายในนั้นทำงาน เราจะสามารถทั้งอ่านและเขียนข้อมูลลงในแท็กชนิดนี้ได้ และการที่ต้องใช้แบตเตอรี่จึงทำให้แท็กชนิดนี้มีอายุการใช้งานจำกัดตามอายุของแบตเตอรี่ เมื่อแบตเตอรี่หมดก็ต้องนำแท็กไปทิ้ง ไม่สามารถนำกลับมาใช้งานใหม่ได้ แท็กชนิดนี้สามารถมีหน่วยความจำภายในขนาดใหญ่ได้ถึง 1 เมกกะไบต์ (Megabytes) และสามารถอ่านข้อมูลได้ระยะไกลสุดประมาณ 10 เมตร ซึ่งไกลกว่าชนิดพาสซีฟ (passive) อีกทั้งยังมีกำลังส่งสูงและยังสามารถทำงานในบริเวณที่มีสัญญาณรบกวนได้อีกด้วย

- ชนิดพาสซีฟ (Passive Tag) แท็กชนิดนี้ไม่จำเป็นต้องอาศัยแหล่งจ่ายไฟจากภายนอกใดๆ เพราะภายในแท็กจะมีวงจรกำเนิดไฟฟ้าเหนี่ยวนำขนาดเล็กเป็นแหล่งจ่ายไฟในตัว ทำให้การอ่านข้อมูลนั้นทำได้ไม่ไกลมากนัก ระยะอ่านสูงสุดประมาณ 1 เมตร โดยจะขึ้นอยู่กับความแรงของเครื่องส่งและคลื่นความถี่วิทยุที่ใช้ โดยปกติแล้วแท็กชนิดนี้มักมีหน่วยความจำขนาดเล็ก โดยทั่วไปประมาณ 16 ถึง 1024 ไบต์ (bytes) ราคาต่ำกว่าและมีอายุการใช้งานไม่จำกัด แต่ข้อเสียก็คือ ตัวอ่านข้อมูลจะต้องมีความไวสูง และมีปัญหาเมื่อนำมาใช้งานในสิ่งแวดล้อมที่มีสัญญาณแม่เหล็กไฟฟ้าลบกวนอีกด้วย

2.8.2 เครื่องอ่านหรือเขียน (Reader)

หน้าที่ของเครื่องอ่านก็คือการเชื่อมต่อหรือเขียนข้อมูลลงในแท็กด้วยสัญญาณความถี่วิทยุ นอกจากนี้ตัวอ่านข้อมูลที่ดีต้องมีความสามารถในการป้องกันการอ่านข้อมูลซ้ำเช่น ในกรณีที่แท็กถูกวางทิ้งอยู่ในบริเวณสนามแม่เหล็กไฟฟ้าที่ตัวอ่านข้อมูลสร้างขึ้นหรืออยู่ในระยะการรับส่งข้อมูล ก็อาจทำให้ตัวอ่านข้อมูลทำการรับหรืออ่านข้อมูลจากแท็กซ้ำอยู่เรื่อยๆไม่สิ้นสุด ดังนั้นตัวอ่านข้อมูลที่ดีต้องมีระบบป้องกันการเหตุการณ์เช่นนี้ ที่เรียกว่าระบบ “แฮนด์ดาวน์โพลลิง (Hands Down Polling)” โดยตัวอ่านข้อมูลจะสั่งให้แท็กหยุดการส่งข้อมูลในกรณีที่เกิดเหตุการณ์ดังกล่าว หรืออาจมีบางกรณีที่มีแท็กหลายๆแท็กอยู่ในบริเวณสนามแม่เหล็กไฟฟ้าพร้อมกัน หรือที่เรียกว่า “แบชลีดดิ้ง (Batch Reading)” ตัวอ่านข้อมูลควรมีความสามารถที่จะจัดลำดับการอ่านแท็กทีละตัวได้ ซึ่งการชี้เฉพาะระบุตัวแท็กนั้นเป็นระบบอัตโนมัติ (Automatic Identification) โดยภายในเครื่องอ่านจะประกอบด้วยส่วนประกอบหลักดังนี้

- และส่งสัญญาณวิทยุ (Transceiver)
- ภาควิศวกรรมสัญญาณพาหะ (Carrier)
- ขดลวดที่ทำหน้าที่เป็นสายอากาศ
- วงจรจูนสัญญาณ (Tuner)
- หน่วยประมวลผลข้อมูล (Processing Unit)

2.8.3 หลักการเบื้องต้นของอาร์เอฟไอดี

2.8.3.1 เครื่องอ่านอาร์เอฟไอดี จะปล่อยคลื่นแม่เหล็กไฟฟ้าออกมาตลอดเวลาและคอยตรวจจับว่ามีแท็กในบริเวณสนามแม่เหล็กไฟฟ้าหรือไม่ หรืออีกนัยหนึ่งก็คือคอยตรวจจับว่ามีการมอดูเลต (Modulation) สัญญาณเกิดขึ้นหรือไม่

2.8.3.2 เมื่อมีแท็กเข้ามาอยู่ในระยะบริเวณสนามแม่เหล็กไฟฟ้า แท็กจะได้รับพลังงานไฟฟ้าที่เกิดจากการเหนี่ยวนำของคลื่นแม่เหล็กไฟฟ้า เพื่อให้แท็กเริ่มทำงานและจะส่งข้อมูลในหน่วยความจำที่ผ่านการมอดูเลตกับคลื่นพาหะแล้วออกมาทางสายอากาศที่อยู่ภายในแท็ก

2.8.3.3 คลื่นพาหะที่ถูกส่งออกมาจากแท็ก จะเกิดการเปลี่ยนแปลงแอมพลิจูด (Amplitude) ความถี่ หรือเฟสขึ้นอยู่กับวิธีการมอดูเลต

2.8.3.4 เครื่องอ่านอาร์เอฟไอดีจะตรวจจับความเปลี่ยนแปลงของคลื่นพาหะแล้วแปลงออกมาเป็นข้อมูล จากนั้นจะทำการถอดรหัสเพื่อนำข้อมูลไปใช้งานต่อไป

บทที่ 3

ขั้นตอนการดำเนินการ

โครงการนี้เป็นการทำชุดการทดลองที่จอตรอัตโนมัติโดยใช้โปรแกรม Arduino IDE ในการควบคุมโดยทำการค้นคว้ารูปแบบสถานที่จอตรอัตโนมัติแบบ Rotary ถึงชุดขับเคลื่อนระบบขับเคลื่อนขั้นตอนและวิธีการนำรถไปเก็บจากจุดรับรถไปยังสถานที่เก็บรวบรวมไปถึงวิธีการนำไปเก็บของระบบจอตรอัตโนมัติรูปแบบ Rotary แล้วนำไมโครคอนโทรลเลอร์มาประยุกต์ใช้ในการควบคุมชุดจำลองที่จอตรอัตโนมัติ

3.1 แผนการดำเนินงาน

ตารางที่ 3.1 แผนการดำเนินงานของโครงการ

การดำเนินงาน	ระยะเวลาดำเนินงาน (เดือนที่)								
	1	2	3	4	5	6	7	8	9
1.ศึกษาการทำงานของระบบจอตรอัตโนมัติในรูปแบบโรตารี	■	■							
2.ศึกษาการใช้งานบอร์ด Arduino ร่วมกับ โปรแกรม Arduino IDE					■	■	■	■	■
3.ออกแบบฮาร์ดแวร์		■	■	■	■				
4.ออกแบบซอฟต์แวร์		■	■	■	■	■	■	■	■
5.ทดสอบแบบจำลอง							■	■	■
6.จัดทำปฏิญานิพนธ์			■	■	■	■	■	■	■

■ ■ ■ ■ ■ แสดงแผนการดำเนินงาน

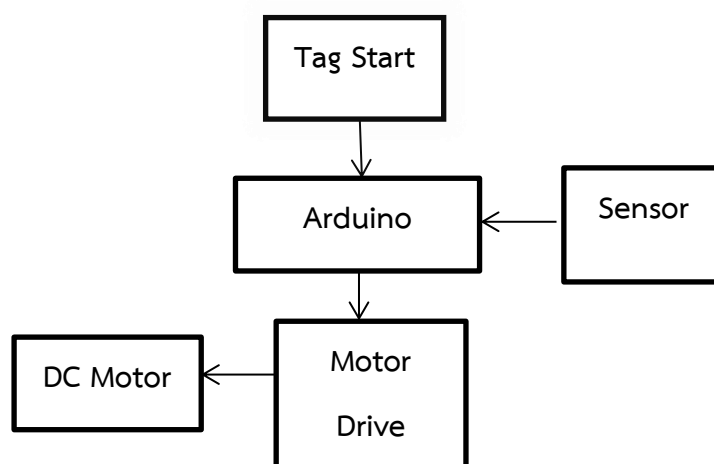
3.1.1 วิธีการดำเนินงาน

3.1.1.1 ศึกษาการค้นคว้าและรวบรวมข้อมูลเกี่ยวกับที่จอตรอัตโนมัติแบบหมุนเป็นวงรี

- 3.1.1.2 ศึกษาการทำงานและวิธีการใช้งานของระบบอัตโนมัติแบบหมุนเป็นวงรี
- 3.1.1.3 ศึกษาการใช้งานโปรแกรม Arduino IDE
- 3.1.1.4 ออกแบบฮาร์ดแวร์
- 3.1.1.5 จัดทำวงจรและติดตั้งอุปกรณ์ที่มีใช้ในการควบคุม
- 3.1.1.6 ออกแบบซอฟต์แวร์ เขียนโปรแกรมที่ใช้ในการควบคุม
- 3.1.1.7 ทดสอบการใช้งานของระบบ แก้ไขข้อบกพร่อง
- 3.1.1.8 สรุปผลการทดลอง

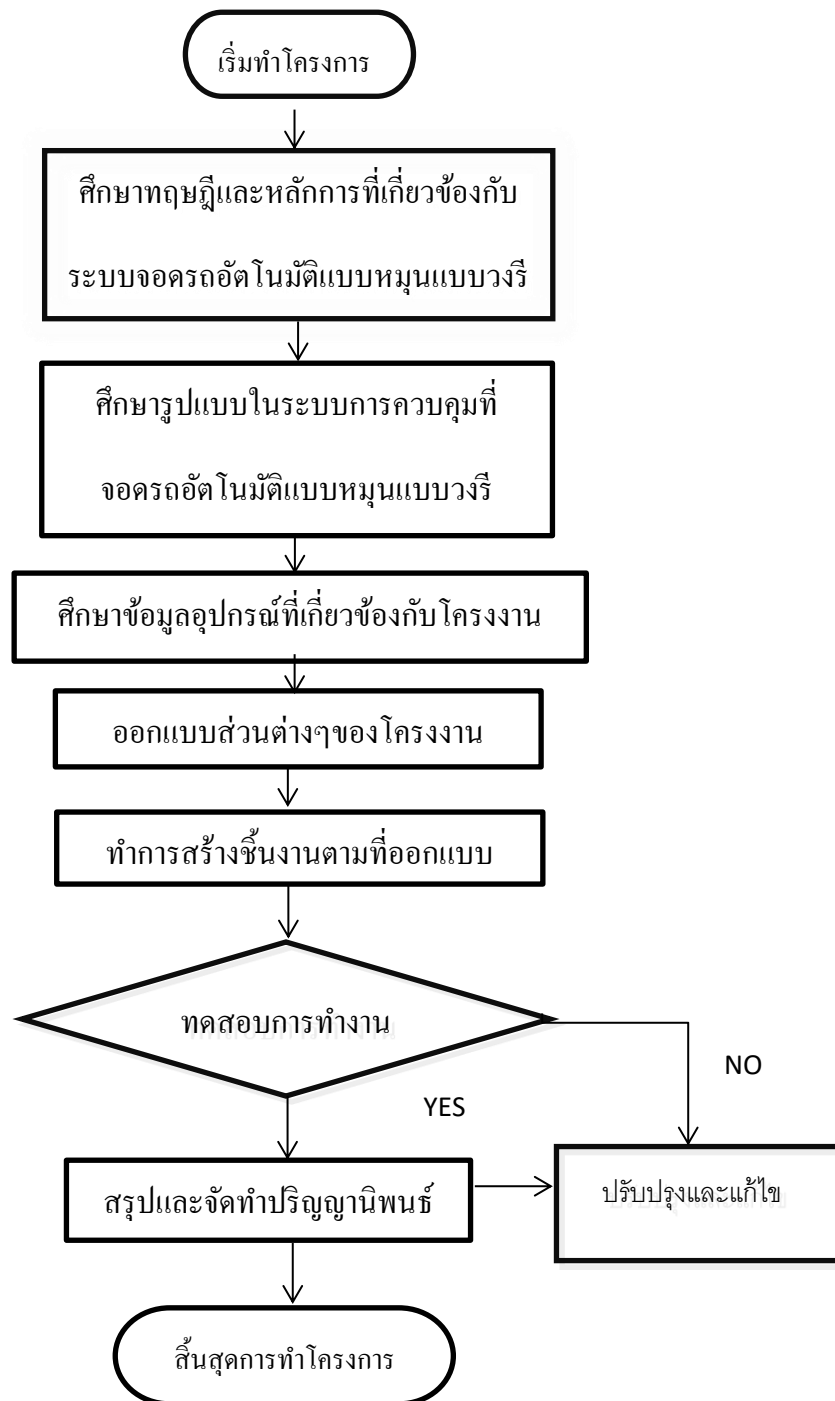
3.2 การออกแบบชุดจำลองระบบจอตลอดอัตโนมัติ

การออกแบบการทำงานชุดจำลองระบบจอตลอดอัตโนมัติ อุปกรณ์หลักที่ใช้ในการออกแบบคือ DC Motor โดยที่ใช้ Arduino UNO R3 เป็นตัวสั่งการ เพื่อไปควบคุมการทำงานของด้านเอาต์พุต คือ DC Motor มอเตอร์จะทำให้ระบบอัตโนมัตินั้นทำงานตามเงื่อนไขที่เราเขียนโปรแกรมลงในโปรแกรม Arduino IDE ได้



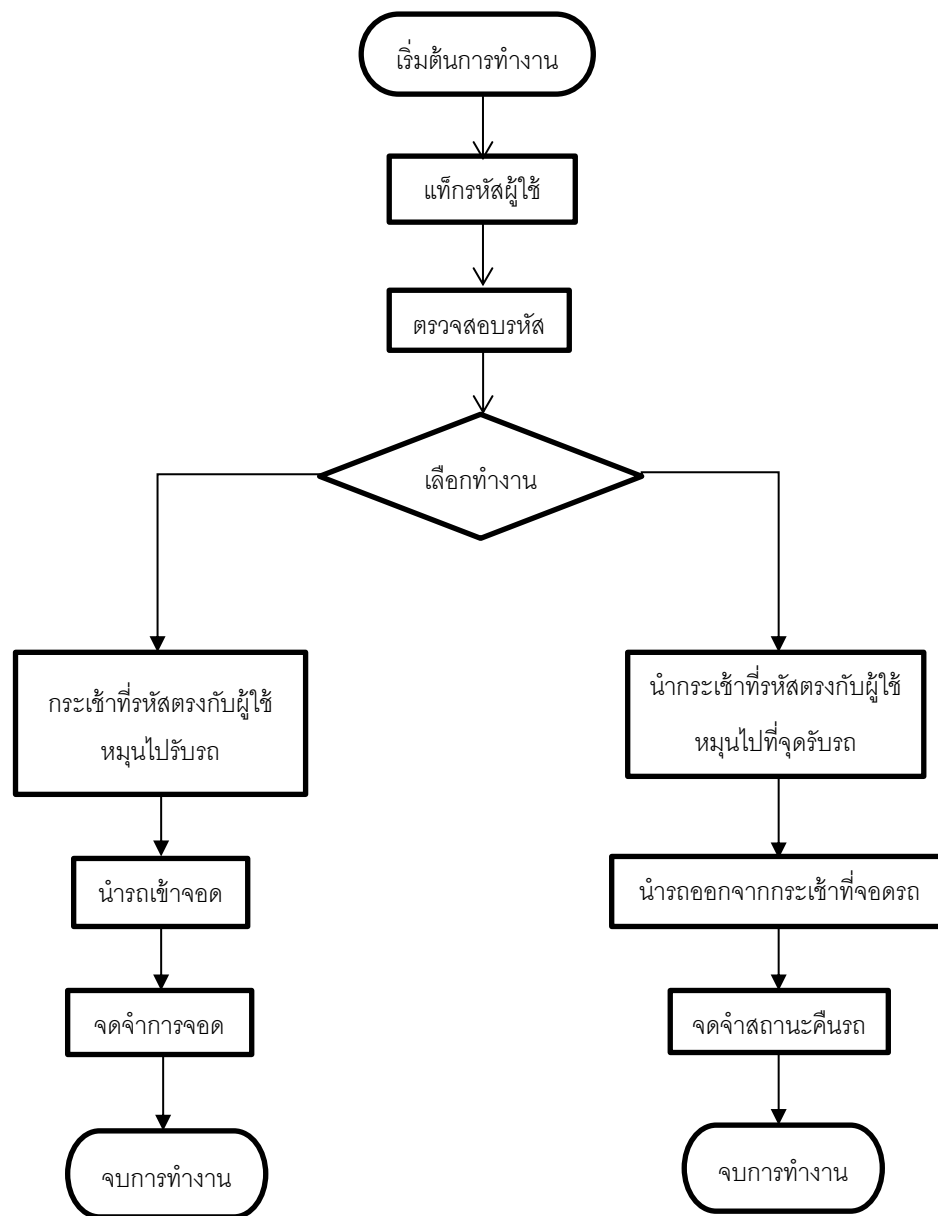
รูปที่ 3.1 การออกแบบการทำงานชุดจำลองระบบจอตลอดอัตโนมัติแบบ Rotary

3.2.1 แผนการดำเนินงานของโครงการ



รูปที่ 3.2 แผนการดำเนินงานทั้งหมด

3.2.2 ระบบการทำงานที่จอตลอดโนมิติ



รูปที่ 3.3 การทำงานทั้งหมด

3.2.4 อุปกรณ์ที่เลือกใช้

3.2.4.1 มอเตอร์ในส่วนชุดรับรถขึ้น -ลง

ขนาดของมอเตอร์ที่จะนำมาใช้ในการหมุนเพื่อขับโหลต และการเลือกความเร็วที่ต้องการในการหมุนรับรถ จากการหาน้ำหนักของฐานชุดหมุนรับรถจำลองหนัก 0.2 กิโลกรัมต่อ 1 กระเช้า ออกแบบสามารถรับน้ำหนักโหลตได้ 0.3 กิโลกรัมต่อ 1 กระเช้า รวมน้ำหนักดั่งนั้นถ้า 6 กระเช้ารวม น้ำหนักของโหลตจะได้ 1.8 กิโลกรัม ดุมเฟืองหนัก 2 กิโลกรัม เพลาหนัก 3 กิโลกรัม โซ่หนัก 3 กิโลกรัม เพราะฉะนั้น กระเช้า เพลา ดุมเฟือง โซ่ หนักรวม 9.8 กิโลกรัม เส้นผ่านศูนย์กลางของเพลา โซ่ เท่ากับ 2 เซนติเมตร รัศมี เท่ากับ 1 เซนติเมตร

- การคำนวณหาแรงบิด (Torque) ของมอเตอร์ในส่วนชุดหมุนรับรถขึ้น – ลง

จากสมการ $T = F \times r$ (3.1)

$$F = m \times g \quad (3.2)$$

เมื่อ

$$F = 9.8 \text{ Kg} \times 9.81 \text{ m/s}^2$$

$$= 96.138 \text{ N} \cdot \text{m}$$

$$r = 0.01 \text{ m}$$

$$T = 96.138 \times 0.01$$

$$= 0.96138 \text{ N} \cdot \text{m}$$

∴ แรงบิดมอเตอร์ในส่วนชุดหมุนรับรถขึ้น – ลง เท่ากับ 0.96138 นิวตันเมตร

เมื่อชุดรับรถมีโซ่ 48 ข้อ และเฟืองมี 38 ฟันหมุนจากกระเช้าแรกถึงกระเช้าสุดท้าย ต้องการใช้เวลา 7 วินาที โดย 1 กระเช้า ใช้เวลาหมุน 1.16 วินาที จะได้

$$\frac{48}{38} = 1.26315 \quad \text{รอบ}$$

$$= \frac{1.26315}{7} \times 60$$

$$N = 10.82706 \quad \text{รอบ/นาที}$$

∴ จะได้รอบของมอเตอร์เท่ากับ 10.82706 รอบ/นาที แทนค่าด้วย N

การคำนวณหาค่ากำลังไฟฟ้าของมอเตอร์

จากสมการ

$$P = 2\pi \times T \times N \quad (3.3)$$

$$T = 0.96138 \text{ N}\cdot\text{m}$$

$$N = 10.82706 \text{ รอบ/นาที}$$

$$\begin{aligned} P &= 2\pi \times 0.96138 \times 10.82706 \\ &= 65.42749 \end{aligned}$$

วัตถุประสงค์การคำนวณหากระแสไฟฟ้าของมอเตอร์ (ต้องการใช้แรงจ่าย 12 V)

จากสมการ

$$I = \frac{P}{E} \quad (3.4)$$

$$\begin{aligned} I &= \frac{65.42749 \text{ W}}{12 \text{ V}} \\ &= 5.45229 \text{ A} \end{aligned}$$

∴ กระแสไฟฟ้าของมอเตอร์ในส่วนชุดรับรถ เท่ากับ 5.45229 แอมแปร์

จากผลการคำนวณน้ำหนักที่มอเตอร์ต้องรับภาระคือ 9.8 กิโลกรัม จึงเลือกใช้ DC มอเตอร์ 12 โวลต์ 2 แอมแปร์ 110 รอบ/นาที ที่มีความสามารถรับโหลดได้ 60 กิโลกรัม



รูปที่ 3.4 มอเตอร์เกียร์ที่เลือกใช้

ที่มา: http://www.robotpark.com.tr/image/cache/data/PRO/93262/93262_01-700x700.jpg

เมื่อความเร็วรอบมอเตอร์ 110 รอบ/นาที จะได้เวลาของการหมุนครบ 1 รอบ

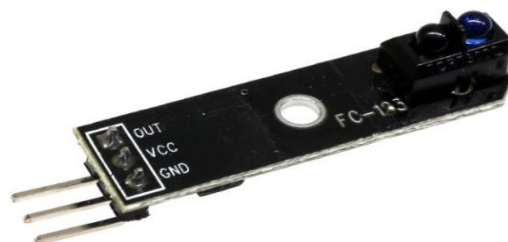
- การคำนวณหาเวลาที่ครบ 1 รอบ

$$\begin{aligned}
 &= \frac{\text{จำนวนรอบมอเตอร์ 1 รอบการทำงาน} \times \text{เวลา}}{\text{ความเร็วรอบ}} & (3.5) \\
 &= \frac{1.26315 \times 60}{2.5} \\
 &= 50.525664 \quad \text{วินาที}
 \end{aligned}$$

∴ ที่ความเร็วมอเตอร์ 2.5 รอบ/นาที จะใช้เวลา 50.53 วินาที ในการหมุนครบ 1 รอบ

3.2.4.2 เซนเซอร์ชนิดใช้แสง (Optical Sensor)

เลือกใช้เซนเซอร์ชนิดใช้แสงเพื่อใช้ตรวจจับวัตถุที่เป็นโลหะและอโลหะได้ การประยุกต์ใช้งานใช้ตรวจจับตำแหน่งแทนตัวลิมิตสวิตช์ ที่เลือกใช้เนื่องจากเป็นเซนเซอร์ที่มีความเล็กกะทัดรัด เหมาะสมกับชิ้นงาน เป็นการประหยัดพื้นที่ในการติดตั้ง

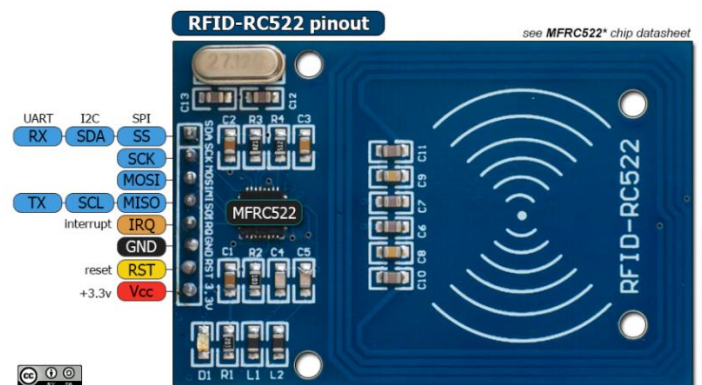


รูปที่ 3.5 track trace module infrared tracking probe 5000 tracking tracing sensor black and white line detection

ที่มา: <http://g01.a.alicdn.com/kf/HTB1ZU4pKXXXXa5XpXXq6xxFXXXP/Robot-1-Channel-font-b-Tracing-b-font-font-b-Tracking-b-font-Sensor-Module-Smart.jpgon>

3.2.4.2 NFC (Near Field Communication)

เลือกใช้อาร์เอฟไอดี เพื่อใช้ยืนยันรหัสผู้ใช้งาน โดยการแท็กบัตรเพื่อเรียกกระเช้ามายังจุดรับรถ ที่เลือกใช้เนื่องจากเป็นระบบไร้สายที่มีความเหมาะสมกับชิ้นงานและง่ายต่อการใช้งาน



รูปที่ 3.6 RFID module RC522

ที่มา: <http://img.olx.com.br/images/13/131716017415567.jpg>

3.3 ขั้นตอนการดำเนินงาน

ขั้นตอนการสร้างชุดจำลองนี้จะแบ่งเป็น 2 ส่วน คือ ส่วนของโครงสร้างและส่วนของโปรแกรม โดยมีวิธีการดำเนินงานดังต่อไปนี้

3.3.1 ส่วนโครงสร้าง

หลังจากที่ได้ออกแบบโครงสร้างในโปรแกรม Solid Works แล้วจึงทำการจัดทำโครงสร้างขึ้นดังนี้

3.3.1.1 ตัดแท่งเหล็กทำโครงที่จ่อตรงขนาดความสูง 70.5 เซนติเมตร กว้าง 30 เซนติเมตร ขนาดเหล็ก 3 × 3 เซนติเมตร

3.3.1.2 เชื่อมเหล็กทำโครงที่จ่อตรง จำนวน 2 อัน

3.3.1.3 นำถาดมาเชื่อมด้านข้าง 2 จุดและนำโครงมาประกอบเข้าด้วยกัน

3.3.1.4 นำน็อตมาเชื่อมกับโครงกระเช้า และนำแกนเหล็กขนาดยาว 21 เซนติเมตรมายึดติด

กับนี้อย

3.3.1.5 นำคัมเฟืองไปกลึงเพื่อใส่ลูกปืนที่มีขนาดความโตเท่ากับเพลลาซึ่งมีขนาดเส้นผ่านศูนย์กลางขนาด 2 เซนติเมตร และหาซื้อตุ๊กตาที่มีขนาดเท่ากับเพลลา

3.3.1.6 นำตุ๊กตา เพลลา คัมเฟืองมาประกอบใส่โซ่ทั้ง 2 ข้าง พร้อมติดแกนเพื่อไว้แขวนกระเช้าแล้วนำกระเช้ามาแขวน

3.3.1.7 นำกระเช้ามาประกอบจนครบ 6 กระเช้า และนำมอเตอร์มาติดตั้งพร้อมใส่เฟืองและโซ่เพื่อขับเพลลาของทุกกระเช้า ฟันสีใหม่เพื่อความสวยงาม

3.3.1.8 ต่อบางจรควบคุมเข้ากับมอเตอร์ โดยการต่อแหล่งจ่ายไฟขนาด 12 V เข้าบอร์ดชุดขับมอเตอร์ และต่อไมโครคอนโทรลเลอร์เข้ากับชุดขับมอเตอร์เพื่อใช้ควบคุมมอเตอร์ให้หมุน แล้วใช้เซนเซอร์เป็นอินพุตเข้าไมโครคอนโทรลเลอร์เซนเซอร์

3.4 วิธีการทดสอบ

3.4.1 ทดสอบมอเตอร์เกียร์ 110 rpm โดยการป้อนแรงดันไฟฟ้าขนาด 12 โวลต์ เข้าที่มอเตอร์ โดยผ่านชุด ไดรฟ์มอเตอร์ เพื่อทดสอบการหมุนของมอเตอร์

3.4.2 ทดสอบ Optical Sensor เซนเซอร์ที่ใช้ติดตั้งจะมี 1 ตัว จะติดตั้งไว้ข้างจูดรับกระเช้ารถเบอร์ 1 โดยใช้รับกระเช้ารับรถ

3.4.3 ทดสอบความเร็วของกระเช้า โดยใช้ ไมโครคอนโทรลเลอร์ ควบคุมการทำงาน

3.4.4 ทดสอบเริ่มต้นการทำงาน โดยการแก้กับัตรรหัสผู้ใช้ เพื่อสั่งการมอเตอร์ให้หมุนนำกระเช้ามายังรับรถ

3.4.5 ทดสอบนำรถเข้าจอดทำการทดสอบว่าเมื่อมีกระเช้าว่าง รถจะเข้ามาจอดได้หรือไม่

3.4.6 ทดสอบนำรถออก เมื่อมีข้อมูลส่งมาให้รถออก รถจะสามารถออกตรงตามเงื่อนไขได้หรือไม่

3.4.7 ทดสอบเมื่อที่จอดรถเต็ม ทำการทดสอบว่าจะสามารถเข้าไปจอดได้อีกหรือไม่

3.4.8 ทดสอบการใช้พลังงานของมอเตอร์

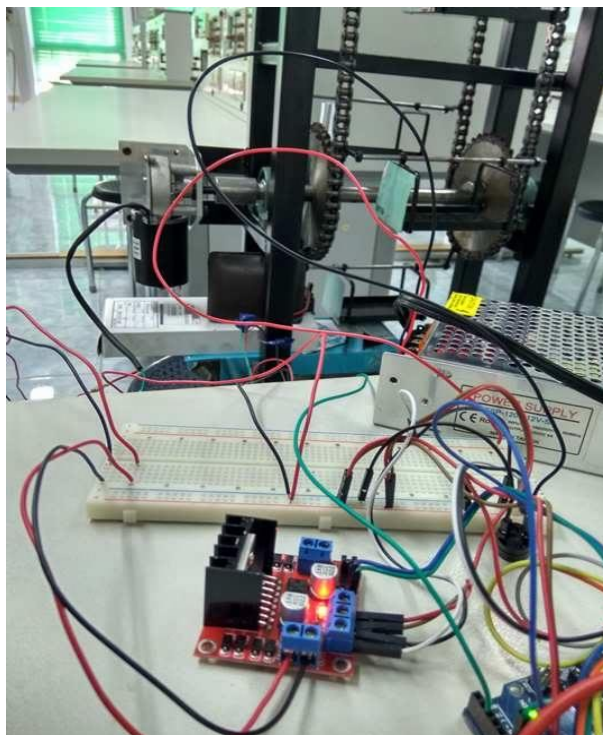
บทที่ 4

ผลการทดสอบ

ในการศึกษาระบบจอตารถอัตโนมัติ โดยใช้ ไมโครคอนโทรลเลอร์ มาควบคุมการทำงานของกลไกต่างๆในระบบ โดยบันทึกข้อมูลที่ทำกรทดลองได้ มาเปรียบเทียบดูความคลาดเคลื่อนของตำแหน่งจอตารถในแต่ละครั้ง และดูค่ากระแสไฟฟ้า แรงดันไฟฟ้าและกำลังไฟฟ้า เพื่อหาสาเหตุของปัญหาที่เกิดขึ้นซึ่งอาจเกิดได้ทั้งที่ตัวโครงสร้างหรือที่ตัวโปรแกรมเอง

4.1 การทดสอบมอเตอร์และชุดขับมอเตอร์

ดีซีมอเตอร์ ทำงานที่แรงดัน 12 V 110 rpm ทดสอบโดยใช้ ไมโครคอนโทรลเลอร์ มาควบคุมการทำงาน ทดสอบแรงดันของการหมุนผ่านชุดไดร์ควบคุมมอเตอร์ขณะทำงานในกระแสเข้าของที่จอตกรถอัตโนมัติดังรูป

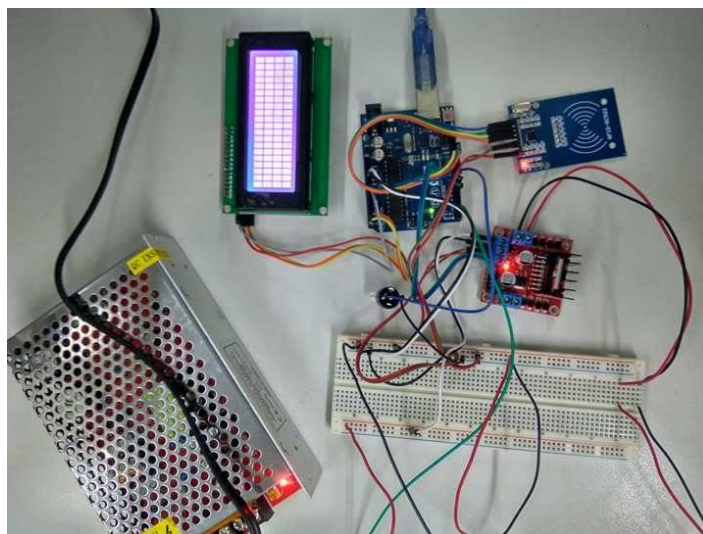


รูปที่ 4.1 วงจรมอเตอร์

ผลการทดสอบแรงดันที่ได้คือ ทดสอบการหมุนได้โดยป้อนแรงดันที่ +12 V ผ่านชุดไดร์มอเตอร์ มอเตอร์สามารถหมุนปกติ

4.2 การทดสอบความเร็วในการนำรถเข้าและนำรถออกโดยใช้ Microcontroller

การทดสอบจับเวลาในการนำรถเข้าและนำรถออก โดยจะใช้ Microcontroller ทดสอบการหมุนทางเดียวของมอเตอร์ จะเป็นการจับเวลาการทำงานในส่วนของการนำรถเข้าและการนำรถออก โดยแท็กบัตรผู้ใช้ผ่าน NFC เพื่อเรียกกระแสเข้าที่จะนำรถเข้าหรือนำรถออก



รูปที่ 4.2 วงจรการควบคุมที่จอดรถอัตโนมัติโดยใช้ Microcontroller

ตารางที่ 4.1 เวลาเฉลี่ยของการนำรถเข้าจอดแบบทางเดียวโดยใช้ Microcontroller

ตำแหน่งนำรถเข้า (จุดเริ่มต้นที่กระเช้าที่1)	มอเตอร์หมุนทางเดียว	
	เวลา (sec)	กำลังไฟฟ้า (W)
1	0.00	0,00
2	1.44	2.92
3	2.27	2.99
4	3.32	2.67
5	4.85	2.86
6	5.93	2.90

ผลการทดลองเวลาในเคลื่อนที่ของแต่ละกระเช้าเฉลี่ยเท่ากับ 2.96 และมีค่ากำลังไฟฟ้าเฉลี่ยเท่ากับ 2.39

4.3 การทดสอบเซนเซอร์

ทดสอบเซนเซอร์ว่ามีการนับกระเช้าได้ถูกต้องหรือไม่



รูปที่ 4.3 การทดสอบการตรวจจับกระเช้าของเซนเซอร์

กระเช้ามีการตรวจนับกระเช้าได้ถูกต้อง และเนื่องจากไมโครคอนโทรลเลอร์ไม่สามารถรับแรงดัน 12 V จากพาวเวอร์ซัพพลายได้ จึงมีการลดแรงดันจากวงจรให้เหลือ 5 V โดยใช้แหล่งจ่ายจากคอมพิวเตอรืแทน

4.4 การทดสอบเวลาของการนำรถเข้าและออก

การทดสอบจับเวลาในการนำรถเข้าและนำรถออกแต่ละครั้งจะเป็นการจับเวลาการทำงานใน ส่วนของการนำรถไปจอดยังตำแหน่งกระเช้า และการจับเวลาการนำรถออกที่จุดรับรถทั้งหมด 6 ตำแหน่ง โดยการวัดแรงดันของแต่ละกระเช้าผ่านโวลมิเตอร์



รูปที่ 4.4 การทดสอบแรงดันและคาบเวลาของกระเช้าที่ 3 ไปกระเช้าที่ 4

จากรูปที่ 4.4 จะเห็นว่าการเคลื่อนที่ของกระเช้ามีทิศทางที่ทวนเข็มนาฬิกา
ทำการทดสอบจับเวลาทั้งหมด 10 ครั้ง เพื่อนำมาหาค่าเวลาเฉลี่ยในการจอดรถในแต่ละ
ตำแหน่ง และทำการวิเคราะห์หาสาเหตุของปัญหาที่เกิดขึ้นในการทดสอบ โดยจะทำการบันทึกค่าลงใน
ตารางที่ 4.3 และตารางที่ 4.5 ดังต่อไปนี้

ตารางที่ 4.2 เวลานำรถเข้าจอด (จุดเริ่มต้นที่กระเช้าที่ 1 เสมอ)

ครั้งที่	นำรถจากตำแหน่งที่ 1 ไปจอดตามหมายเลขกระเช้า (วินาที)					
	1	2	3	4	5	6
1	0	1.32	2.03	3.32	4.59	6.01
2	0	1.26	2.61	3.77	4.92	5.63
3	0	1.72	2.61	3.60	4.69	5.57
4	0	1.01	2.30	3.30	5.02	6.23
5	0	1.29	2.50	3.46	4.41	5.53
6	0	1.12	2.33	3.21	4.99	5.89

ตารางที่ 4.2 เวลานำรถเข้าจอด (จุดเริ่มต้นที่กระเช้าที่ 1 เสมอ) (ต่อ)

ครั้งที่	นำรถจากตำแหน่งที่ 1 ไปจอดตามหมายเลขกระเช้า (วินาที)					
	1	2	3	4	5	6
7	0	1.33	2.45	3.57	4.55	5.90
8	0	1.21	2.35	3.60	4.90	5.55
9	0	1.10	2.01	3.33	4.89	5.70
10	0	1.05	2.68	3.49	4.56	5.81
เฉลี่ย	0	1.24	2.39	3.47	4.75	5.78

ตารางที่ 4.3 เวลาเฉลี่ยของการเข้าจอดรถต่อ 1 กระเช้า

กระเช้า	เวลา (วินาที)
1-2	1.24
2-3	1.15
3-4	1.08
4-5	1.28
5-6	1.03
เฉลี่ย	1.16

จากการทดสอบเวลาโดยเฉลี่ยของการเคลื่อนที่ของกระเช้าหมุนรับรถ 1 กระเช้านั้นจะใช้เวลาเฉลี่ยอยู่ที่ 1.16 วินาที

ตารางที่ 4.4 เวลานำรถออก (จุดเริ่มต้นที่กระเช้าที่ 1 เสมอ)

ครั้งที่	นำรถจากตำแหน่งที่ 1 ไปจอดตามหมายเลขกระเช้า (วินาที)					
	1	2	3	4	5	6
1	0	1.02	2.09	3.20	4.42	5.55
2	0	1.45	2.44	3.45	4.67	5.58

ตารางที่ 4.4 เวลานำรถออก (จุดเริ่มต้นที่กระเช้าที่ 1 เสมอ) (ต่อ)

ครั้งที่	นำรถจากตำแหน่งที่ 1 ไปจอดตามหมายเลขกระเช้า (วินาที)					
	1	2	3	4	5	6
3	0	1.32	2.60	3.72	4.88	6.01
4	0	1.22	2.51	3.41	4.59	6.00
5	0	1.25	2.54	3.30	4.82	5.81
6	0	1.34	2.08	3.66	4.77	5.98
7	0	1.08	2.28	3.64	4.76	5.76
8	0	1.12	2.14	3.21	4.47	5.60
9	0	1.27	2.21	3.33	4.76	5.58
10	0	1.02	2.41	3.52	4.43	5.55
เฉลี่ย	0	1.21	2.33	3.44	4.66	5.74

ตารางที่ 4.5 เวลาเฉลี่ยของการนำรถออกต่อ 1 กระเช้า

กระเช้า	เวลา (วินาที)
1-2	1.21
2-3	1.12
3-4	1.11
4-5	1.22
5-6	1.08
เฉลี่ย	1.15

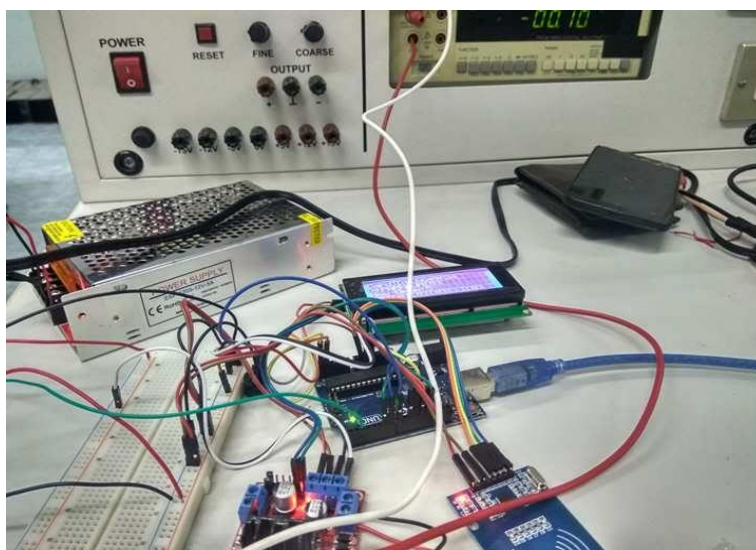
จากการทดสอบเวลาโดยเฉลี่ยของการเคลื่อนที่ของกระเช้าหมุนนำรถออก 1 กระเช้านั้นจะใช้เวลาเฉลี่ยอยู่ที่ 1.15 วินาที

จากการทดสอบจับเวลาในการรับและส่งรถในตารางที่ 4.3 และตารางที่ 4.5 จะนำเวลาเฉลี่ยทั้งหมดของการนำรถไปจอดกับเวลาเฉลี่ยทั้งหมดของการนำรถมาคืน เพื่อนำมาเปรียบเทียบว่าเวลาใกล้เคียงกันหรือไม่ดังนี้

ผลการทดลองเวลาเฉลี่ยในการนำรถเข้าจอดเท่ากับ 1.16 และเวลาเฉลี่ยในการนำรถออกเท่ากับ 1.15 จะเห็นได้ว่ามีเวลาเฉลี่ยที่ใกล้เคียงกันมาก เนื่องจากการนำรถเข้าและจอดมีรูปแบบการเรียกกระเช้าที่เหมือนกันต่างกันเพียงนำรถเข้าหรือนำรถออก

4.5 ผลการทดสอบกระแสและแรงดันของชุดรับรถที่เคลื่อนที่ในแนวตั้ง

การทดสอบการวัดค่ากระแสและแรงดันของชุดรับรถที่เคลื่อนที่ในแนวตั้ง คือการเคลื่อนที่ขึ้นและลงของชุดกระเช้ารับรถ ตามความสูงทั้งหมด 65 เซนติเมตร ทำการทดสอบทั้งหมด 10 ครั้ง โดยวัดค่ากระแสและค่าแรงดันในการทำงานในแต่ละครั้งของชุดรับรถที่เคลื่อนที่ เพื่อนำมาหาค่าเฉลี่ยของกระแสและแรงดันที่เกิดขึ้น และทำการวิเคราะห์สาเหตุของปัญหาที่เกิดขึ้น โดยใช้โหลดที่มีน้ำหนัก 1.8 กรัม ทั้งหมด 6 กระเช้า



รูปที่ 4.5 การทดสอบวัดค่ากระแสและแรงดัน

ตารางที่ 4.6 ทดสอบวัดค่ากระแสและแรงดันของชุดรับรถที่เคลื่อนที่ในแนวตั้ง

ครั้งที่	กระแส (A)		แรงดัน (V)		กำลังไฟฟ้า (W)	
	มีโหลด	ไม่มีโหลด	มีโหลด	ไม่มีโหลด	มีโหลด	ไม่มีโหลด
1	1.12	1.47	3.61	3.84	4.04	5.64
2	1.23	1.01	3.62	3.81	4.45	3.86
3	1.02	1.48	3.78	3.92	3.86	5.80
4	1.34	1.33	4.09	3.99	5.48	5.31
5	1.22	1.11	4.12	4.21	5.03	4.67

ตารางที่ 4.6 ทดสอบวัดค่ากระแสและแรงดันของชุดรับรถที่เคลื่อนที่ในแนวตั้ง (ต่อ)

ครั้งที่	กระแส (A)		แรงดัน (V)		กำลังไฟฟ้า (W)	
	มีโหลด	ไม่มีโหลด	มีโหลด	ไม่มีโหลด	มีโหลด	ไม่มีโหลด
6	0.95	1.45	4.02	4.08	3.82	5.92
7	1.04	1.55	3.89	4.01	4.04	6.21
8	0.98	1.03	3.76	4.14	3.68	4.26
9	0.99	1.25	3.91	3.97	3.87	4.96
10	1.09	1.24	3.99	3.90	4.35	4.84
เฉลี่ย	1.10	1.29	3.88	3.99	4.26	5.15

จากการทดสอบวัดค่ากระแสและแรงดันของชุดรับรถที่เคลื่อนที่ในแนวตั้ง นำผลที่ได้จากตารางที่ 4.6 ได้ค่ากระแสเฉลี่ยตั้งแต่ 1.10 ถึง 1.29 แอมป์ ได้ค่าแรงดันเฉลี่ยตั้งแต่ 3.88 ถึง 3.99 โวลต์ ได้นำมาหาค่ากำลังไฟฟ้าเฉลี่ยตั้งแต่ 4.26 ถึง 5.15 วัตต์ ซึ่งมอเตอร์ดีซีเกียร์ 110 rpm สามารถรับภาระได้เนื่องจากมอเตอร์ตัวนี้มีพิกัดกระแส 2 แอมป์ พิกัดแรงดัน 12 โวลต์ พิกัดกำลังไฟฟ้า 120 วัตต์ สาเหตุที่การวัดค่ากระแสกับแรงดันได้ค่าไม่คงที่ มีสาเหตุมาจากส่วนที่มีการเสียดสีมากคือ เกิดจากชุดเฟือง ทำให้เกิดความไม่เสถียรของโครงสร้างจึงส่งผลให้กระแสและแรงดันที่วัดค่าได้ไม่คงที่

4.6 การทดสอบความคลาดเคลื่อน

การทดสอบความคลาดเคลื่อนของตำแหน่งจอดรถ จะแบ่งการทดสอบออกเป็น 2 แบบ คือ การทดสอบการสูมนำรถเข้าและการทดสอบการสูมนำรถออกทั้งหมด 10 ครั้ง เมื่อทดสอบครบทุกตำแหน่งถือเป็น 1 ครั้งและจะนำผลที่ได้มาหาค่าเปอร์เซ็นต์ความคลาดเคลื่อน

ตารางที่ 4.7 การทดสอบความคลาดเคลื่อนของการนำรถเข้าแบบสูม

ครั้งที่	กระเช้าปัจจุบัน (มีรถจอดอยู่)	นำรถเข้า	ผลที่ได้
1	1,5,6	2	กระเช้าที่ 1,2,5,6 มีรถจอดอยู่
2	2,4,5	1,3	กระเช้าที่ 1,2,3,4,5 มีรถจอดอยู่
3	1,6	2	กระเช้าที่ 1,2,6 มีรถจอดอยู่

ตารางที่ 4.7 การทดสอบความคลาดเคลื่อนของการนำรถเข้าแบบสุ่ม (ต่อ)

ครั้งที่	กระเช้าปัจจุบัน (มีรถจอดอยู่)	นำรถเข้า	ผลที่ได้
4	2,4,5,6	1,3	ทุกกระเช้ามีรถจอดอยู่
5	1,2,4,5,6	3	ทุกกระเช้ามีรถจอดอยู่
6	2,5,6	1	กระเช้าที่ 1,2,5,6 มีรถจอดอยู่
7	0	3,4,5	กระเช้าที่ 3,4,5 มีรถจอดอยู่
8	3,4,5	1,2	กระเช้าที่ 1,2,3,4,5 มีรถจอดอยู่
9	1,4,6	2,3	กระเช้าที่ 1,2,3,4,6 มีรถจอดอยู่
10	0	2	กระเช้าที่ 2 มีรถจอดอยู่
4	2,4,5,6	1,3	ทุกกระเช้ามีรถจอดอยู่

ตารางที่ 4.8 การทดสอบความคลาดเคลื่อนของการนำรถออกแบบสุ่ม

ครั้งที่	กระเช้าปัจจุบัน (มีรถจอดอยู่)	นำรถออก	ผลที่ได้
1	1,5,6	5,6	กระเช้าที่ 1 มีรถจอดอยู่
2	2,4,5	4	กระเช้าที่ 2,5 มีรถจอดอยู่
3	1,6	1,6	ทุกกระเช้าว่าง
4	2,4,5,6	2,5,6	กระเช้าที่ 4 มีรถจอดอยู่
5	1,2,4,5,6	2,4	กระเช้าที่ 1,5,6 มีรถจอดอยู่
6	2,5,6	2,5,6	ทุกกระเช้าว่าง
7	1,2	2	กระเช้าที่ 1 มีรถจอดอยู่
8	1,2,3,4,5,6	1,2,3,4,5,6	ทุกกระเช้าว่าง
9	2,3,4,5,6	2,3	กระเช้าที่ 4,5,6 มีรถจอดอยู่
10	1,2,3,4	1,3,4	กระเช้าที่ 2 มีรถจอดอยู่

จากการทดลองใช้ไมโครคอนโทรลเลอร์ประมวลผลจากการทำงานตั้งแต่เริ่มต้น ได้ทำการทดสอบการนำรถเข้าและการนำรถออกแบบสุ่มทั้งหมด 10 ครั้ง พบว่าระบบมีการทำงานที่ถูกต้องตรงตามตำแหน่งที่คาดไว้ดังตารางที่ 4.7 และตารางที่ 4.8

4.7 การทดสอบอื่นๆ

การทดสอบโปรแกรม จะทำการทดสอบเป็นตำแหน่งโดยนำรถไปจอดที่จุดรับรถจากนั้นระบบจะนำรถไปจอดยังตำแหน่งที่ต้องการ เมื่อต้องการนำรถคืนระบบก็จะนำรถมาคืนที่จุดรับรถเสมอ โดยจะทำการทดสอบ 6 ตำแหน่งดังนี้

ตารางที่ 4.9 การทดสอบการทำงานอื่นๆของระบบ

การทดสอบ	ผลการทดสอบ
ทดสอบเริ่มต้นการทำงาน - จ่ายไฟเข้าสู่ระบบ	ระบบมีการส่งสถานะขึ้นที่ LED เพื่อรอคำสั่งรหัสผู้ใช้งาน
ทดสอบนำรถคันแรกเข้าจอด - แท้กับตรผู้ใช้ที่ต้องการ	ระบบจะมีการตรวจสอบรหัสบัตรผู้ใช้แล้วเคลื่อนที่กระเช้าที่ตรงกับรหัสผู้ใช้อย่างจุดเริ่มต้น
ทดสอบเมื่อที่จอดรถเต็ม - นำรถเข้าจอดจนครบ 6 กระเช้า	ระบบมีการแจ้งสถานะที่ LED ว่าเต็ม

บทที่ 5

บทสรุป

5.1 คำนำ

โครงการวิศวกรรมนี้ มีจุดประสงค์เพื่อออกแบบรูปแบบการจำลองที่จอดรถอัตโนมัติโดยอาศัยหลักการทำงานของไมโครคอนโทรลเลอร์ เพื่อใช้ในการประมวลผลการสั่งการมอเตอร์ ให้หมุนกระเช้าเพื่อมารับรถที่จะนำมาจอดและใช้ระบบ อาร์เอฟไอดี (RFID) ในการรวบตัวบัตรที่ผู้ใช้งาน ซึ่งเป็นระบบไร้สายที่เหมาะสมกับชิ้นงานและงานต่อการใช้งาน ทางคณะผู้จัดทำได้ทำการสรุปผลการทดลองและรวบรวมปัญหาต่างๆที่เกิดขึ้นระหว่างการทดลองเพื่อให้ผู้ที่สนใจเกี่ยวกับโครงการนี้นำไปประยุกต์ใช้และพัฒนาต่อไป

5.2 สรุป

จากผลการทดลองทำการควบคุมการทำงานของแบบจำลองที่จอดรถอัตโนมัติแบบโรตารีกระเช้าแต่ละกระเช้ามีการเคลื่อนที่ห่างกันประมาณ 1 วินาที และมีการเคลื่อนที่วนลูปในทิศทางทวนเข็มนาฬิกา และเมื่อทำการทดสอบการจดจำตำแหน่งเข้าออกของรถในแต่ละกระเช้าในแบบสุ่มพบว่าระบบมีการจดจำได้โดยในแต่ละสถานะจะระบุขึ้นที่จอ LED โดยจากผลการทดลองแล้วจึงสรุปได้ว่าโครงการนี้สำเร็จได้ลุล่วงตามวัตถุประสงค์และขอบเขตที่กำหนดไว้

5.3 ปัญหาและข้อเสนอแนะ

ในขณะที่ทำการทดลองคณะผู้จัดทำได้พบปัญหา ระหว่างทำการทดลองซึ่งคณะผู้จัดทำได้ทำการสรุปปัญหาและข้อเสนอแนะดังนี้

ในส่วนของไมโครคอนโทรลเลอร์ อาร์เอฟไอดี ต้องเสียเวลานานมากในการศึกษาข้อมูลเนื่องจากต้องศึกษาการทำงานของระบบต่างๆให้มีความเข้าใจอย่างลึกซึ้งและต้องเขียนโปรแกรมการทำงานให้มีความสัมพันธ์กัน ดังนั้นจึงเสนอแก่ผู้ที่จะนำไปศึกษาต่อ ควรที่จะศึกษาเนื้อหาเกี่ยวกับ Arduino ให้ดีก่อนหรือควรมีพื้นฐานที่ค่อนข้างดี จึงจะช่วยลดระยะเวลาการทำงานให้สั้นลง

ในส่วนของกรอบโครงของรูปแบบการจำลองที่จอดรถอัตโนมัติต้องออกแบบให้มีสัดส่วนที่พอดีกับจำนวนกระเช้าและความสูงความกว้างที่เหมาะสมกับขนาดของเฟืองและมอเตอร์ที่เหมาะสมขนาดของโหลดที่เป็นภาระของมอเตอร์ซึ่งถ้าโหลดมีขนาดใหญ่ไปจะทำให้มอเตอร์อุณหภูมิสูงและขับโหลดได้ช้า

เอกสารอ้างอิง

โชคทวี องค์กรเจริญสุข. (2556). ความหมายของ RFID คืออะไร. องค์กรักษ์
มหาวิทยาลัยศรีนครินทรวิโรฒ.

ธีรวัฒน์ ประมวลผล. (2557). การประยุกต์ใช้งานไมโครคอนโทรลเลอร์. องค์กรักษ์
มหาวิทยาลัยศรีนครินทรวิโรฒ.

<http://www.lampangtc.ac.th/mnfile/branch5/file/knowledge/RFID.pdf>

online: 18 Jan. 2017

<https://inovancetech.com/ann.html>

online: 5 Feb. 2017

http://www.w3ii.com/th/5g/5g_quick_guide.html

online: 1 Mar. 2017

<https://www.techtalkthai.com/gigabit-wifi-802-11ac-5-things/>

online: 15 Mar. 2017

<https://www.blognone.com/node/42428>

online: 20 Mar. 2017

ภาคผนวก

ภาคผนวก ก
(คำสั่งภาษาซี)

```
#include <Wire.h>
#include <LiquidCrystal_I2C.h>
LiquidCrystal_I2C lcd(0x3F,2,1,0,4,5,6,7);
#include <SPI.h>
#include <MFRC522.h>

int buttonPin=2;
int buttonState;
int lastButtonState;

#define RST_PIN 9
#define SS_PIN 10
int pos = 0;
MFRC522 mfrc522(SS_PIN, RST_PIN);

String cardID;
int count;
int count_active;
unsigned long previousMillis = 0;
const long interval = 1000;

int motor_speed=255;
int en[2]={0,7};

int card_check;
```

```
char* id_card[7]={"AAA","8697a324","568b8324","068da724","859d53a8","16649f24","96418424"};
int park_use[7];
int state=0;

void setup() {

    Serial.begin(9600);
    lcd.begin (20,4);
    lcd.setBacklightPin(3,POSITIVE);
    lcd.setBacklight(HIGH);
    SPI.begin();
    mfrc522.PCD_Init();
    pinMode(2,INPUT);
    pinMode(6,OUTPUT);
    pinMode(7,OUTPUT);
}

void loop() {
    buttonState = digitalRead(buttonPin);
    if ( ! mfrc522.PICC_IsNewCardPresent() ) {

        buttonState = digitalRead(buttonPin);
        if (buttonState != lastButtonState) {
            if (buttonState == HIGH) {
                Serial.println("Button1");
                state+=1;
                if(state>6){
                    state=1;
                }
            }
        }
    }
}
```

```

    if(state==card_check){
        drive("stop");
        if(park_use[state]==0){
            park_use[state]=1;
        }else{
            park_use[state]=0;
        }
    }
}

lastButtonState = buttonState;
}

lcd.setCursor(0,0);
lcd.print("CardID:");
lcd.print(cardID);
lcd.setCursor(0,1);
lcd.print(">:");
lcd.setCursor(0,2);
lcd.print("Now Open:");
lcd.print(state);

lcd.setCursor(0,3);
lcd.print "["+String(park_use[1])+"]["+String(park_use[2])+"]["+String(park_use[3])+"]["+String(park
_use[4])+"]["+String(park_use[5])+"]["+String(park_use[6])+"]");

    unsigned long currentMillis = millis();
    if (currentMillis - previousMillis >= interval) {
        previousMillis = currentMillis;
        if(count==3){
            cardID="";

```

```

    digitalWrite(2,LOW);
    count_active=0;
    count=0;
    card_check=0;
  }
  if(count_active==1){
    count+=1;
  }
}

    return;
  }

  // Select one of the cards
  if ( ! mfr522.PICC_ReadCardSerial() ) {
    return;
  }else{
    tone(8,2000,200);
  }
  card_check=0;
  cardID = "";
  for (byte i = 0; i < mfr522.uid.size; i++)

  {
    cardID += String(mfr522.uid.uidByte[i] < 0x15 ? "0" : "");
    cardID += String(mfr522.uid.uidByte[i], HEX);
  }
  for(int i=1;i<=6;i++){
  if(cardID==id_card[i])
  card_check=i;

```

```
drive("forward");
}
if(card_check>=1){
  // count_active=1;
  // digitalWrite(2,HIGH);
  lcd.setCursor(0,1);
  lcd.print(">:PARKNUM["+String(card_check)+"]");
}
}
void drive(String cmd){
  if(cmd=="stop"){
    analogWrite(6,0);
    digitalWrite(en[1], LOW);
    // digitalWrite(en[2], LOW);
  }else if(cmd=="forward"){
    analogWrite(6,motor_speed);
    digitalWrite(en[1], HIGH);
  }
}
```

ภาคผนวก ข (Data sheet)

1. Using a MFRC522 reader to read and write MIFARE RFID cards on ARDUINO through the MFRC522 library BY COOQROBOT.

Mario Capurso (m.capurso@libero.it)

MIFARE is the NXP Semiconductors-owned trademark of a series of chips widely used in contactless smart cards and proximity cards. According to the producers, billions of smart card chips and many millions of reader modules have been sold. [1]

The technology is owned by NXP Semiconductors (spin off from Philips Electronics in 2006) with headquarters in Eindhoven, Netherlands, and main business sites in Nijmegen, Netherlands, and Hamburg, Germany.

The MIFARE name covers proprietary technologies based upon various levels of the ISO/IEC 14443 Type A 13.56 MHz contactless smart card standard.

The MIFARE name (derived from the term Mikron FARE Collection System) covers seven different kinds of contactless cards.

MIFARE Classic employs a proprietary protocol compliant to parts (but not all) of ISO/IEC 14443-3 Type A, with an NXP proprietary security protocol for authentication and ciphering.

The MIFARE Classic card is fundamentally just a memory storage device, where the memory is divided into segments and blocks with simple security mechanisms for access control. They are ASIC-based and have limited computational power. Thanks to their reliability and low cost, those cards are widely used for electronic wallet, access control, corporate ID cards, transportation or stadium ticketing.

The MIFARE Classic 1K offers 1024 bytes of data storage, split into 16 sectors; each sector is protected by two different keys, called A and B. Each key can be programmed to allow operations such as reading, writing, increasing valueblocks, etc. MIFARE Classic 4K offers 4096 bytes split into forty sectors, of which 32 are same size as in the 1K with eight more that are quadruple size sectors. MIFARE Classic mini offers 320 bytes split into five sectors.

For each of these card types, 16 bytes per sector are reserved for the keys and access conditions and can not normally be used for user data. Also, the very first 16 bytes contain the serial number of the card and certain other manufacturer data and are read only. That brings the net storage capacity of these cards down to 752 bytes for MIFARE Classic 1k, 3440 bytes for MIFARE Classic 4k, and 224 bytes for Mini. It uses an NXP proprietary security protocol (Crypto-1) for authentication and ciphering.

The encryption used by the MIFARE Classic card uses a 48 bit key. [18]

A presentation by Henryk Plötz and Karsten Nohl[19] at the Chaos Communication Congress in December 2007 described a partial reverse-engineering of the algorithm used in the MIFARE Classic chip. Abstract and slides[20] are available online. A paper that describes the process of reverse engineering this chip was published at the August 2008 USENIX security conference.[21]

In March 2008 the Digital Security[22] research group of the Radboud University Nijmegen made public that they performed a complete reverse-engineering and were able to clone and manipulate the contents of an OV-Chipkaart which is a MIFARE Classic card.[23] For demonstration they used the Proxmark device, a 125 kHz / 13.56 MHz research instrument.[24] The schematics and software are released under the free GNU General Public License by Jonathan Westhues in 2007. They demonstrate it is even possible to perform card-only attacks using just an ordinary stock-commercial NFC reader in combination with the libnfc library.

In April 2009 new and better card-only attack on MIFARE Classic has been found. It was first announced at the Rump session of Eurocrypt 2009.[35] This attack was presented at SECCRYPT 2009.[36] The full description of this latest and fastest attack to date can also be found in the IACR preprint archive.[37] The new attack improves by a factor of more than 10 all previous card-only attacks on MIFARE Classic, has instant running time, and it does not require a costly precomputation.

The new attack allows to recover the secret key of any sector of MIFARE Classic card via wireless interaction, within about 300 queries to the card. It can then be combined with the nested authentication attack in the Nijmegen Oakland paper to recover subsequent keys almost instantly. Both attacks combined and with the right hardware equipment such as Proxmark3, one should be able to clone any MIFARE Classic card in not more than 10 seconds. This is much faster than previously thought.

The MFRC522 is a highly integrated reader/writer IC for contactless communication at 13.56 MHz. The MFRC522 reader supports ISO/IEC 14443 A/MIFARE mode.

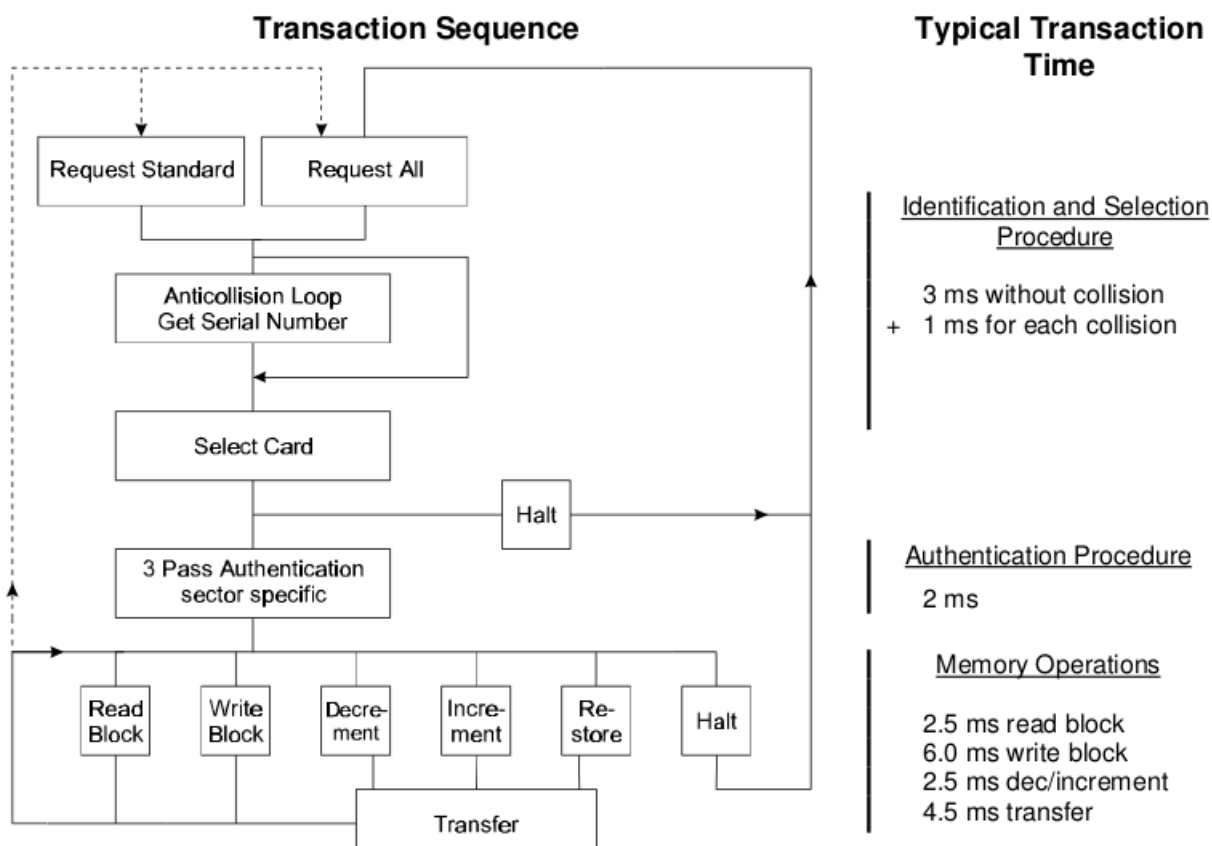
The MFRC522's internal transmitter is able to drive a reader/writer antenna designed to communicate with ISO/IEC 14443 A/MIFARE cards and transponders without additional active circuitry. The receiver module provides a robust and efficient implementation for demodulating and decoding signals from ISO/IEC 14443 A/MIFARE compatible cards and transponders. The digital module manages the complete ISO/IEC 14443 A framing and error detection (parity and CRC) functionality.

The MFRC522 supports all variants of the MIFARE Mini, MIFARE 1K, MIFARE 4K, MIFARE Ultralight, MIFARE DESFire EV1 and MIFARE Plus RF identification protocols. To aid readability throughout this data sheet, the MIFARE Mini,

MIFARE 1K, MIFARE 4K, MIFARE Ultralight, MIFARE DESFire EV1 and MIFARE Plus products and protocols have the generic name MIFARE.

The following host interfaces are provided:

- Serial Peripheral Interface (SPI)
- Serial UART (similar to RS232 with voltage levels dependant on pin voltage supply)
- I2C-bus interface



Answer to Request :

With the Answer to Request sequence the MIFARE® RWD (Read Write Device) requests all MIFARE® cards in the antenna field. When a card is in the operating range of a RWD, the RWD continues communication with the appropriate protocol.

Anticollision loop

In the Anticollision loop the serial number of the card is read. If there are several cards in the operating range of a RWD they can be distinguished by their different serial numbers and one can be selected (Select card) for further transactions. The unselected cards return to the standby mode and wait for a new Answer to Request and Anticollision loop.

Select Card

With the Select Card command the RWD selects one individual card for further authentication and memory related operations. The card returns the Answer to Select (ATS) code, which determines the individual type of the selected card.

Access Specification

After identification and selection of one card the RWD specifies the memory location of the following access.

Three Pass Authentication

The appropriate access key for the previously specified access is used for 3 Pass Authentication. Any communication after authentication is

automatically encrypted at the sender and decrypted by the receiver.

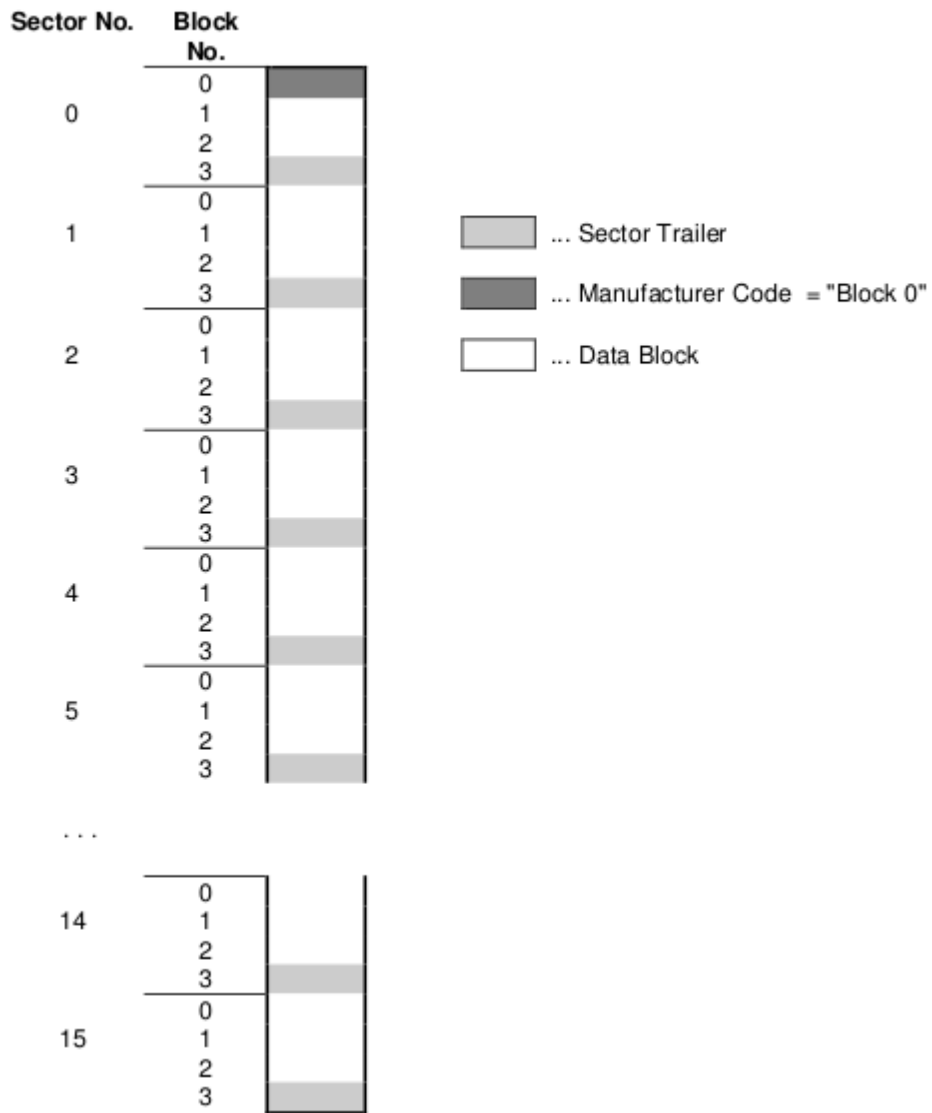
Read/Write

After authentication any of the following operations may be performed:

READ	reads one block
WRITE	writes one block
DECREMENT	decrements the contents of one block and stores the result in the data-register
INCREMENT	increments the contents of one block and stores the result in the data-register
TRANSFER	writes the contents of the data-register to one block
RESTORE	stores the contents of one block in the data-register

The MF1ICS50 IC of a Mifare Classic has integrated a 8192 Bit EEPROM which is split into 16 sectors with 4 blocks. One block consists of 16 bytes (1 Byte = 8 Bit).

Memory Organisation:



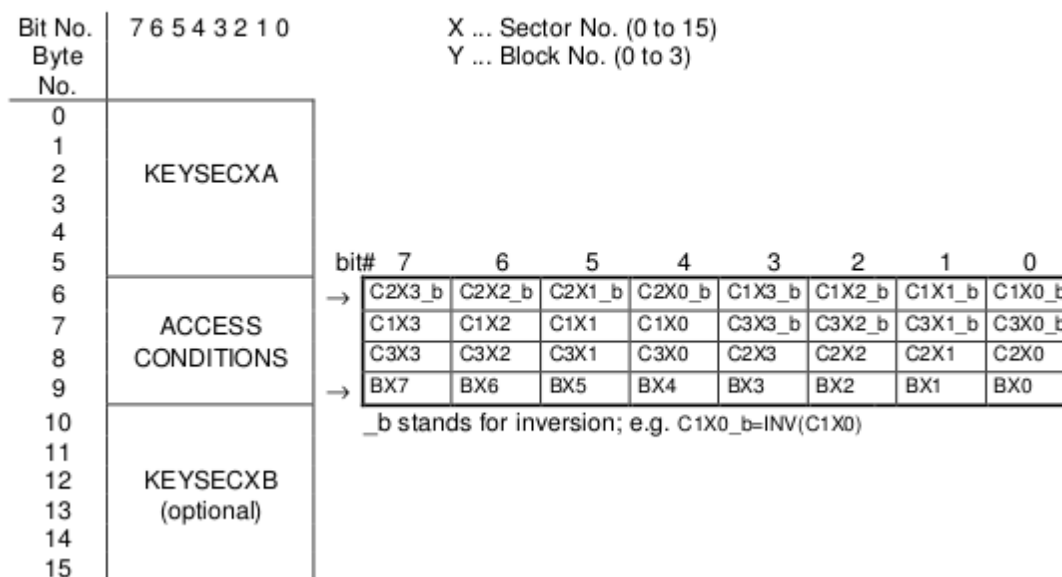
Manufacturer Code (Block 0 of Sector 0)

The first block of the memory is reserved for manufacturer data like 32 bit serial number. This is a read only block. In many documents it is named "Block 0".

Data Block (Block 0 to 3 except "Block 0")

Access conditions for the Data Blocks are defined in the Sector Trailers. According to these conditions data can be read, written, incremented, decremented, transferred or restored either with Key A, Key B or never.

2.6.1 Sector Trailer (Block 3):



The fourth block of any sector is the Sector Trailer. The Sector Trailer contains access Key A (KEYSECXA) an optional Key B (KEYSECXB) and the access conditions for the four blocks of that sector. If Key B is not needed, the last 6 Bytes of block 3 can be used as data bytes. The corresponding access condition settings are marked grey below.

C1XY to C3XY which are stored twice for safety reasons define the access condition independently for the sector's four blocks. The last byte of the access conditions may be used to store some specific application data (e.g. location of the write backup block).

- Access condition for the Sector Trailer (Y = 3)

			KEYSECXA		ACCESS COND.		KEYSECXB	
C1X3	C2X3	C3X3	read	write	read	write	read	write
0	0	0	never	key A	key A	never	key A	key A
0	1	0	never	never	key A	never	key A	never
1	0	0	never	key B	key A B	never	never	key B
1	1	0	never	never	key A B	never	never	never
0	0	1	never	key A	key A	key A	key A	key A
0	1	1	never	key B	key A B	key B	never	key B
1	0	1	never	never	key A B	key B	never	never
1	1	1	never	never	key A B	never	never	never

incr, decr, transfer, restore : never

NOTE: Key A|B means key A or key B;

If key B may be read (all grey marked lines) the memory space for Key B is used for data storage and it shall not be used for authentication because all further memory access operations will fail.

Since the transport access conditions (after chip manufacturing) equal to 001, new cards must not be authenticated with Key B !

- Access condition for Data Blocks (Y = 0 to 2)

C1XY	C2XY	C3XY	read	write	incr	decr, transfer, restore
0	0	0	keyA B ¹	key A B ¹	key A B ¹	key A B ¹
0	1	0	keyA B ¹	never	never	never
1	0	0	keyA B ¹	key B ¹	never	never
1	1	0	keyA B ¹	key B ¹	key B ¹	key A B ¹
0	0	1	keyA B ¹	never	never	key A B ¹
0	1	1	key B ¹	key B ¹	never	never
1	0	1	key B ¹	never	never	never
1	1	1	never	never	never	never

The process of decrement and increment of a block's data is performed and controlled by the Card-IC.

- Transport code

For transportation, KEYSECXA and the access conditions are predefined by the manufacturer as follows:

C1X0, C2X0, C3X0 = 0 0 0	block 0 (data block)
C1X1, C2X1, C3X1 = 0 0 0	block 1 (data block)
C1X2, C2X2, C3X2 = 0 0 0	block 2 (data block)
C1X3, C2X3, C3X3 = 0 0 1	block 3 (Sector Trailer)

KEYSECXA .secret key, known only by
the manufacturer and system integrator

If Key B may be read in the corresponding Sector Trailer it cannot serve for authentication (all grey marked lines in previous table). Consequences: If the RWD tries to authenticate any block of a sector with key B using grey marked access conditions, the card will refuse any subsequent memory access after authentication

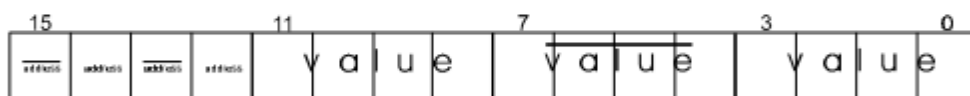
In the MF1ICS50 IC two types of Data Blocks are used:

a) read/write blocks

are used to read and write general 16 bytes of data.

b) value blocks

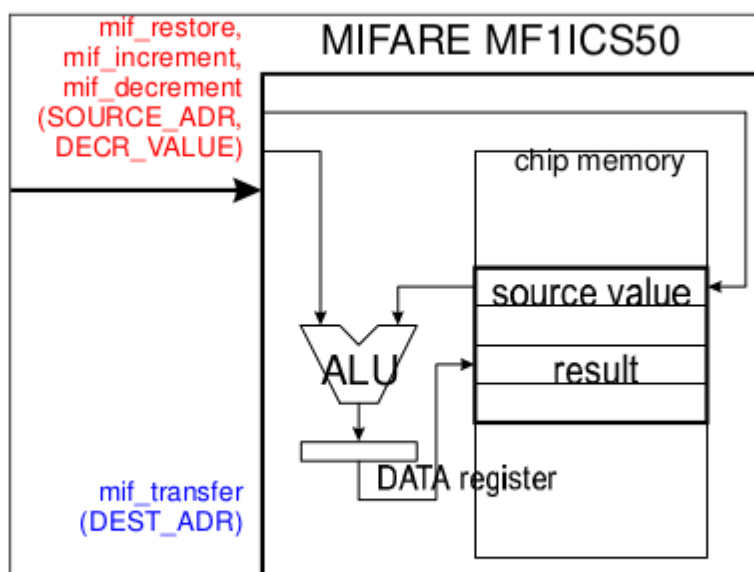
are used for electronic purse functions (read, increment, decrement, transfer, restore). The maximum size of a value is 4 byte including sign bit, even when a complete 16 byte block has to be reserved. To provide error detection and correction capability, any value is stored 3 times into one value block. The remaining 4 bytes are reserved to some extent for check bits.



value: 32 bit signed 2th complement format stored 3 times
(the consistency of the 3 occurrences of the value is internally checked before the chip can perform any calculation)

address: 8 bit arbitrary address byte stored 4 times
(this byte is not internally interpreted)

A value blocks is first time generated by a WRITE instruction to the desired address. The value may be used for subsequent DECREMENT / INCREMENT / RESTORE instructions.



The result of a calculation instruction is temporally stored in a buffer register. For updating the memory with the calculation result the TRANSFER instruction has to be issued. The chip refuses calculations if any error in the block format could be detected.

The described memory organization makes it possible to appoint different sectors to different applications and to prevent data corruption by using application specific secret keys. Keys can only be altered by a RWD which has stored the actual Key A or Key B if this is allowed according to access conditions. Otherwise the actual key cannot be changed anymore.

Before the execution of a command the correct format of the Access Conditions is checked by the Card-IC. Thus, when programming the Sector Trailer the card needs to be fixed within the operating range of a RWD's antenna to prevent interruption of the write operation because any unsuccessful write operation may lead to blocking the whole sector.

2.7 Memory contents after IC test

2.7.1 Block 0 (manufacturer block):

byte															byte
0	1	2	3	4	5	6	7	8	9	10	11	12	13	14	15
Serial number				CB	manufacturer data										

CB: "serial number check byte" $CB = \text{byte } 0 \wedge \text{byte } 1 \wedge \text{byte } 2 \wedge \text{byte } 3 \quad (\wedge \dots \text{ XOR})$

2.7.2 Data Blocks:

Data blocks: contain variable data.

(blocks 1,2 / 4,5,6 / 8,9,10 / 12,13,14 / 16,17,18 / 20,21,22 / 24,25,26 / 28,29,30 / 32,33,34 / 36,37,38 / 40,41,42 / 44,45,46 / 48,49,50 / 52,53,54 / 56,57,58 / 60,61,62)

2.7.3 Sector Trailers:

Note: The initial state of sector trailers after IC test can be modified depending on the personalisation done e.g. at the card manufacturer.

default coding:

byte															byte
0	1	2	3	4	5	6	7	8	9	10	11	12	13	14	15
transport key A						FF	07	80	xx	transport key B					

(blocks 3 / 7 / 11 / 15 / 19 / 23 / 27 / 31 / 35 / 39 / 43 / 47 / 51 / 55 / 59 / 63)

Byte 9 of all sector trailers is not defined. Its memory contents after IC test can vary.

MFRC522.h – A Library to use ARDUINO RFID MODULE KIT 13.56 MHZ BY COOQROBOT.

There are three hardware components involved:

- 1) The micro controller: An Arduino
- 2) The PCD (Proximity Coupling Device): NXP MFRC522 Contactless Reader IC
- 3) The PICC (short for Proximity Integrated Circuit Card): A card or tag using the ISO 14443A interface, eg Mifare or NTAG203.

MIFARE Classic 1K (MF1S503x):

Has 16 sectors * 4 blocks/sector * 16 bytes/block = 1024 bytes. The blocks are numbered 0-63.

Block 3 in each sector is the Sector Trailer.

*	Bytes 0-5: Key A
*	Bytes 6-8: Access Bits
*	Bytes 9: User data
*	Bytes 10-15: Key B (or user data)

Block 0 is read only manufacturer data.

To access a block, an authentication using a key from the block's sector must be performed first.

Example: To read from block 10, first authenticate using a key from sector 3 (blocks 8-11).

All keys are set to FFFFFFFFh at chip delivery.

Warning: Please read section 8.7 "Memory Access". It includes this text: if the PICC detects a format violation the whole sector is irreversibly blocked.

To use a block in "value block" mode (for Increment/Decrement operations) you need to change the sector trailer. Use `PICC_SetAccessBits()` to calculate the bit patterns.

Commands sent to the PICC.

The commands used by the PCD to manage communication with several PICCs (ISO 14443-3, Type A, section 6.4)

`PICC_CMD_REQA` = 0x26,

REQuest command, Type A. Invites PICCs in state IDLE to go to READY and prepare for anticollision or selection. 7 bit frame.

`PICC_CMD_WUPA` = 0x52,

Wake-UP command, Type A. Invites PICCs in state IDLE and HALT to go to READY(*) and prepare for anticollision or selection. 7 bit frame.

`PICC_CMD_CT` = 0x88,

Cascade Tag. Not really a command, but used during anti collision.

`PICC_CMD_SEL_CL1` = 0x93,

Anti collision/Select, Cascade Level 1

`PICC_CMD_SEL_CL2` = 0x95,

Anti collision/Select, Cascade Level 2

PICC_CMD_SEL_CL3 = 0x97,

Anti collision/Select, Cascade Level 3

PICC_CMD_HLTA = 0x50,

HaLT command, Type A. Instructs an ACTIVE PICC to go to state HALT.

The commands used for MIFARE Classic

Use PCD_MFAuthent to authenticate access to a sector, then use these commands to read/write/modify the blocks on the sector.

The read/write commands can also be used for MIFARE Ultralight.

PICC_CMD_MF_AUTH_KEY_A = 0x60,

Perform authentication with Key A

PICC_CMD_MF_AUTH_KEY_B = 0x61,

Perform authentication with Key B

PICC_CMD_MF_READ = 0x30,

Reads one 16 byte block from the authenticated sector of the PICC. Also used for MIFARE Ultralight.

PICC_CMD_MF_WRITE = 0xA0,

Writes one 16 byte block to the authenticated sector of the PICC. Called "COMPATIBILITY WRITE" for MIFARE Ultralight.

PICC_CMD_MF_DECREMENT = 0xC0,

Decrements the contents of a block and stores the result in the internal data register.

PICC_CMD_MF_INCREMENT = 0xC1,

Increments the contents of a block and stores the result in the internal data register.

PICC_CMD_MF_RESTORE = 0xC2,

Reads the contents of a block into the internal data register.

PICC_CMD_MF_TRANSFER = 0xB0,

Writes the contents of the internal data register to a block.

List of the functions in the library

Functions for setting up the Arduino

```
MFRC522(byte chipSelectPin, byte resetPowerDownPin);
```

```
void setSPIConfig();
```

Basic interface functions for communicating with the MFRC522

```
void PCD_WriteRegister(byte reg, byte value);
```

```
void PCD_WriteRegister(byte reg, byte count, byte *values);
```

```
byte PCD_ReadRegister(byte reg);
```

```
void PCD_ReadRegister(byte reg, byte count, byte *values, byte rAlign = 0);
```

```
void setBitMask(unsigned char reg, unsigned char mask);
```

```
void PCD_SetRegisterBitMask(byte reg, byte mask);
```

```
void PCD_ClearRegisterBitMask(byte reg, byte mask);
```

```
byte PCD_CalculateCRC(byte *data, byte length, byte *result);
```

Functions for manipulating the MFRC522

```
void PCD_Init();
void PCD_Reset();
void PCD_AntennaOn();
```

Functions for communicating with PICCs

```
byte PCD_TransceiveData(byte *sendData, byte sendLen, byte *backData, byte *backLen, byte *validBits = NULL, byte rxAlign = 0, bool checkCRC = false);
```

```
byte PCD_CommunicateWithPICC(byte command, byte waitRq, byte *sendData, byte sendLen, byte *backData = NULL, byte *backLen = NULL, byte *validBits = NULL, byte rxAlign = 0, bool checkCRC = false);
```

```
byte PICC_RequestA(byte *bufferATQA, byte *bufferSize);
byte PICC_WakeupA(byte *bufferATQA, byte *bufferSize);
byte PICC_REQA_or_WUPA(byte command, byte *bufferATQA, byte *bufferSize);
byte PICC_Select(Uid *uid, byte validBits = 0);
byte PICC_HaltA();
```

Functions for communicating with MIFARE PICCs

```
byte PCD_Authenticate(byte command, byte blockAddr, MIFARE_Key *key, Uid *uid);
void PCD_StopCrypto1();
byte MIFARE_Read(byte blockAddr, byte *buffer, byte *bufferSize);
byte MIFARE_Write(byte blockAddr, byte *buffer, byte bufferSize);
byte MIFARE_Decrement(byte blockAddr, long delta);
byte MIFARE_Increment(byte blockAddr, long delta);
byte MIFARE_Restore(byte blockAddr);
byte MIFARE_Transfer(byte blockAddr);
byte MIFARE_Ultralight_Write(byte page, byte *buffer, byte bufferSize);
```

Support functions

```
byte PCD_MIFARE_Transceive(byte *sendData, byte sendLen, bool acceptTimeout = false);
const char *GetStatusCodeName(byte code);
byte PICC_GetType(byte sak);
const char *PICC_GetTypeName(byte type);
void PICC_DumpToSerial(Uid *uid);
void PICC_DumpMifareClassicToSerial(Uid *uid, byte piccType, MIFARE_Key *key);
void PICC_DumpMifareClassicSectorToSerial(Uid *uid, MIFARE_Key *key, byte sector);
void PICC_DumpMifareUltralightToSerial();
void MIFARE_SetAccessBits(byte *accessBitBuffer, byte g0, byte g1, byte g2, byte g3);
Convenience functions - does not add extra functionality
```

```
bool PICC_IsNewCardPresent();
bool PICC_ReadCardSerial();
```

Detailed documentation – enum and structures

PICC types we can detect. Remember to update PICC_GetTypeName() if you add more.

```
enum PICC_Type
```

Return codes from the functions in this class. Remember to update GetStatusCodeName() if you add more.

```
enum StatusCode
```

A struct used for passing the UID of a PICC.

```
typedef struct {
    byte          size;          Number of bytes in the UID. 4, 7 or 10.
    byte          uidByte[10];
    byte          sak;          The SAK (Select acknowledge) byte returned
                                from the PICC after successful selection.
} Uid
```

A struct used for passing a MIFARE Crypto1 key

```
typedef struct {
    byte          keyByte[MF_KEY_SIZE];
} MIFARE_Key;
```

Example:

```
// Prepare key - all keys are set to FFFFFFFFh at chip delivery from the factory.
MFRC522::MIFARE_Key key;
for (byte i = 0; i < 6; i++) key.keyByte[i] = 0xFF;
```

Member variables

```
    Uid uid;          Used by PICC_ReadCardSerial().
```

Detailed documentation – functions

+Create object instance

```
MFRC522(
    byte chipSelectPin,    Arduino pin used for SPI chip select
    byte resetPowerDownPin    Arduino pin used for SPI reset
);
```

Example:

```
#include <SPI.h>
#include <MFRC522.h>
#define SS_PIN 10 //Arduino Uno
#define RST_PIN 9
MFRC522 mfr522(SS_PIN, RST_PIN); // Create MFRC522 instance.
```

+Initializes the MFRC522 chip.

```
void MFRC522::PCD_Init()
```

Example:

```
void setup() {
    Serial.begin(9600); // Init serial communications with PC
    SPI.begin(); // Init SPI bus
    mfr522.PCD_Init(); // Init MFRC522 card
}
```

+Set SPI bus to work with MFRC522 chip.

Please call this function if you have changed the SPI config since the MFRC522 constructor was run.

```
void MFRC522::setSPIConfig()
```

+Performs a soft reset on the MFRC522 chip and waits for it to be ready again.

```
void MFRC522::PCD_Reset()
```

+Turns the antenna on by enabling pins TX1 and TX2.

After a reset these pins are disabled.

```
void MFRC522::PCD_AntennaOn()
```

+Transmits a REQuest command, Type A. Invites PICCs in state IDLE to go to READY and prepare for anticollision or selection. 7 bit frame.

Beware: When two PICCs are in the field at the same time I often get STATUS_TIMEOUT - probably due do bad antenna design.

return STATUS_OK on success, STATUS_??? otherwise.

```
byte MFRC522::PICC_RequestA()
```

byte *bufferATQA, The buffer to store the ATQA (Answer to request) in

byte *bufferSize Buffer size, at least two bytes. Also number of bytes returned if STATUS_OK.

+Transmits a Wake-UP command, Type A. Invites PICCs in state IDLE and HALT to go to READY(*) and prepare for anticollision or selection. 7 bit frame.

Beware: When two PICCs are in the field at the same time I often get STATUS_TIMEOUT - probably due do bad antenna design.

return STATUS_OK on success, STATUS_??? otherwise.

```
byte MFRC522::PICC_WakeupA()
```

byte *bufferATQA, The buffer to store the ATQA (Answer to request) in

byte *bufferSize Buffer size, at least two bytes. Also number of bytes returned if STATUS_OK.

+Transmits SELECT/ANTICOLLISION commands to select a single PICC.

Before calling this function the PICCs must be placed in the READY(*) state by calling PICC_RequestA() or PICC_WakeupA().

+Instructs a PICC in state ACTIVE(*) to go to state HALT.

return STATUS_OK on success, STATUS_??? otherwise.

```
byte PICC_HaltA();
```

Example:

```
// Halt PICC
mfr522.PICC_HaltA();
```

+Executes the MFRC522 MFAuthent command.

This command manages MIFARE authentication to enable a secure communication to any MIFARE Mini, MIFARE 1K and MIFARE 4K card.

The authentication is described in the MFRC522 datasheet section 10.3.1.9 and http://www.nxp.com/documents/data_sheet/MF1S503x.pdf section 10.1. for use with MIFARE Classic PICCs.

The PICC must be selected - ie in state ACTIVE(*) - before calling this function.

Remember to call PCD_StopCrypto1() at the end of communication with the authenticated PICC - otherwise no new communications can start.

All keys are set to FFFFFFFFh at chip delivery.

return STATUS_OK on success, STATUS_??? otherwise. Probably STATUS_TIMEOUT if you supply the wrong key.

```
byte MFRC522::PCD_Authenticate(
```

```
byte command,          PICC_CMD_MF_AUTH_KEY_A or PICC_CMD_MF_AUTH_KEY_B
```

```
byte blockAddr,       The block number. See numbering in the comments in
                       the .h file.
```

```
MIFARE_Key *key,      Pointer to the Crypto1 key to use (6 bytes)
```

```
Uid *uid              Pointer to Uid struct. The first 4 bytes of the UID
                       is used.
```

```
)
```

Example:

```
MFRC522::MIFARE_Key key;
for (byte i = 0; i < 6; i++) key.keyByte[i] = 0xFF;
byte trailerBlock = 7;
byte status;
if (! mfr522.PICC_ReadCardSerial()) return;
status = mfr522.PCD_Authenticate(MFRC522::PICC_CMD_MF_AUTH_KEY_A, trailerBlock, &key, &(mfr522.uid));
if (status != MFRC522::STATUS_OK) {
    Serial.print("PCD_Authenticate() failed: ");
    Serial.println(mfr522.GetStatusCodeName(status));
    return;
}
```

+Used to exit the PCD from its authenticated state.

Remember to call PCD_StopCrypto1() at the end of communication with the authenticated PICC - otherwise no new communications can start.

```
void MFRC522::PCD_StopCrypto1()
```

Example:

```
// Stop encryption on PCD
mfr522.PCD_StopCrypto1();
```

+Reads 16 bytes (+ 2 bytes CRC_A) from the active PICC.

Use MIFARE_Transfer() to store the result in a block.

return STATUS_OK on success, STATUS_??? otherwise.

byte MFRC522::MIFARE_Decrement(

byte blockAddr, The block (0-0xff) number.

long delta This number is subtracted from the value of block blockAddr.

+MIFARE Increment adds the delta to the value of the addressed block, and stores the result in a volatile memory.

For MIFARE Classic only. The sector containing the block must be authenticated before calling this function.

Only for blocks in "value block" mode, ie with access bits [C1 C2 C3] = [110] or [001].

Use MIFARE_Transfer() to store the result in a block.

return STATUS_OK on success, STATUS_??? otherwise.

byte MFRC522::MIFARE_Increment(

byte blockAddr, The block (0-0xff) number.

long delta This number is added to the value of block blockAddr.

Example:

// Add 1 to the value of valueBlockA and store the result in valueBlockA.

byte valueBlockA = 5;

Serial.print("Adding 1 to value of block "); Serial.println(valueBlockA);

byte status = mfrc522.MIFARE_Increment(valueBlockA, 1);

if (status != MFRC522::STATUS_OK) {

 Serial.print("MIFARE_Increment() failed: ");

 Serial.println(mfrc522.GetStatusCodeName(status));

 return;

}

status = mfrc522.MIFARE_Transfer(valueBlockA);

if (status != MFRC522::STATUS_OK) {

 Serial.print("MIFARE_Transfer() failed: ");

 Serial.println(mfrc522.GetStatusCodeName(status));

 return;

}

+MIFARE Restore copies the value of the addressed block into a volatile memory.

For MIFARE Classic only. The sector containing the block must be authenticated before calling this function.

Only for blocks in "value block" mode, ie with access bits [C1 C2 C3] = [110] or [001].

Use MIFARE_Transfer() to store the result in a block.

return STATUS_OK on success, STATUS_??? otherwise.

byte MFRC522::MIFARE_Restore(

byte blockAddr The block (0-0xff) number.

The datasheet describes Restore as a two step operation, but does not explain what data to transfer in step 2. Doing only a single step does not work, so I chose to transfer 0L in step two.

+Helper function for the two-step MIFARE Classic protocol operations Decrement, Increment and Restore.

return STATUS_OK on success, STATUS_??? otherwise.

byte MFRC522::MIFARE_TwoStepHelper(

byte command, The command to use


```
byte blockAddr,    The block (0-0xff) number.
long data          The data to transfer in step 2
```

```
)
```

+MIFARE Transfer writes the value stored in the volatile memory into one MIFARE Classic block.

For MIFARE Classic only. The sector containing the block must be authenticated before calling this function.

Only for blocks in "value block" mode, ie with access bits [C1 C2 C3] = [110] or [001].

return STATUS_OK on success, STATUS_??? otherwise.

```
byte MFRC522::MIFARE_Transfer(
```

```
byte blockAddr    The block (0-0xff) number.
```

+Returns a string pointer to a status code name.

```
const char *MFRC522::GetStatusCodeName(
```

```
byte code  One of the StatusCode enums.
```

code values	return values
STATUS_OK:	"Success."
STATUS_ERROR:	"Error in communication."
STATUS_COLLISION:	"Collision detected."
STATUS_TIMEOUT:	"Timeout in communication."
STATUS_NO_ROOM:	"A buffer is not big enough."
STATUS_INTERNAL_ERROR:	"Internal error in the code. Should not happen."
STATUS_INVALID:	"Invalid argument."
STATUS_CRC_WRONG:	"The CRC_A does not match."
STATUS_MIFARE_NACK:	"A MIFARE PICC responded with NAK."
default:	"Unknown error"

Example:

```
Serial.println(mfrc522.GetStatusCodeName(status));
```

+Translates the SAK (Select Acknowledge) to a PICC type.

```
return PICC_Type
```

```
byte MFRC522::PICC_GetType(
```

```
byte sak          The SAK byte returned from PICC_Select().
```

sak	return value
sak & 0x04	PICC_TYPE_NOT_COMPLETE
0x09	PICC_TYPE_MIFARE_MINI
0x08	PICC_TYPE_MIFARE_1K
0x18	PICC_TYPE_MIFARE_4K
0x00	PICC_TYPE_MIFARE_UL
0x10 or 0x11	PICC_TYPE_MIFARE_PLUS
0x01	PICC_TYPE_TNP3XXX
sak & 0x20	PICC_TYPE_ISO_14443_4
sak & 0x40	PICC_TYPE_ISO_18092

else PICC_TYPE_UNKNOWN

+Returns a string pointer to the PICC type name.

const char *MFRC522::PICC_GetTypeName(
byte piccType One of the PICC_Type enums.

piccType return value
 PICC_TYPE_ISO_14443_4 "PICC compliant with ISO/IEC 14443-4"
 PICC_TYPE_ISO_18092: "PICC compliant with ISO/IEC 18092 (NFC)"
 PICC_TYPE_MIFARE_MINI "MIFARE Mini, 320 bytes"
 PICC_TYPE_MIFARE_1K "MIFARE 1KB"
 PICC_TYPE_MIFARE_4K "MIFARE 4KB"
 PICC_TYPE_MIFARE_UL "MIFARE Ultralight or Ultralight C"
 PICC_TYPE_MIFARE_PLUS "MIFARE Plus"

 PICC_TYPE_TNP3XXX "MIFARE TNP3XXX"
 PICC_TYPE_NOT_COMPLETE "SAK indicates UID is not complete."
 PICC_TYPE_UNKNOWN "Unknown type"

Example:

```
Serial.println(mfrc522.PICC_GetTypeName(piccType));
```

+Dumps debug info about the selected PICC to Serial.

On success the PICC is halted after dumping the data.

For MIFARE Classic the factory default key of 0xFFFFFFFF is tried.

void MFRC522::PICC_DumpToSerial(
 Uid *uid Pointer to Uid struct returned from a successful PICC_Select().

Example:

```
mfrc522.PICC_DumpToSerial(&(mfrc522.uid));
```

+Dumps memory contents of a sector of a MIFARE Classic PICC.

Uses PCD_Authenticate(), MIFARE_Read() and PCD_StopCrypto1.

Always uses PICC_CMD_MF_AUTH_KEY_A because only Key A can always read the sector trailer access bits.

void MFRC522::PICC_DumpMifareClassicSectorToSerial(
 Uid *uid, Pointer to Uid struct returned from a successful PICC_Select())

MIFARE_Key *key, Key A for the sector.

byte sector The sector to dump, 0..39.

+Calculates the bit pattern needed for the specified access bits. In the [C1 C2 C3] tuples C1 is MSB (=4) and C3 is LSB (=1).

void MFRC522::MIFARE_SetAccessBits(
 byte *accessBitBuffer, Pointer to byte 6, 7 and 8 in the sector trailer.

Bytes [0..2] will be set.

byte g0, Access bits [C1 C2 C3] for block 0
 (for sectors 0-31) or blocks 0-4 (for sectors 32-39)

byte g1, Access bits C1 C2 C3] for block 1 (for sectors 0-31)

or blocks 5-9 (for sectors 32-39)

byte g2, Access bits C1 C2 C3] for block 2 (for sectors 0-31)
 or blocks 10-14 (for sectors 32-39)

byte g3 Access bits C1 C2 C3] for the sector trailer, block 3
 (for sectors 0-31) or block 15 (for sectors 32-39)

The access bits are stored in a peculiar fashion.

There are four groups:

g[3] Access bits for the sector trailer, block 3 (for sectors 0-31) or block 15 (for sectors 32-39)

g[2] Access bits for block 2 (for sectors 0-31) or blocks 10-14 (for sectors 32-39)

g[1] Access bits for block 1 (for sectors 0-31) or blocks 5-9 (for sectors 32-39)

g[0] Access bits for block 0 (for sectors 0-31) or blocks 0-4 (for sectors 32-39)

Each group has access bits [C1 C2 C3]. In this code C1 is MSB and C3 is LSB.

The four CX bits are stored together in a nibble cx and an inverted nibble cx_.

Example:

```
// Sector trailer that defines blocks 5 and 6 as Value Blocks and enables key B.
byte trailerBuffer[] = {255,255,255,255,255,255,0,0,0,0, 255,255,255,255,255,255};
// Keep default keys.
// g1=6(i.e.110) => block 5 value block. Key B write&increment, A or B decrement.
// g2=6 => Same thing for block 6.
// g3=3 => Key B must be used to modify the Sector Trailer. Key B becomes valid.
mfrfc522.MIFARE_SetAccessBits(&trailerBuffer[6], 0, 6, 6, 3);
```

+Check if a card is present

```
bool MFRC522::PICC_IsNewCardPresent()
```

Returns true if a PICC responds to PICC_CMD_REQA.

Only "new" cards in state IDLE are invited. Sleeping cards in state HALT are ignored.

Example:

```
// Look for new cards
if ( ! mfrfc522.PICC_IsNewCardPresent()) return;
```

+Read Card Serial

```
bool MFRC522::PICC_ReadCardSerial()
```

Simple wrapper around PICC_Select.

Returns true if a UID could be read.The read UID is available in the class variable uid.

Remember to call PICC_IsNewCardPresent(), PICC_RequestA() or PICC_WakeupA() first.

return true if one selected

Now a card is selected. The UID and SAK is in mfrfc522.uid.

Example:

```
Serial.print("Card UID:");
for (byte i = 0; i < mfrfc522.uid.size; i++) {
```

```

    Serial.print(mfrc522.uid.uidByte[i] < 0x10 ? " 0" : " ");
    Serial.print(mfrc522.uid.uidByte[i], HEX);
}
// Dump PICC type
byte piccType = mfrc522.PICC_GetType(mfrc522.uid.sak);
Serial.print("PICC type: ");
Serial.println(mfrc522.PICC_GetTypeName(piccType));
if ( piccType != MFRC522::PICC_TYPE_MIFARE_MINI
    && piccType != MFRC522::PICC_TYPE_MIFARE_1K
    && piccType != MFRC522::PICC_TYPE_MIFARE_4K) {
    Serial.println("This sample only works with MIFARE Classic cards.");
    return;
}

```

How to convert a normal block into a value block

Usually a normal block has 000 access bits, while a value block has 110 access bits

Example:

```

byte valueBlockA    = 5;
byte valueBlockB    = 6;
byte trailerBlock   = 7;
// We need a sector trailer with blocks 5 and 6 as Value Blocks and enables key B.
byte trailerBuffer[] = { 255,255,255,255,255,255,
                        0,0,0,0,255,255,255,255,255,255}; // Keep default keys.
// g1=6 => block 5 as value block. Key B to write&increment, A or B for decrement.
// g2=6 => Same thing for block 6.
// g3=3 => Key B must be used to modify the Sector Trailer. Key B becomes valid.
mfrc522.MIFARE_SetAccessBits(&trailerBuffer[6], 0, 6, 6, 3);
byte status = mfrc522.MIFARE_Write(trailerBlock, trailerBuffer, 16);
if (status != MFRC522::STATUS_OK) {
    Serial.print("MIFARE_Write() failed: ");
    Serial.println(mfrc522.GetStatusCodeName(status));
    return;
}

```

How to setup a Value Block with a value set to zero

Example:


```

byte blockAddr=5;
byte valueBlock[] = {0,0,0,0, 255,255,255,255, 0,0,0,0,
                    blockAddr,~blockAddr,blockAddr,~blockAddr };
byte status = mfrc522.MIFARE_Write(blockAddr, valueBlock, 16);
if (status != MFRC522::STATUS_OK) {
    Serial.print("MIFARE_Write() failed: ");
    Serial.println(mfrc522.GetStatusCodeName(status));
}


```

ประวัติย่อผู้ทำโครงการ

ประวัติย่อผู้ทำโครงการ

ชื่อ ชื่อสกุล	นายกิตติวาท พุทธิมณี	
วันเดือนปีเกิด	10 พฤษภาคม 2538	
สถานที่เกิด	อำเภอเมือง จังหวัดสุรินทร์	
สถานที่อยู่ปัจจุบัน	22 ถ.สีบสหาร ต.ในเมือง อ.เมือง จ.สุรินทร์ 32000	
หมายเลขโทรศัพท์ติดต่อ	091-340-6692	
ประวัติการศึกษา		
	พ.ศ. 2556	มัธยมศึกษาปีที่ 6 จากโรงเรียนสุรวิทยาคาร
	พ.ศ. 2560	กำลังศึกษาระดับปริญญาตรี สาขาวิชาวิศวกรรมไฟฟ้า คณะวิศวกรรมศาสตร์ มหาวิทยาลัยศรีนครินทรวิโรฒ

ประวัติย่อผู้ทำโครงการ

ชื่อ ชื่อสกุล	นายณัฐพล พรายวัน	
วันเดือนปีเกิด	29 ธันวาคม 2537	
สถานที่เกิด	อำเภอบางใหญ่ จังหวัดนนทบุรี	
สถานที่อยู่ปัจจุบัน	55/1 ม.10 ต.บางแม่นาง อ.บางใหญ่ จ.นนทบุรี 11140	
หมายเลขโทรศัพท์ติดต่อ	086-907-4766	
ประวัติการศึกษา		
พ.ศ. 2556	มัธยมศึกษาปีที่ 6 จากโรงเรียนมัธยมบางบัวทอง	
พ.ศ. 2560	กำลังศึกษาระดับปริญญาตรี สาขาวิชาวิศวกรรมไฟฟ้า คณะวิศวกรรมศาสตร์ มหาวิทยาลัยศรีนครินทรวิโรฒ	

ประวัติย่อผู้ทำโครงการ

ชื่อ ชื่อสกุล	นายปิติภัทร ต้นเข็มจარი
วันเดือนปีเกิด	31 พฤษภาคม 2537
สถานที่เกิด	อำเภอเมือง จังหวัดนครศรีธรรมราช
สถานที่อยู่ปัจจุบัน	1080/3 ต.คลัง อ.เมือง จ.นครศรีธรรมราช 80000
หมายเลขโทรศัพท์ติดต่อ	088-762-0505
ประวัติการศึกษา	
พ.ศ. 2556	มัธยมศึกษาปีที่ 6 จากโรงเรียนเบญจมราชูทิศ
พ.ศ. 2560	กำลังศึกษาระดับปริญญาตรี สาขาวิชาวิศวกรรมไฟฟ้า คณะวิศวกรรมศาสตร์ มหาวิทยาลัยศรีนครินทรวิโรฒ

